Vortrag

"Bedeutung der Kerbwirkung für den Konstrukteur"

numerische Berechnungen mit Creo Simulate und didaktische Vermittlung in der CAE-Lehre

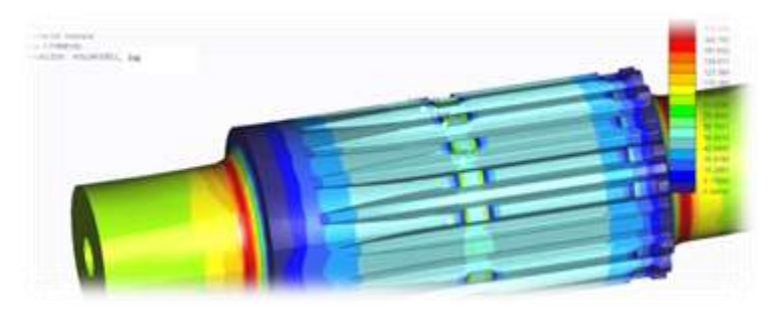
Prof. Dr.-Ing. Ali Daryusi

5. Anwendertreffen Simulation "SAXSIM 2013"

23.04.2013

Technische Universität Chemnitz









Gliederung

1. Einleitung

- ein historischer Überblick zur Kerbwirkungsforschung
- Schadensfälle
- Grundlagen zur Form- und Kerbwirkungszahlberechnung

2. Numerische Untersuchungen mit Creo Simulate im Vergleich zu Ansys WB

- Konvergenz-Untersuchung an Vollwellen mit SR-Nuten und Absätzen
- Berechnung der Spannungsformzahlen an Hohlwellen mit Absatz bei Zug-, Biegeund Torsionsbelastung
- Berechnung der Spannungsformzahlen an Vollwellen mit Mehrfachkerben (Absatz + Querbohrung) bei Zug-, Biege- und Torsionsbelastung
- Untersuchungen zur Milderung von Kerbwirkungen an den Querschnittsübergängen durch konstruktive Entlastungskerben an Vollwellen mit Absatz und Kerbzahnwellen nach DIN 5481 mit freiem Auslauf bei Zug-, Biege- und Torsionsbelastung
- Untersuchungen zu den Zahnwellenverbindungen nach DIN 5480 mit freiem und gebundenem Auslauf sowie mit Sicherungsringnuten nach DIN 471
- Untersuchungen zu den Kerbspannungen an Planetenträger für das Planetengetriebe einer Windkraftanlage

3. Zusammenfassung und Ausblick

- 4. Ein neues didaktische Konzept in der CAD/CAE-Ausbildung
 - Hundertsekundenvorträge
 - Gruppeneinteilung nach der Rundlitzenseil-Methode



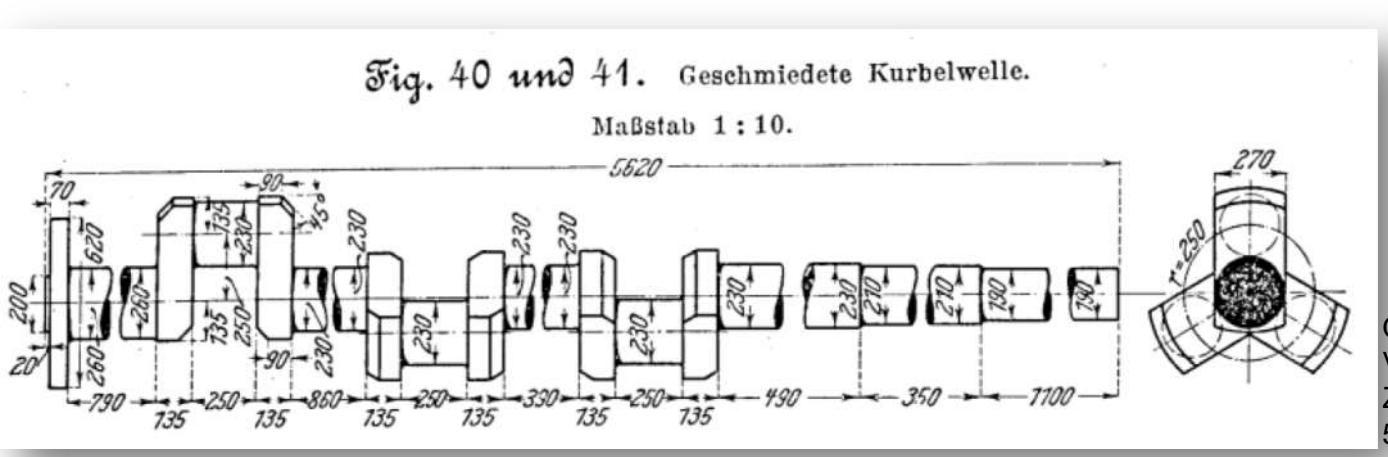
Einleitung

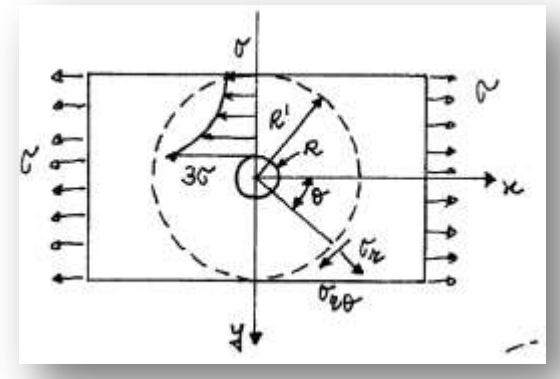
- > Ein historischer Überblick zur Kerbwirkungsforschung
 - Gustav Kirsch (1898),
 - Emil Heyn, E. Preuß (1914)
 - August Thum, Heinz Neuber (1930 1940)
- Typische Schadensfälle (praktische Beispiele)
- > Grundlagen zur Form- und Kerbwirkungszahlberechnung



Prof. Dr.-Ing. Ali Daryusi

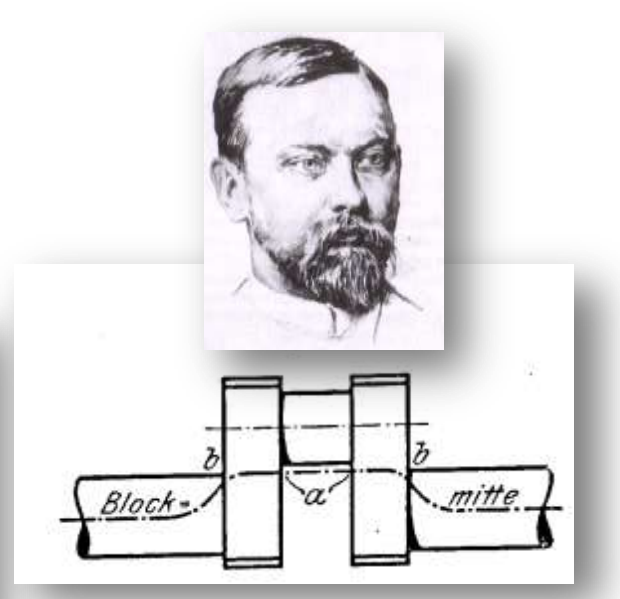
- ➤ Die Geschichte der Formzahlberechnung beginnt mit **Gustav Kirsch**. Er hat **1898** als erster die **Formzahl** einer zylindrischen Bohrung (*Circular Hole*) in einer unendlichen Platte zu 3,0 bei Zugbelastung berechnet.
- Professor **Emil Heyn** definierte im Jahr **1911** eine Kerbe wie folgt: "Kerben sind scharf einspringende Kanten, die Widerstandsfähigkeit des Materials gegenüber Stoß und häufig wiederholter Beanspruchung vermindern können. Bei dem einen Material wird diese Erscheinung schärfer zutage treten als beim andern. Eine Einwirkung bleibt aber immer vorhanden. Sie macht sich nicht nur geltend bei ganz spitzwinkligen Einkerbungen, sondern bei einspringenden Kanten überhaupt, auch wenn der Winkel weniger spitz ist, z.B. 90° beträgt, und nimmt mit der Größe des Abrundungshalbmessers ab".





Infinite Plate containing a circular hole

Quelle: G. Kirsh, (1898), Z.d.V.d.I, 1898 S. 798

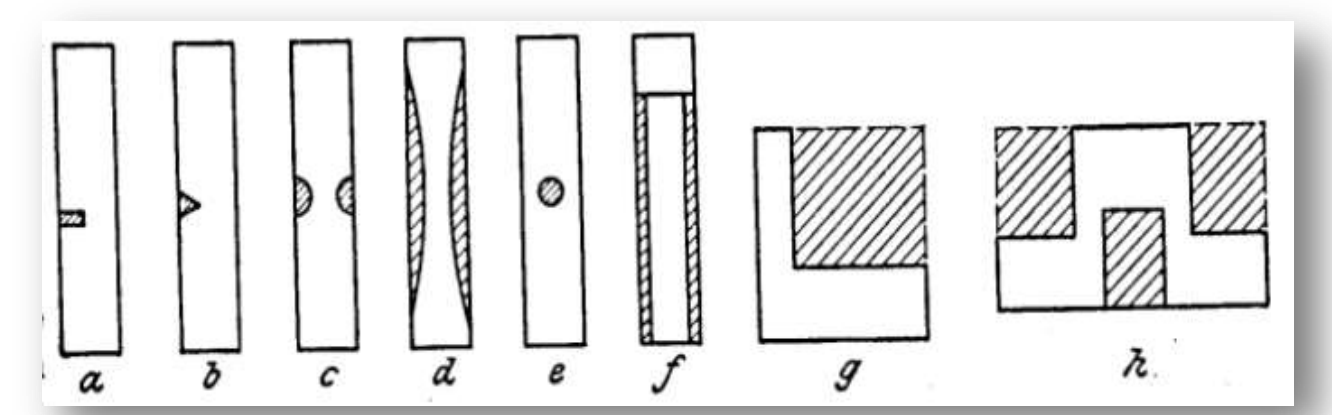


Quelle: Heyn, E.: Der technologische Unterricht als Vorstufe für die Ausbildung des Konstrukteurs. Zeitschrift des Vereins deutscher Ingenieure, Band 55, Nr. 6, 11. Feberuar 1911, S. 201-210



Folie 4
(Kerbwirkung_FEM_Didaktik)

- Im Schrifttum haben E. Heyn und E. Preuß wohl als die ersten den Begriff "Kerbwirkung" im Jahr 1914 erwähnt und seine gefährliche Bedeutung auf Konstruktionsteile bei Dauerbeanspruchungen erkannt, obwohl der Begriff implizit schon bei A. Wöhler und E. Winkler diskutiert wurde.
- ➤ Bereits im Jahr 1914 schrieb E. Heyn: "Die Wirkung des Kerbs ist dem Konstrukteur bekannt. Trotzdem ist aber eine sehr beträchtliche Zahl der in der Praxis eintretenden Brüche von Konstruktionsteilen auf nicht genügend berücksichtigte Kerbwirkung zurückzuführen. Man darf daraus den Rückschluss ziehen, dass die Kerbwirkung doch noch nicht in ihrem ganzen Umfang richtig eingeschätzt wird". "Kerbe bewirken örtliche starke Steigerung der Spannungen"



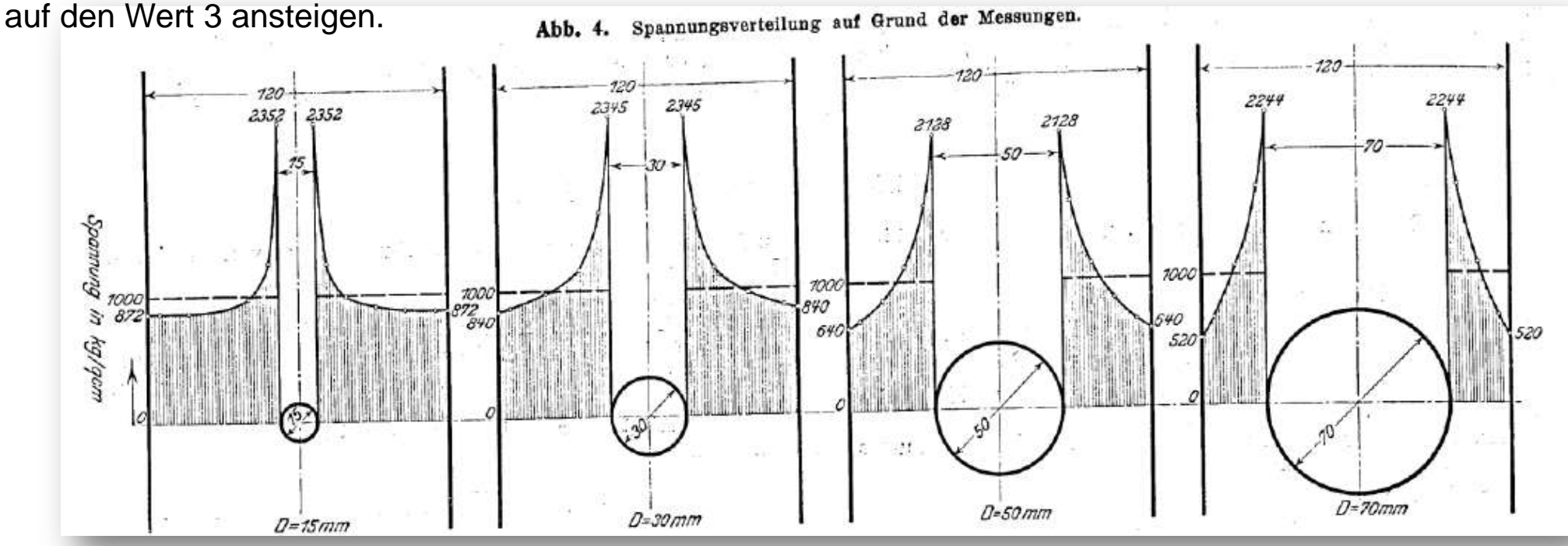
Verschiedene Arten von Kerben nach Heyn (das weggenommen gedachte Material ist schraffiert) – a) und b) deuten das Grundelement des eingeschnittenen Gewindes an.

Quelle: E. Heyn, Die Kerbwirkung und ihre Bedeutung für den Konstrukteur. ZVDI, Vol. 58, Nr. 10, 7. März 1914, pp. 383-391.



Im Jahr 1913 veröffentlichte E. Preuß Messergebnisse über die Wirkung von kreisförmigen Kerben in auf Zug beanspruchten Eisen-Flachstäben bei ruhender Belastung. Mit diesen Versuchsergebnissen wurde bewiesen, dass die Kerben große örtliche Spannungserhöhung hervorrufen.

Für die untersuchten Fälle liegt das Verhältnis "Maximalspannung zu mittlerer Spannung" zwischen 2,1 und 2,35. Bei unendlich breiten Flachstäben würde das Verhältnis nach Berechnungen von Gustav Kirsch

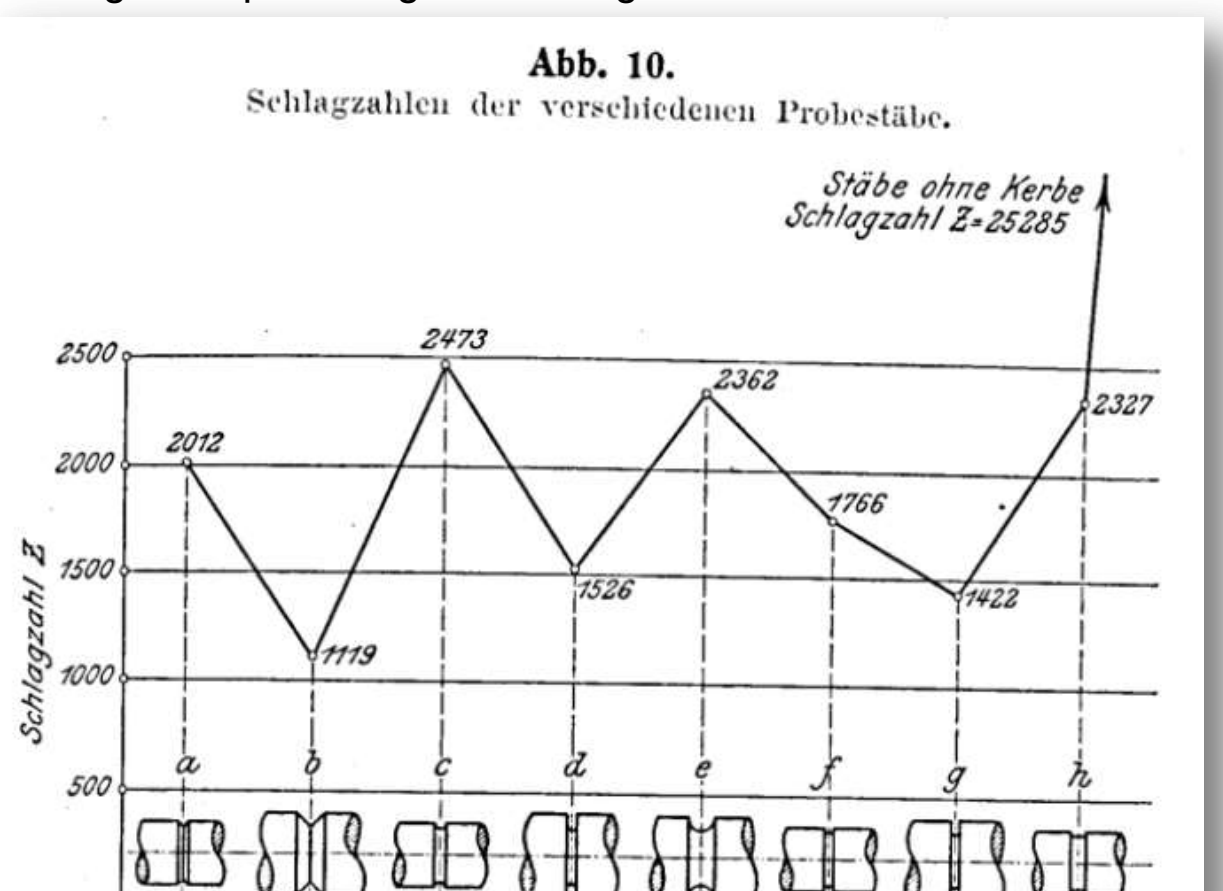


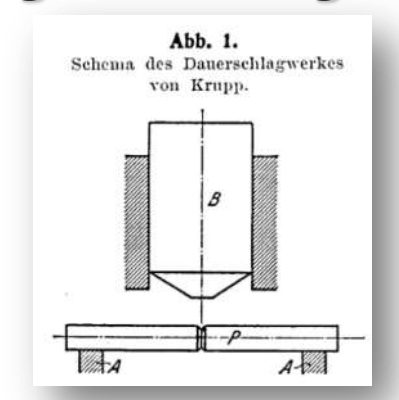
Spannungsverteilung in Flachstäben mit kreisförmigen Kerben bei ruhender Zugbelastung (Die Stäbe waren 120 mm breit und 15 mm dick) – die mittlere Spannung ist als gestrichelte Linie angedeutet.

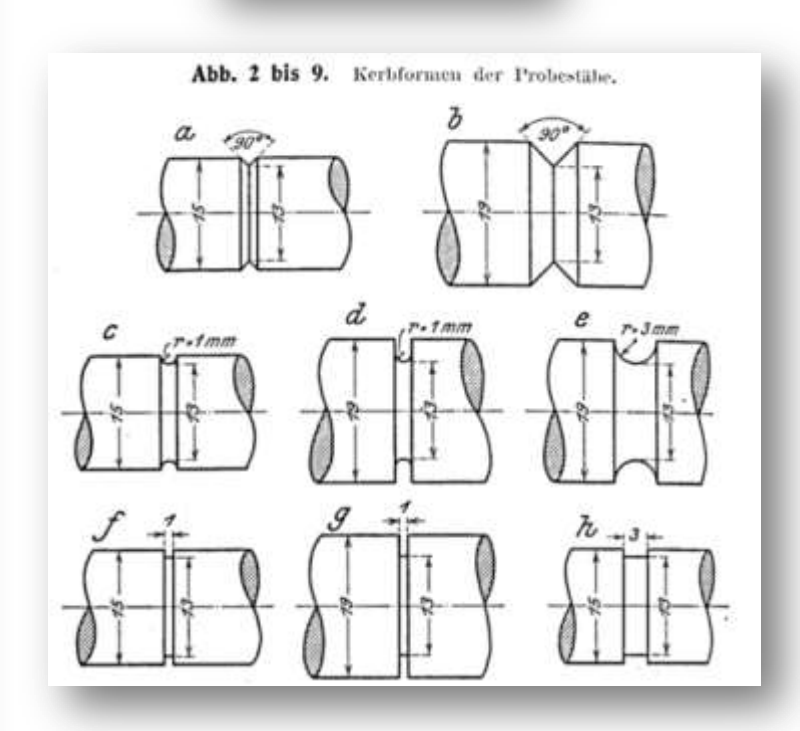
Quelle: E. Heyn, Die Kerbwirkung und ihre Bedeutung für den Konstrukteur. ZVDI, Vol. 58, Nr. 10, 7. März 1914, pp. 383-391.



E- Preuß berichtete im Jahr **1914** über experimentelle Untersuchungen zur Wirkung von verschiedenartigen Kerbformen und verschieden tiefer Kerben gleicher Form in acht Probestäben bei wechselnder Dauerschlagbeanspruchung. Der Kerbgrund-Durchmesser war 13 mm.



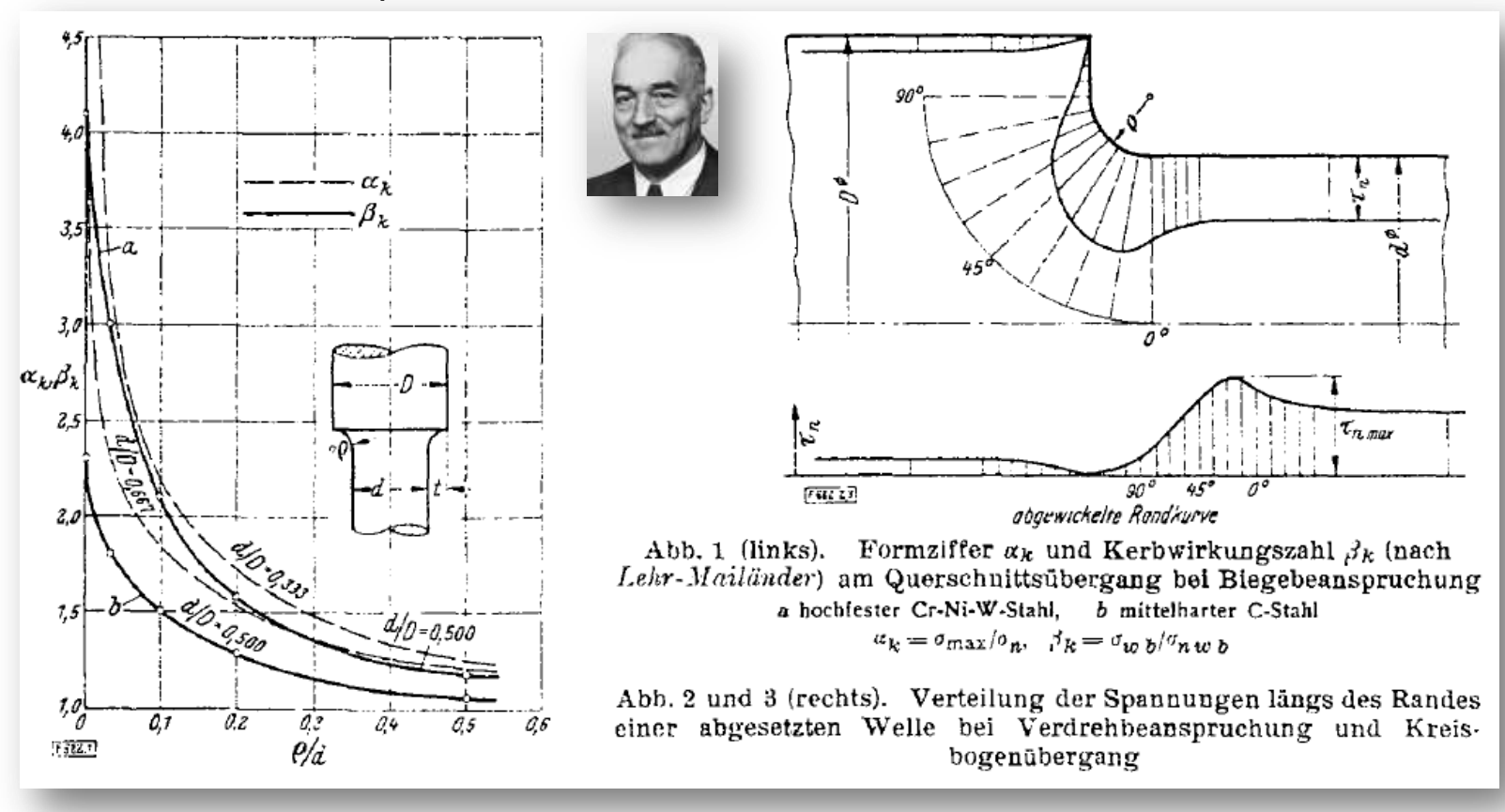




E. Preuss, Kerbwirkung bei Dauerschlagbeanspruchung. Z. Ver. dtsch. Ing., vol. 58, no. 18, May 2, 1914, pp. 701-703



Professor **August Thum** (1881–1957) an der TH Darmstadt, Lehrstuhl für Werkstoffkunde, kreierte die "**Kerbwirkungszahl**" und bezeichnete sie als eine "**Krücke**", "mit der man von der Werkstoffprobe zum gestalteten Bauteil hinüber humpeln kann".



Quelle: Thum, A.; Bautz, W.: Der Entlastungsübergang - Günstigste Ausbildung des Überganges an abgesetzten Wellen. VDI, Forschung 6. Bd./ Heft 6, Darmstadt 1935



Professor **Heinz Neuber** (1906–1989) hat **1937** mit seinem Buch "**Kerbspannungslehre**" die erste umfassende theoretische Arbeit über die grundlegenden theoretischen Berechnungen der Kerbspannungen, die Berechnung von Formzahlen und sogar von Kerbwirkungszahlen veröffentlicht.

$$\alpha_k^2 = \alpha_\sigma \cdot \alpha_\varepsilon$$
 (2.23) $\sigma_{\text{max}} \cdot \varepsilon_{\text{max}} = \alpha_k^2 \cdot \sigma_{\text{nenn}} \cdot \varepsilon_{\text{nenn}}$ (2.24)





Professor Heinz Neuber

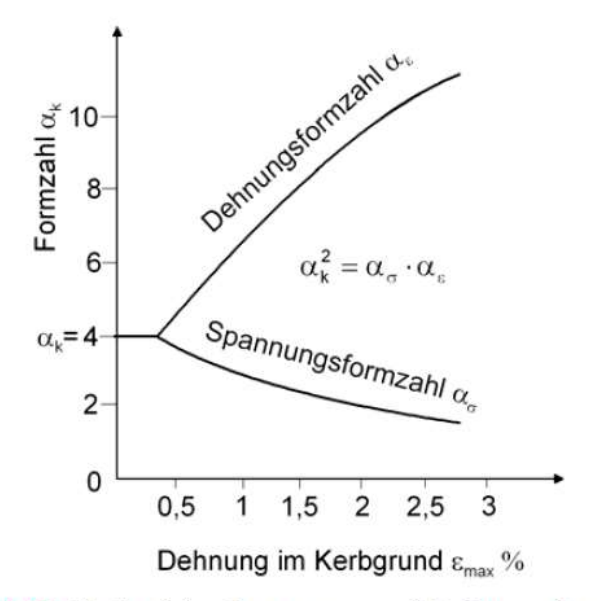


Bild 2.20: Verlauf der Spannungs- und Dehnungsformzahl über der Kerbgrunddehnung beispielhaft für $\alpha = 4$ nach der Neuber-Formel /Neu68/

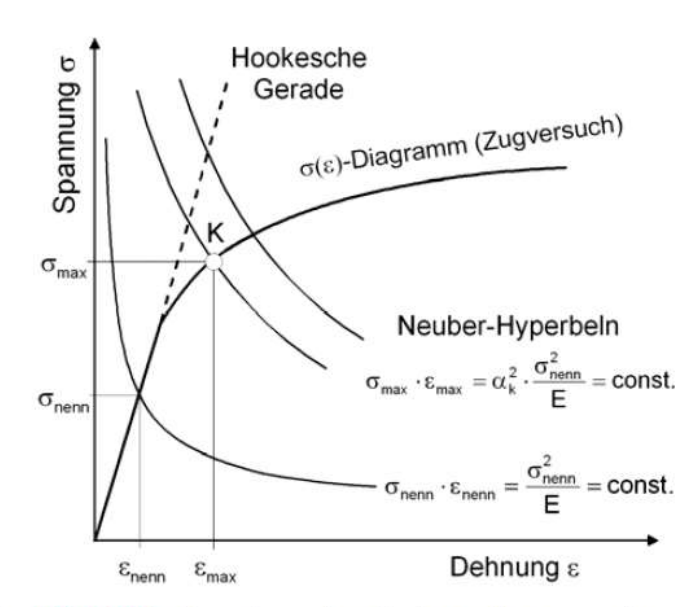
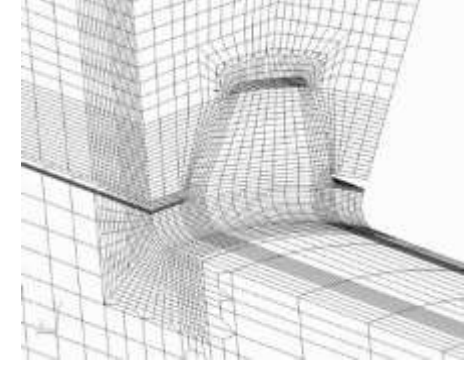
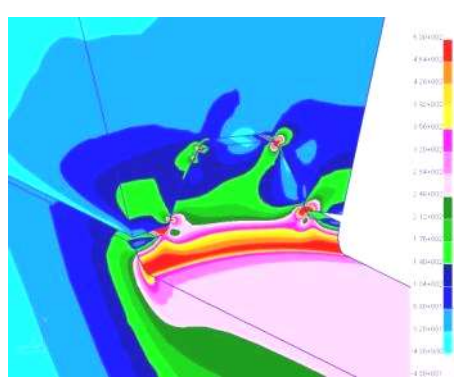


Bild 2.21: Ermittlung der Kerbgrundbeanspruchung (Punkt K) mit Hilfe der Neuber-Hyperbel /Neu68/

- Die hohen Anforderungen vor allem an Drehmoment übertragende und hochbeanspruchte Konstruktionsteile zwingen uns noch heute, der Frage der Kerbwirkungen sowie Maßnahmen zu deren Milderung erhöhte Aufmerksamkeit zu widmen.
- Während die Kerbwirkung der geometrischen Einzelkerben bereits recht eingehend erforscht ist, liegen wesentlich komplexere Verhältnisse bei Mehrfachkerben vor, die durch die gegenseitige Beeinflussung mehrerer benachbarter Kerben entstehen.
- Der heutige Kenntnisstand über die Mehrfachkerbwirkung von Getriebewellen ist für eine treffsichere Festigkeitsberechnung noch recht lückenhaft.
- Im Jahr 2009 führte Daryusi numerische und experimentelle Untersuchungen zur Ermittlung der Kerbwirkungszahlen an nach DIN 5480 genormten Evolventren-Zahnwellen mit freiem und gebundenem Auslauf mit oder/ohne Sicherungsringnuten für die Belastungsarten Torsion, Biegung und Zug/Druck.

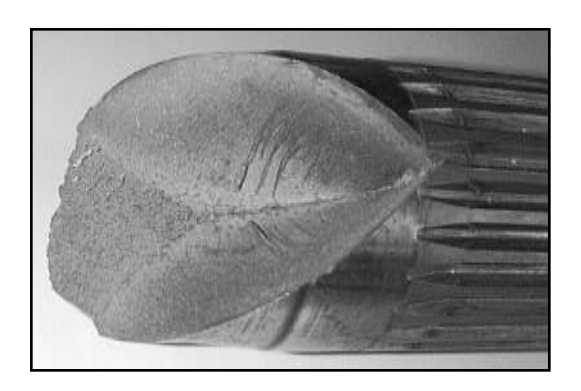
Quelle: Daryusi, A: Beitrag zur Ermittlung der Kerbwirkung an Zahnwellen mit freiem und gebundenem Auslauf. Dissertation, Technische Universität Dresden, 2009



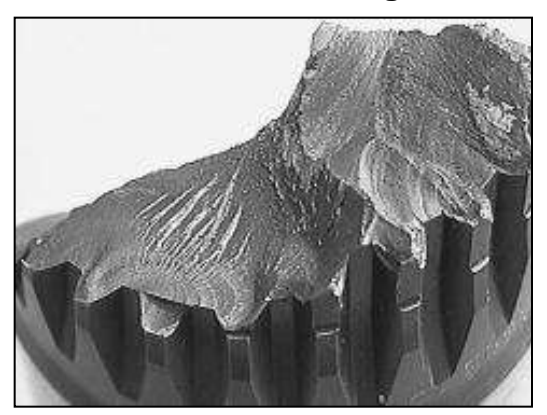




Typische Schadensfälle an Profilwellen (praktische Beispiele)



Ermüdungsbruch bei Torsionsbelastung

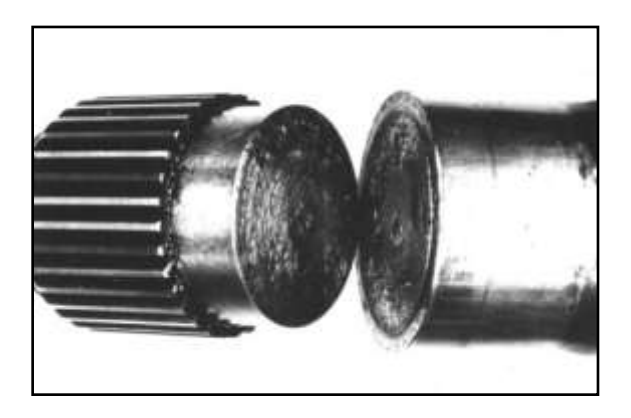


Schwingbruch einer verzahnten Welle

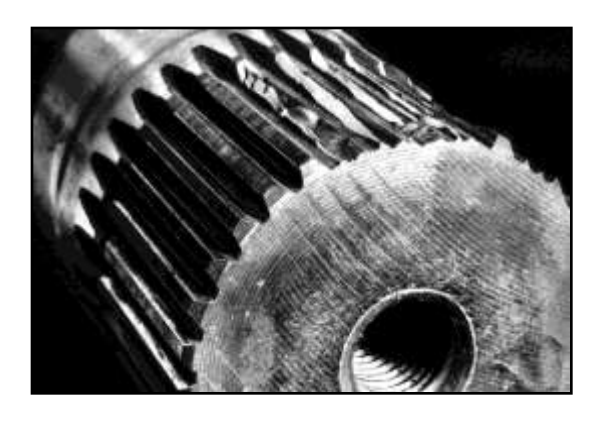
80% der Schäden bei Wellen und Achsen treten an konstruktiven Kerben auf



Zahnwelle - Torsionsbruch



Gewaltbruch unter Torsionsbelastung
Zahnwelle -Wellenabsatz



Zahnfußbrüche an einer Zahnwelle

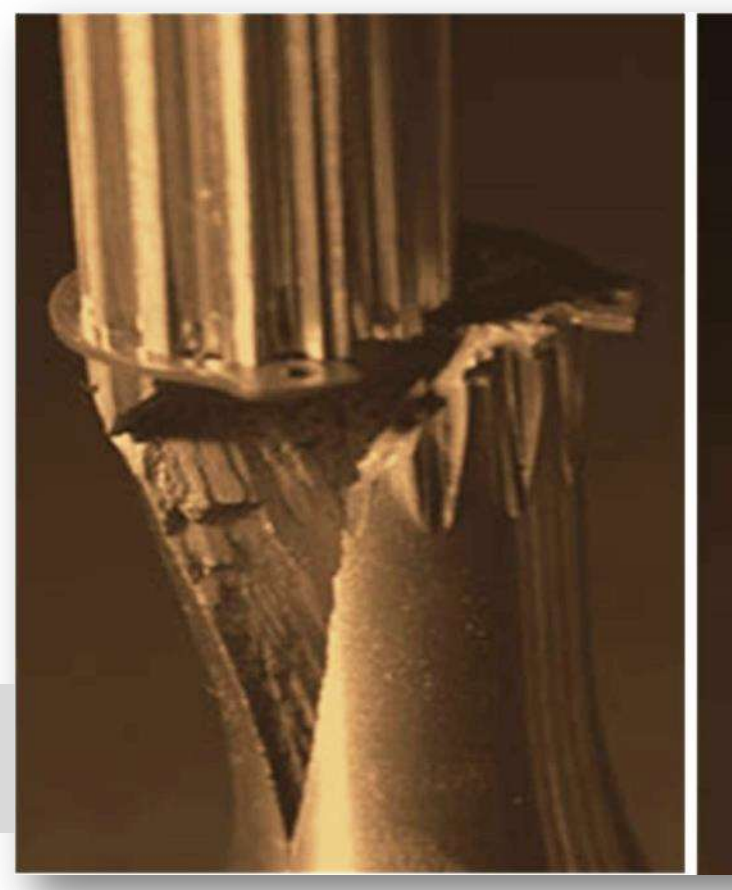
(Hierbei spielt die Kerbwirkung eine erhebliche Rolle)



Quelle: Daryusi

Brüche an Zahnwellen mit SR-Nuten

Mehrfachkerbwirkung an Zahnwellen nach DIN 5480 mit gebundenem Auslauf und Sicherungsringnuten nach DIN 471





geschliffene Zahnwelle

Quelle: Daryusi

Ermüdungsbrüche an Zahnwellen mit SR-Nuten bei dynamischer Torsion



kaltgewalzte

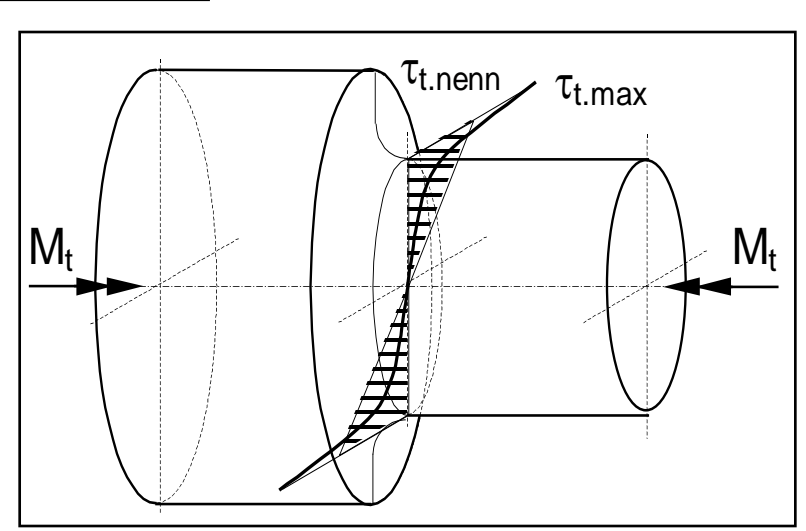
Zahnwelle

Grundlagen – Formzahlberechnung

Die Ermittlung der Formzahlen erfolgt mit der Finiten Elemente Methode (FEM)

- unter der Voraussetzung des linear-elastischen Materialverhaltens
 - unter Nutzung der FEM-Programme Simulate und Ansys-Workbench

Belastungsart: Torsion



$$\alpha_{\pi_NSH} = \frac{\tau_{t_max}}{\tau_{t_nenn}}$$

$$\alpha_{\pi_GEH} = \frac{\sigma_{v_GEH_max}}{\sigma_{v_GEH_nenn}}$$

$$\sigma_{v_GEH_nenn} = \sqrt{3} \cdot \tau_{t_nenn}$$

Grundlagen - Berechnung der Kerbwirkungszahlen $\beta_{\sigma,\tau}$ nach Siebel

Nach dem Ansatz von SIEBEL und STIELER

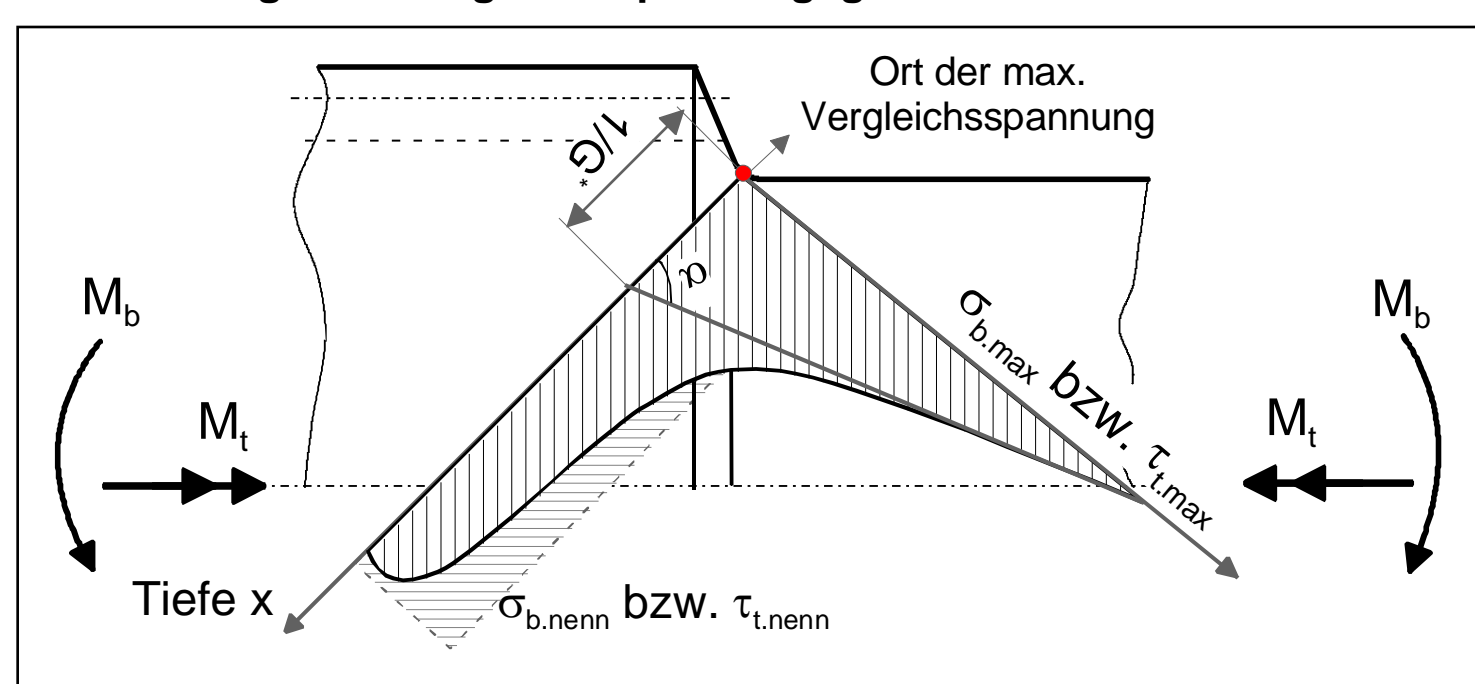
$$\beta_{\sigma,\tau} = \frac{\alpha_{\sigma,\tau}}{n}$$

Nach DIN 743:

für Wellen ohne harte Randschicht:

$$n = 1 + \sqrt{G^* \cdot mm} \cdot 10^{-\left(0.33 + \frac{\sigma_s(d)}{712 \frac{N}{mm^2}}\right)}$$

Bestimmung der bezogenen Spannungsgefälle G*



$$G = \left(\frac{d\sigma}{dx}\right)_{\text{max}}$$

$$G^* = \left(\frac{G}{\sigma_{\text{max}}}\right)_{x=0}$$

$$G^* = \frac{1}{\sigma_{\text{max}}} \cdot \left(\frac{d\sigma}{dx}\right)_{\text{max}}$$

Grundlagen - Berechnung der Kerbwirkungszahlen $\beta_{\sigma,\tau}$ nach Neuber

Verfahren von NEUBER

$$\beta_{\sigma,\tau} = \frac{\alpha_{\sigma,\tau}}{n}$$

Der fiktive Ersatzkerbradius: $r_F = r + s \cdot \rho$

$$r_F = r + s \cdot \rho^*$$

Die werkstoffabhängige Strukturlänge:

$$\rho^* = 10^{-(0.514+0.00152\sigma_s(d))}$$

s ist ein dimensionsloser Faktor abhängig von:

Beanspruchungsart, Spannungszustand und Festigkeitshypothese

für Zug/Druck oder Biegung:

s = 2 bei Verwendung der NS-Hypothese

s = 2.9 bei Verwendung der GH-Hypothese

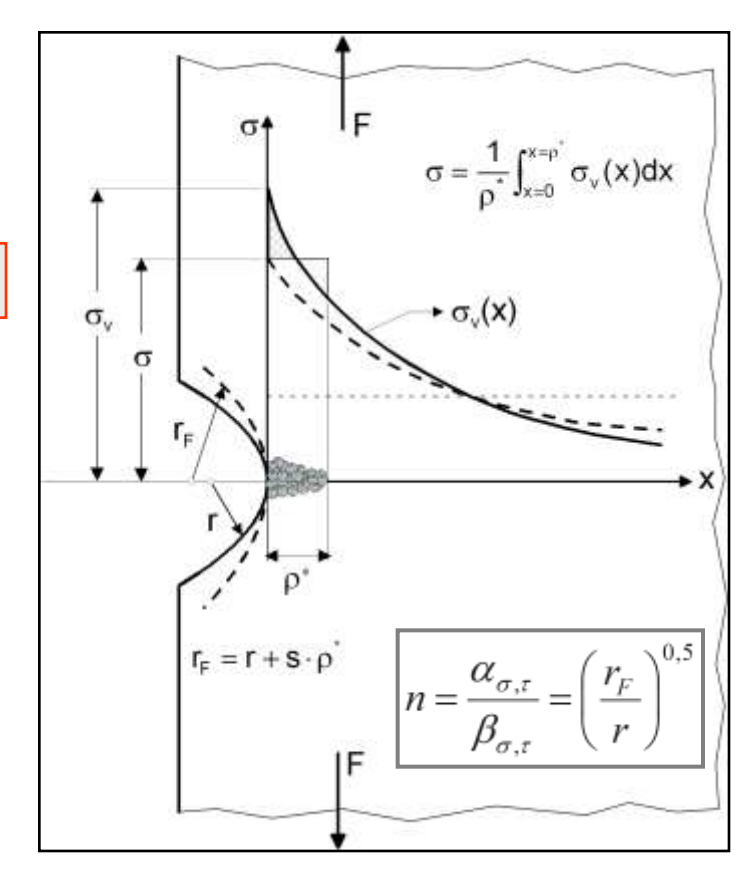
für Torsion und Querkraftschub: S = 1

Die Kerbwirkungszahl:

$$\beta_{\sigma,\tau} = \alpha_{\sigma,\tau} \cdot \left(\frac{r}{r_F}\right)^{0.5}$$

Für sehr scharfe Kerben:

$$\beta_{\sigma,\tau} = \alpha_{\sigma,\tau}(r_F)$$



Modell der Mikrostützwirkung nach dem Neuberschen Ansatz

Konvergenz-Untersuchung

Konvergenz-Untersuchungen an:

- Vollwellen mit SR-Nuten nach DIN 471 bei Zug- und Torsionsbelastung
 - Untersuchte Varianten
 - Vergleichsspannungsverteilung
 - Konvergenz-Berechnungsergebnisse bei Zug und Torsion
 - Anmerkungen zu den Konvergenz-Ergebnissen
- Vollwellen mit Absatz nach DIN 743 bei Zug- und Torsionsbelastung
 - Vergleichsspannungsverteilung
 - Konvergenz-Berechnungsergebnisse bei Zug und Torsion
 - Vergleich Simulate mit Ansys Workbench



Konvergenz-Untersuchung an SR-Nut in Vollwellen

Vollwelle-Geometrie:

D = 25 mm

SR-Nut:

msrn = 1,3 mm

Nutradius: rsrn = 0,12 mm

Nuttiefe: tsrn = 0.55 mm

SR-Nut-Grunddurchmesser:

dsrn = 23.9 mm

rsn/tsn = 0.0923

FE-Programm: Simulate

Nennspannung = 100 N/mm²

Bezugsdurchmesser dsrn

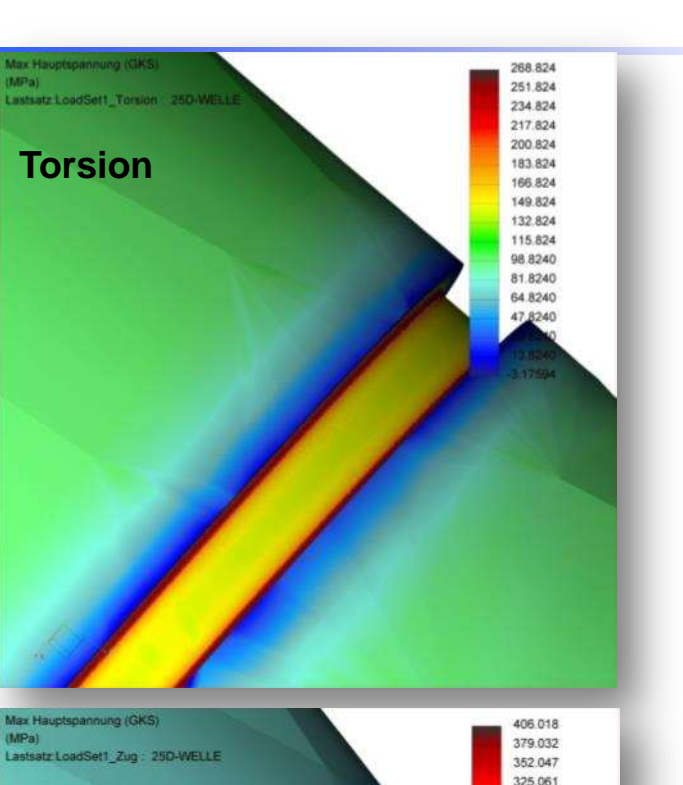
Untersuchte Varianten

- Schnelldurchlauf keine Netzsteuerung; Plotraster 4 1)
- 2) Einschritt-Konvergenz keine Netzsteuerung; PR 9
- 3) Einschritt-Konvergenz keine Netzsteuerung; PR 4
- 4) Einschritt-Konvergenz Elementgröße 1 mm; PR 4
- 5) Einschritt-Konvergenz Elementgröße 0,75 mm; PR 4
- 6) Einschritt-Konvergenz Elementgröße 0,5 mm; PR 4
- 7) Einschritt-Konvergenz _ Elementgröße 0,25 mm; PR 4
- 8) Einschritt-Konvergenz Elementgröße 0,12 mm; PR 4
- 9) Einschritt-Konvergenz Elementgröße 0.05 mm; PR 4
- Mehrfach-Konvergenz_Polynomgrad 1 bis 9 _ keine Netzsteuerung PR 4
- Mehrfach-Konvergenz Polynomgrad 1 bis 9 keine Netzsteuerung PR 9
- Mehrfach-Konvergenz Polynomgrad 1 bis 9 Elementgröße 0,25 mm; PR 4



Folie 17

Spannungsverteilung an Vollwellen mit SR-Nut nach DIN 471



Zug

298.076

t = Nuttiefe; t = (D - d)/2

m = Nutbreite

n = Bundbreite

r = Eckenradius

D = Wellendurchmesser

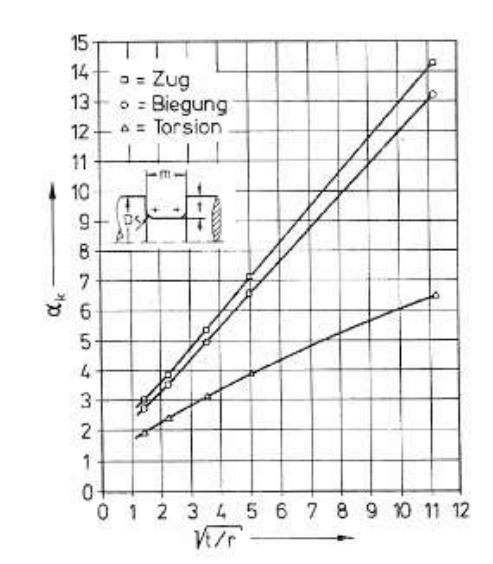
d = Nutdurchmesser

A = Fläche der Nutwand

$$A = \frac{\pi \cdot (D^2 - d^2)}{4}$$

Nenn-Flächenpressung:

$$P_{nenn} = \frac{F}{A}$$



F = Axialkraft

Bild 2.33: Charakteristische geometrische Verhältnisse und die Formzahlen für Zug, Biegung und Torsion für rechteckige SR-Nuten in Vollwellen nach DIN 471, bezogen auf den Nutgrunddurchmesser d, in Abhängigkeit von der Nuttiefe und dem Nutradius, gültig für m/t ≥ 1,4; nach /Hei84/

Tabelle 2.11: Gleichungen zur Berechnung der Formzahlen an Wellen mit SR-Nuten nach /Hei84/

Biegung	Torsion	Zug/Druck		
$\alpha_{\sigma.b_SRN} = 1.14 + 1.08 \cdot \sqrt{\frac{t}{r}}$	$\alpha_{r.t_SRN} = 1,48 + 0,45 \cdot \sqrt{\frac{t}{r}}$	$\alpha_{\sigma.zd_SRN} = 1.27 + 1.17 \cdot \sqrt{\frac{t}{r}}$		

Nutradius: rsrn = 0,12 mm Elm.-Größe = 0,05 mm

Konvergenz-Berechnungsergebnisse an SR-Nut in Vollwellen

Vollwelle-Geometrie:

D = 25 mm

SR-Nut:

msrn = 1,3 mm

Nutradius: rsrn = 0,12 mm

Nuttiefe: tsrn = 0,55 mm

SR-Nut-Grunddurchmesser:

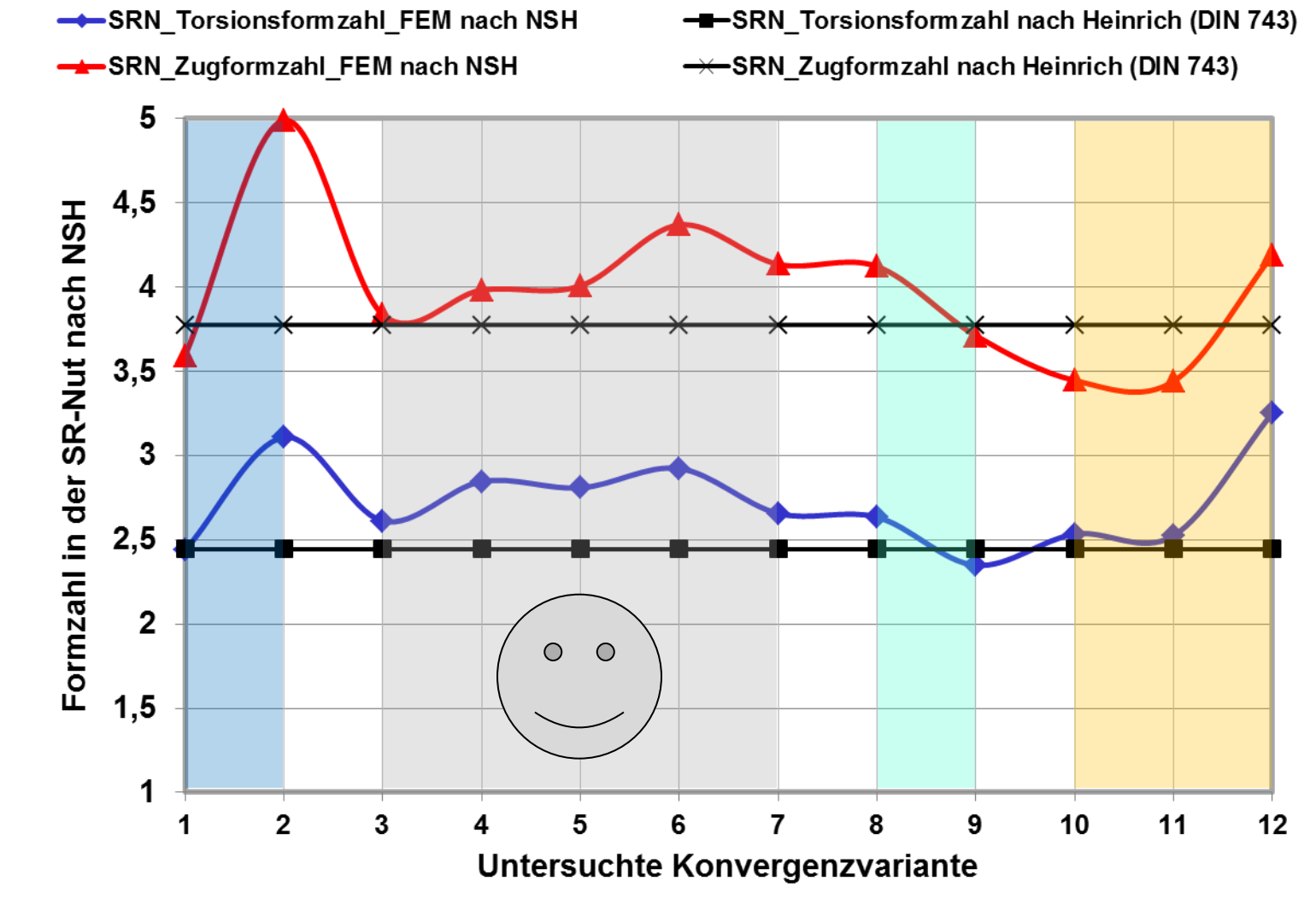
dsrn = 23,9 mm

rsn/tsn = 0,0923

FE-Programm: Simulate

Nennspannung = 100 N/mm²

Bezugsdurchmesser dsrn





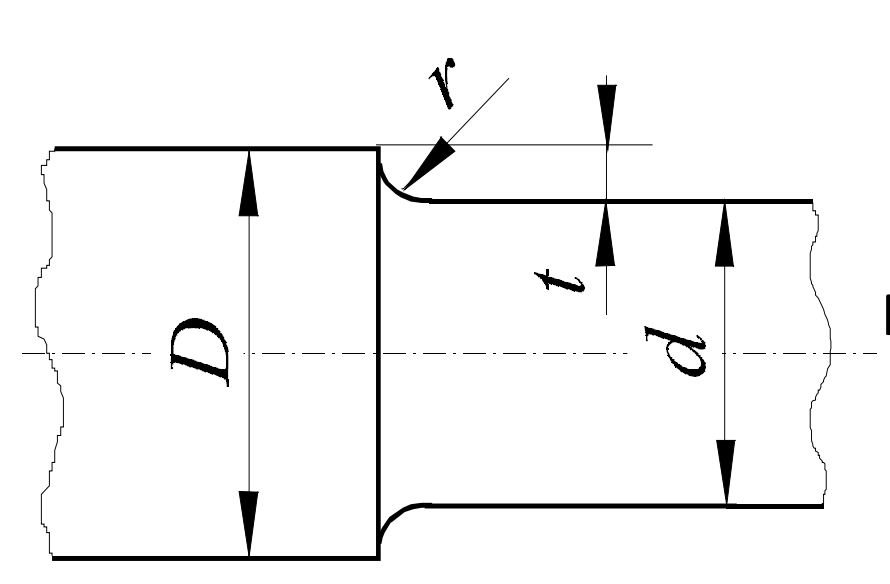
Anmerkungen zu den Konvergenz-Berechnungsergebnissen

- Variation des Kerbradius in der SR-Nut: 0,12 mm; 0,36 mm und 0,5 mm.
- Prozentuale Abweichung der mit FEM-ermittelten Formzahl von der nach Heinrich bestimmten Formzahl lässt sich mit der Vergrößerung des Kerbradius reduzieren.
- Das Ergebnis der Variante 2 und 12 ist ungenau und durch eine große Abweichung behaftet (ca. 25%).
- Die Berechnung der Varianten 8 und 9 ist sehr zeitaufwendig.
- Die Ergebnisse der Varianten 1, 10 und 11 sind durch für die untersuchten Belastungsarten unübliche Spannungsverteilung gekennzeichnet.
- Eine Netzsteuerung (Festlegung einer Elementgröße) muss bei Variantenrechnungen mittels Creo Simulate berücksichtigt werden.
- Spannungsermittlung an sehr scharfen Kerbradien ist problematisch.



Untersuchungen zur Welle mit Absatz

Formzahlgleichung bei Zug nach DIN 743:



$$\alpha_{\sigma} = 1 + \frac{1}{\sqrt{0,62 \cdot \frac{r}{t} + 7 \cdot \frac{r}{d} \cdot \left(1 + 2 \cdot \frac{r}{d}\right)^2}}$$

Formzahlgleichung bei Torsion nach DIN 743:

$$\alpha_{\tau} = 1 + \frac{1}{\sqrt{3,4\frac{r}{t} + 38\frac{r}{d}\left(1 + 2\frac{r}{d}\right)^2 + \left(\frac{r}{t}\right)^2\frac{d}{D}}}$$

Absatzgeometrie

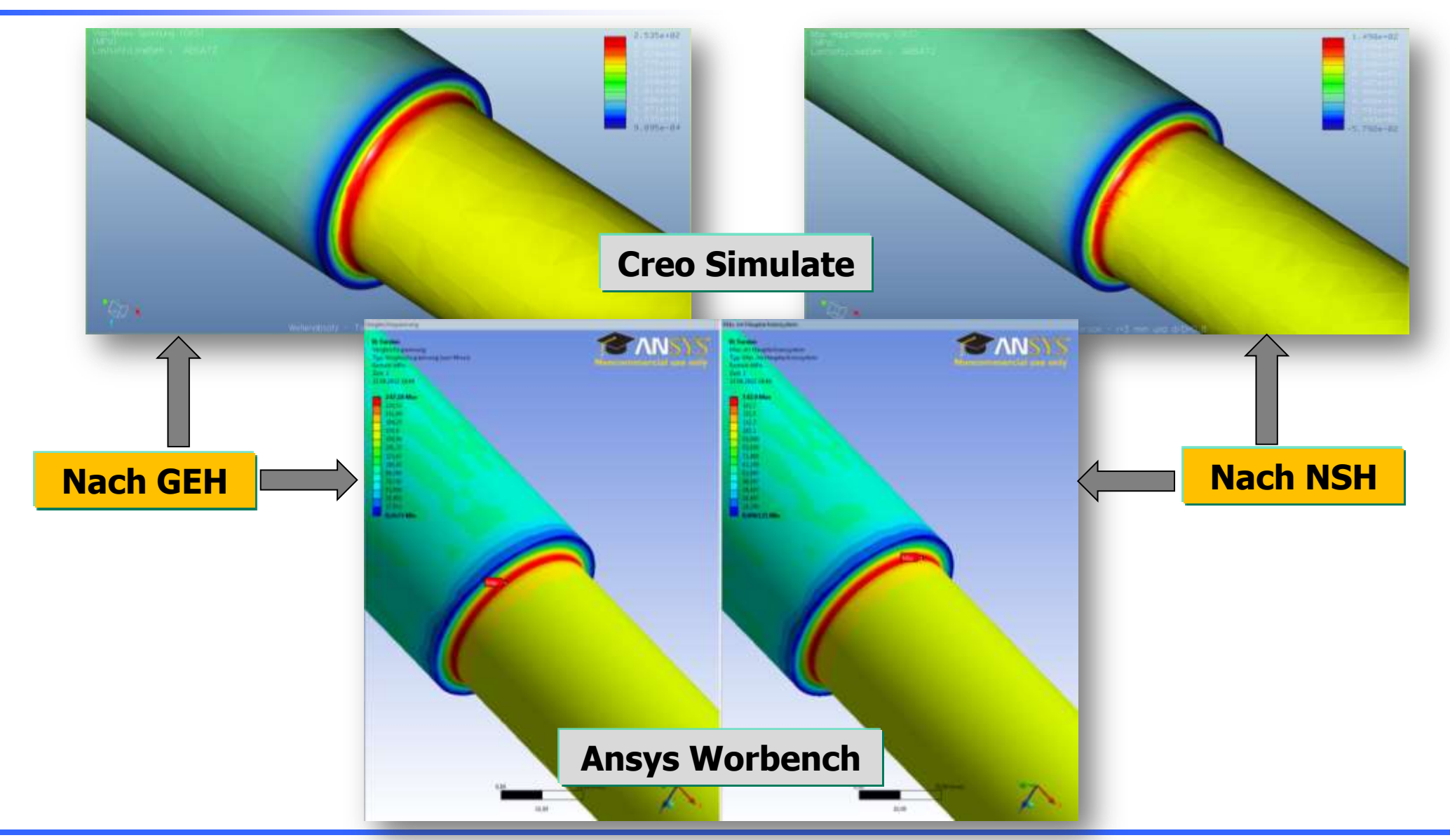
Durchmesserverhältnis: d/D = 0,8;

Kerbradius für zwei Varianten: $r_1 = 0.3 \text{ mm und } r_2 = 3 \text{ mm}$;

Kerbschärfe: r/t = 0.06 und r/t=0.6



Torsionsbelastung eines Wellenabsatzes (d/D=0.8 und r=3 mm)





Formzahlergebnisse bei Torsionsbelastung

Formzahlberechnung mit Creo Simulate und Ansys Workbench an einem Wellenabsatz

Berec	hnun	acva	riar	ıtan
Derec	IIIIuII	ysva	IIai	ICEII

A_simulate: Schnelldurchlauf

B_simulate: Adaptive Einschritt-Konvergenz, Plotraster: 4

C_simulate: Adaptive Einschritt-Konvergenz, Plotraster: 9

D_simulate: Adaptive Mehrfach-Konvergenz, Plotraster: 4 und Polynomgrad: 1 bis 9

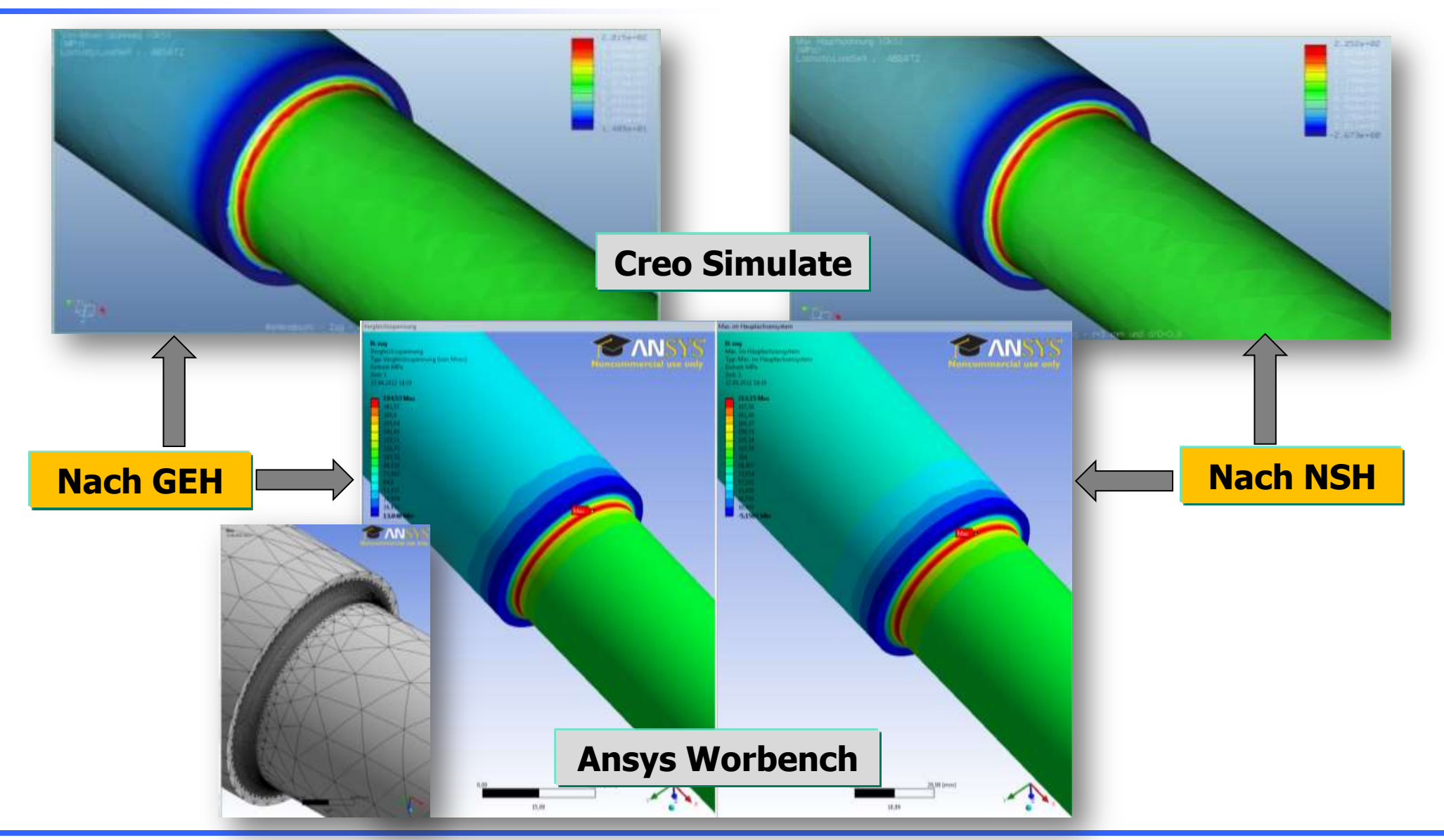
E_simulate: Adaptive Mehrfach-Konvergenz, Plotraster: 9 und Polynomgrad: 1 bis 9

F_Ansys: mit Ansys Workbench – Elementgröße im Kerbradius 0,3 mm

		tungsart & ingsmethode	r [mm]	t [mm]	r/t	d/D	DIN 743 $\alpha_{\sigma,\tau}$	$lpha_{\sigma, au_{FEM}}$	$lpha_{\sigma, au_GEH_FEM}$	$\frac{\alpha_{\sigma,\tau_{GEH}}}{\alpha_{\sigma,\tau}}$
		A_Simulate		5	0,06	0,8	2,414	3,295	3,045	0,924
	Torsion	B_Simulate						3,151	2,958	0,939
		C_Simulate	0,3					3,129	2,961	0,946
		D_Simulate						3,031	2,946	0,972
		E_Simulate						3,040	2,954	0,972
		F_Ansys						2,958	2,959	1,000
		A_Simulate						1,266	1,240	0,979
		B_Simulate			1,419	1,401	0,987			
	Torsion	C_Simulate	C_Simulate 3 5 0,6	0,6	6 0,8	1,405	1,428	1,409	0,987	
	Torsion	D_Simulate						1,364	1,359	0,996
		E_Simulate						1,365	1,361	0,997
		F_Ansys						1,429	1,427	0,998



Zugbelastung eines Wellenabsatzes (d/D=0,8 und r = 3 mm)





Formzahlergebnisse bei Zugbelastung

Formzahlberechnung mit Creo Simulate und Ansys Workbench an einem Wellenabsatz

Berechi	nungsva	arianten
---------	---------	----------

A_simulate: Schnelldurchlauf

B_simulate: Adaptive Einschritt-Konvergenz, Plotraster: 4

C_simulate: Adaptive Einschritt-Konvergenz, Plotraster: 9

D_simulate: Adaptive Mehrfach-Konvergenz, Plotraster: 4 und Polynomgrad: 1 bis 9

E_simulate: Adaptive Mehrfach-Konvergenz, Plotraster: 9 und Polynomgrad: 1 bis 9

F_Ansys: mit Ansys Workbench – Elementgröße im Kerbradius 0,3 mm

	elastungsart & chnungsmethode	r [mm]	t [mm]	r/t	d/D	$\begin{array}{c} \textit{DIN} \\ \textit{743} \\ \\ \alpha_{\sigma,\tau} \end{array}$	$lpha_{\sigma, au_{FEM}}$	$lpha_{\sigma, au_GEH_FEM}$	$\frac{\alpha_{\sigma,\tau_{GEH}}}{\alpha_{\sigma,\tau}}$
	A_Simulate	0,3	5	0,06	0,8	4,310	5,206	4,526	0,869
	B_Simulate						5,875	4,723	0,804
7.0.0	C_Simulate						6,161	4,811	0,781
Zug	D_Simulate						4,795	3,627	0,756
	E_Simulate						4,833	3,620	0,749
	F_Ansys						5,029	4,387	0,872
	A_Simulate					1,968	1,994	1,632	0,818
	B_Simulate						2,321	1,997	0,860
Zna	C_Simulate	3	5	0,6	0,8		2,410	2,062	0,855
Zug	D_Simulate						2,130	1,787	0,839
	E_Simulate						2,206	1,798	0,815
	F_Ansys						2,131	1,945	0,913



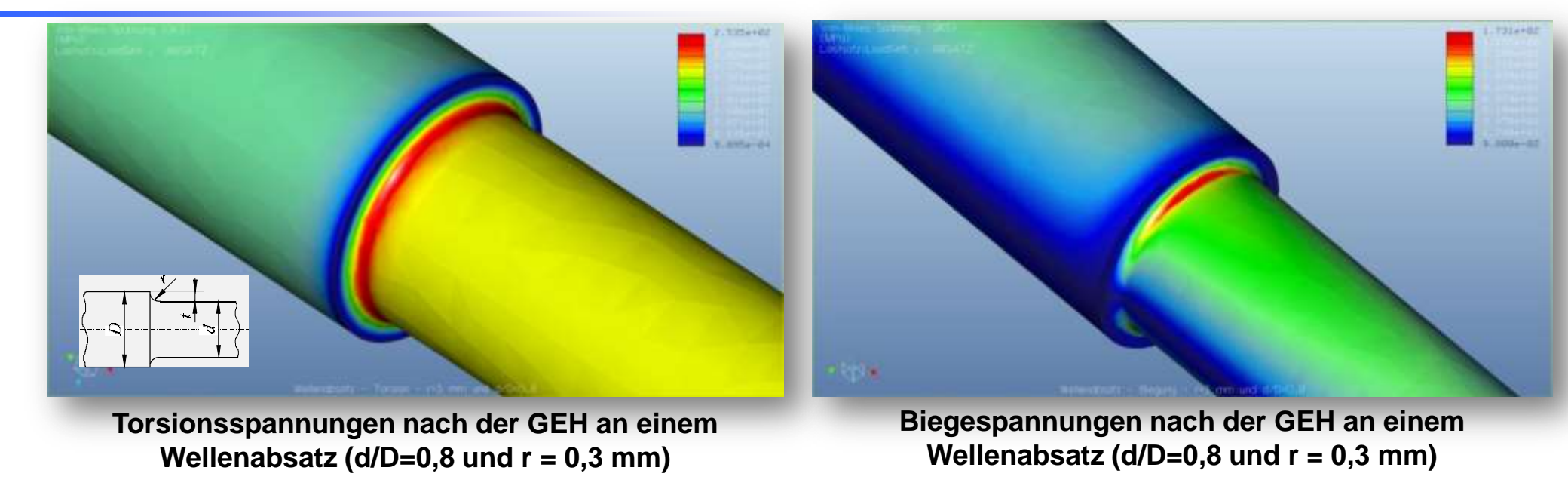
Formzahlberechnung

Berechnung der Spannungsformzahlen an:

- Hohlwellen mit Absatz bei Zug-, Biege- und Torsionsbelastung
 - mit Creo Simulate
 - mit Ansys Workbench
 - Formzahlergebnisdarstellung
- Vollwellen mit Kerbüberlagerung "Absatz und Querbohrung" bei Zug-, Biege- und Torsionsbelastung
 - Vergleichsspannungsverteilung
 - Formzahlergebnisdarstellung bei Torsionsbelastung
 - Formzahlergebnisdarstellung bei Zugbelastung
 - Formzahlergebnisdarstellung bei Biegebelastung



Formzahlberechnung an Hohlwellen mit Absatz

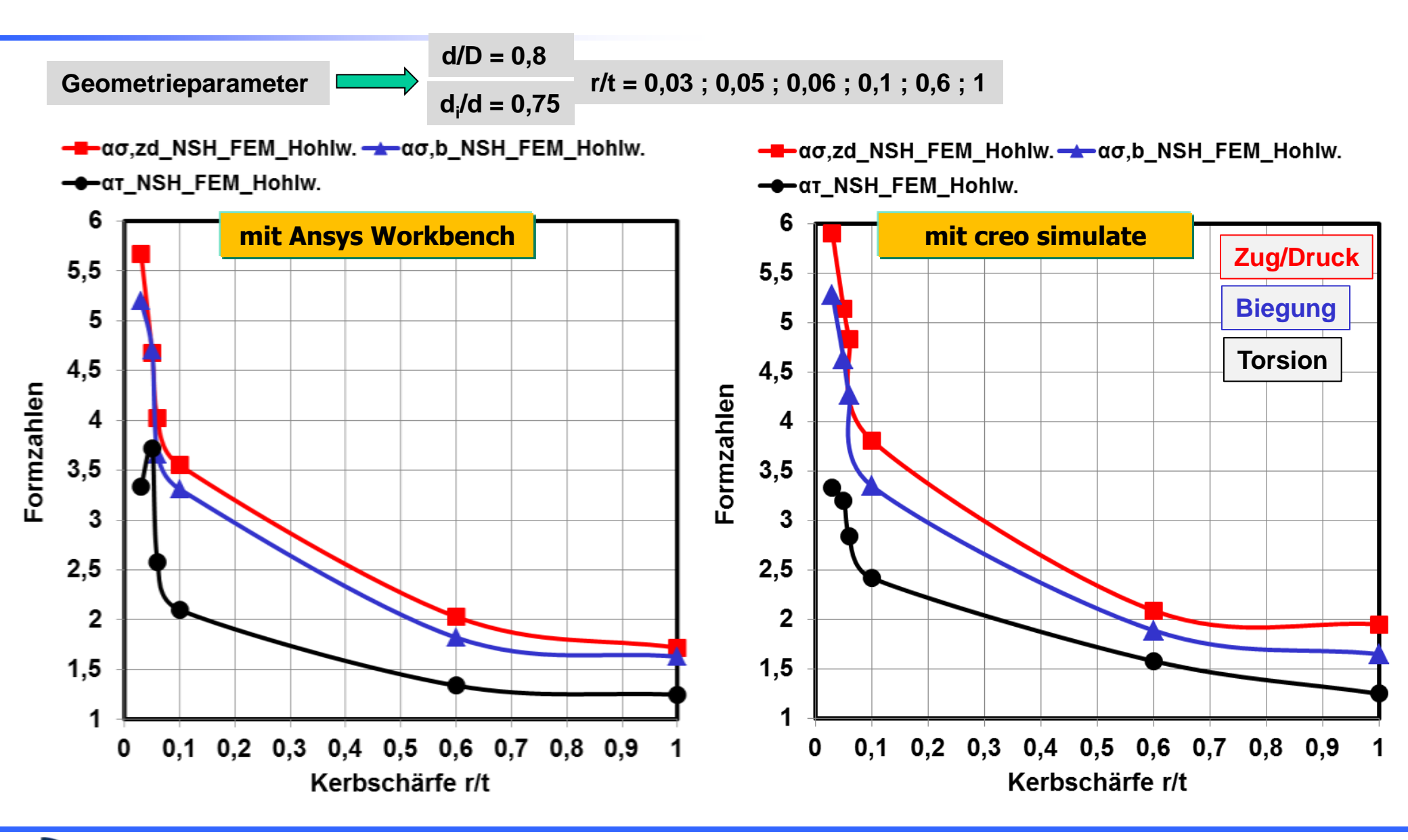


Geometrie der Hohlwelle mit Absatz

- Belastungsarten: Zug, Torsion und Biegung
- Die verwendete Nennspannung beträgt 100 N/mm² und ist auf den Kerbgrund-Durchmesser d bezogen.
- Durchmesserverhältnis: d/D = 0,8
- Innen-Durchmesserverhältnis: d_i/d = 0,75
- Kerbschärfe: r/t = 0,03; 0,05; 0,06; 0,10; 0,60; 1,00
- Kerbradien f
 ür die 6 Varianten: r = 0,15; 0,25; 0,3; 0,5; 3 und 5 mm

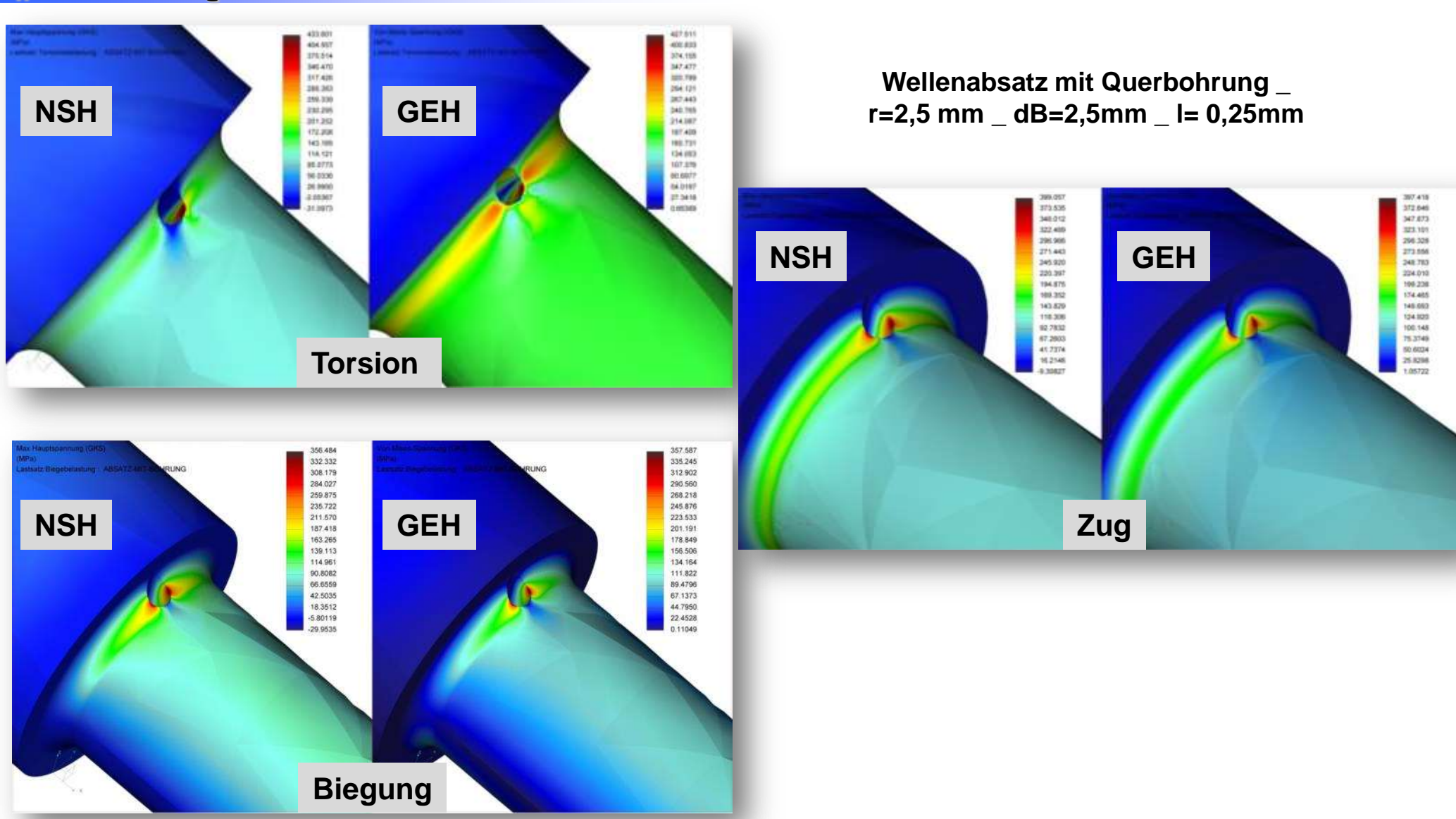


Vergleich der Formzahlberechnung an Hohlwellen mit Absatz





Spannungsverteilungen bei Vollwellen mit Kerbüberlagerung "Absatz+Querloch" nach NSH und GEH





Kerbüberlagerung "Absatz mit Querbohrung" bei Torsionsbelastung

Absatzgeometrie:

D = 30 mm

d/D = 0,667

Absatzradius: r = 2,5 mm

Bohrungsdurchmesser: $d_B = 2,5$

mm

 $d_B/d = 0,125$

r/t = 0.5

 $(d-d_i)/2 = 5$

I = Abstand Bohrungsmittelpunkt

zu Wellenbund

di = Innendurchmesser

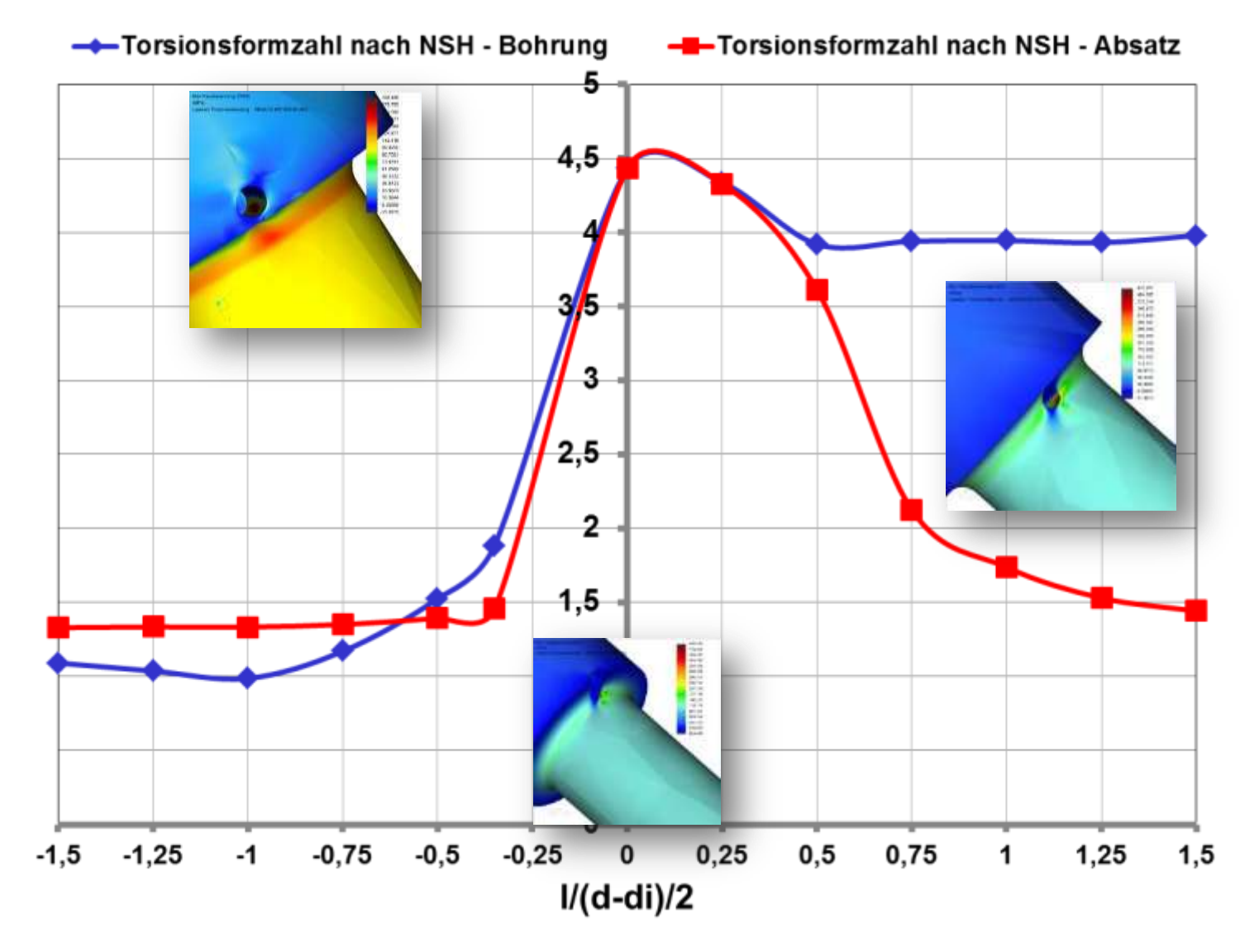
FE-Programm: Simulate

Ad. Einschritt-Konvergenz PR 4

Elementgröße 0,5 mm

Bezugsdurchmesser d

Nennspannung = 100 N/mm²





Kerbüberlagerung "Absatz mit Querbohrung" bei Zugbelastung

Absatzgeometrie:

D = 30 mm

d/D = 0,667

Absatzradius: r = 2,5 mm

Bohrungsdurchmesser: $d_B = 2,5$

mm

 $d_B/d = 0,125$

r/t = 0.5

 $(d-d_i)/2 = 5$

I = Abstand Bohrungsmittelpunkt zu Wellenbund

di = Innendurchmesser

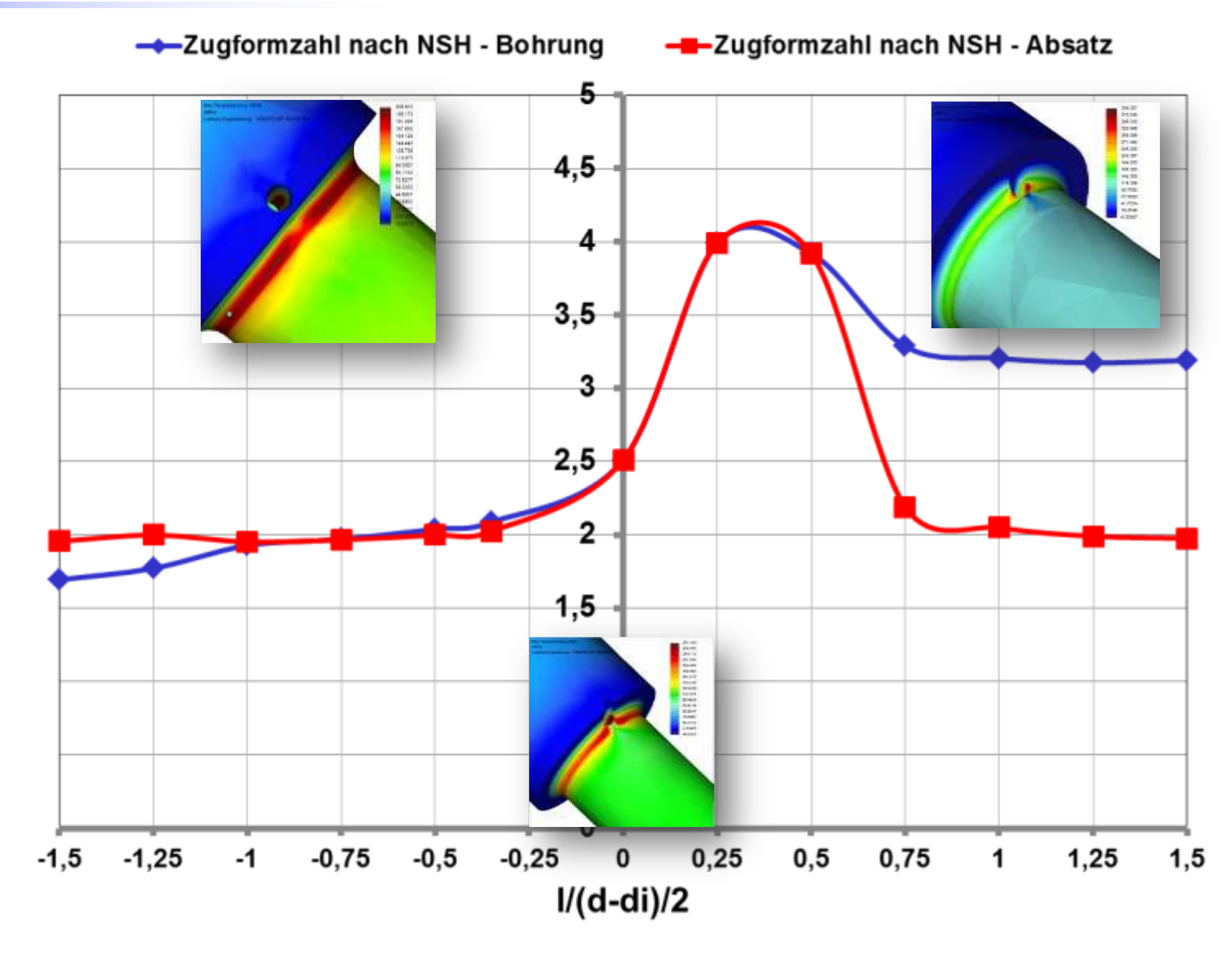
FE-Programm: Simulate

Ad. Einschritt-Konvergenz PR 4

Elementgröße 0,5 mm

Bezugsdurchmesser d

Nennspannung = 100 N/mm²





Kerbüberlagerung "Absatz mit Querbohrung" bei Biegebelastung

Absatzgeometrie:

D = 30 mm

d/D = 0,667

Absatzradius: r = 2,5 mm

Bohrungsdurchmesser: $d_B = 2,5$

mm

 $d_B/d = 0,125$

r/t = 0.5

 $(d-d_i)/2 = 5$

I = Abstand Bohrungsmittelpunkt zu Wellenbund

di = Innendurchmesser

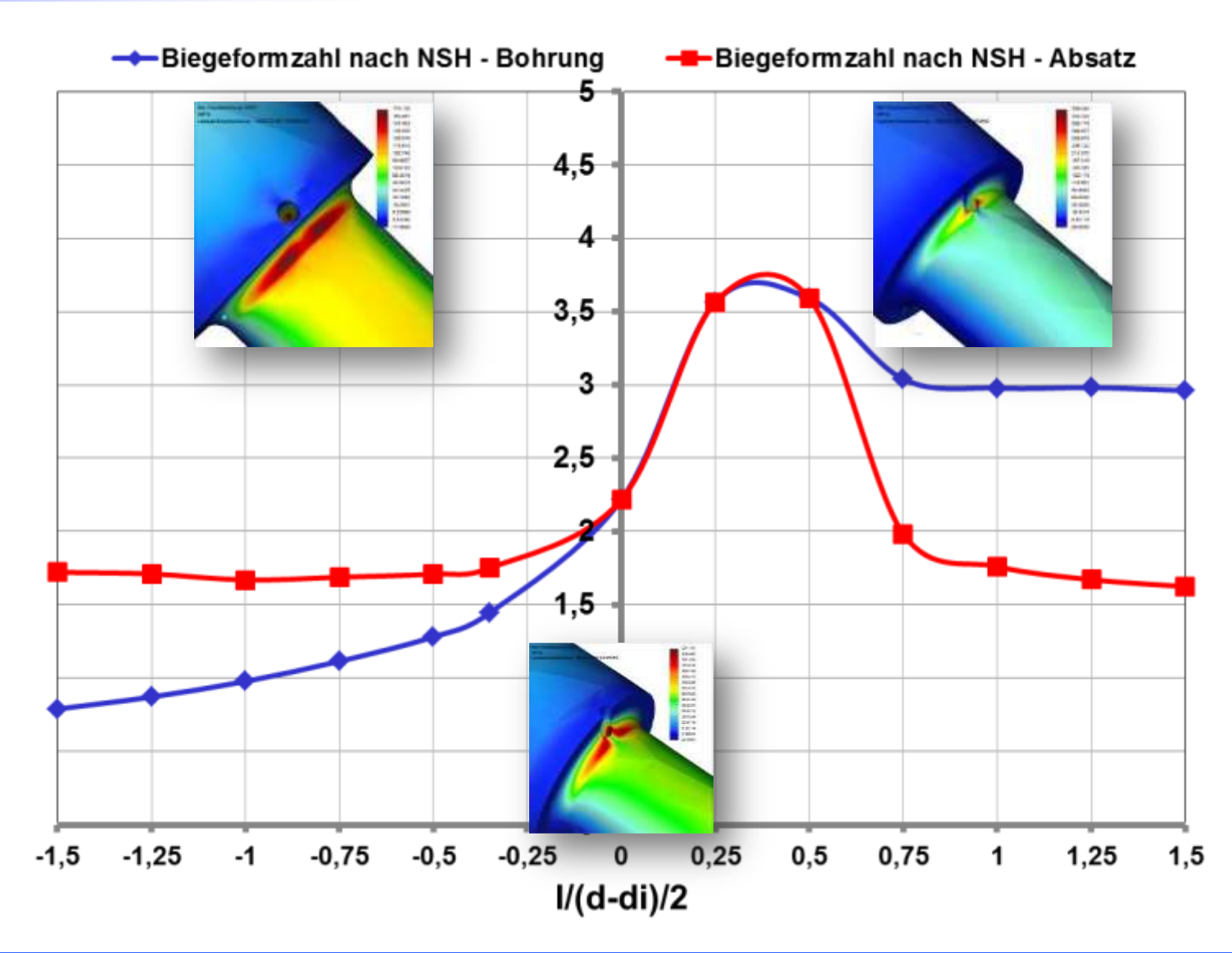
FE-Programm: Simulate

Ad. Einschritt-Konvergenz PR 4

Elementgröße 0,5 mm

Bezugsdurchmesser d

Nennspannung = 100 N/mm²





Entlastungsnuten

Untersuchungen zur Milderung von Kerbwirkungen durch konstruktive Entlastungskerben an:

- Vollwellen mit Absatz bei Zug-, Biege- und Torsionsbelastung
- Kerbzahnwellen nach DIN 5481 bei Zug-, Biege- und Torsionsbelastung
 - Geometrische Größen
 - Einfluss von Entlastungsnuten auf die Biege-Formzahl
 - Einfluss von Entlastungsnuten auf die Zug-Formzahl
 - Einfluss von Entlastungsnuten auf die Torsion-Formzahl
 - Ergebnis-Kurzfassung zum Einfluss der Entlastungsnut



Prof. Dr.-Ing. Ali Daryusi

Milderung von Kerbwirkungen durch konstruktive Entlastungskerben

- Zur Minderung der höheren Kerbspannungen in den Querschnittsübergängen ist es im Allgemeinen üblich, möglichst sanfte Übergangsausrundungen für die konstruktivbedingten Kerben zu verwenden.
- Auf Grund baulicher Notwendigkeiten und genormter Bauteile sind solch große Abrundungsradien nur in den seltensten Fällen realisierbar.
- Eine weitere Möglichkeit zur Herabsetzung der Kerbwirkung an der kritischen Kerbstelle besteht in der <u>absichtlichen Anwendung von Zusatzkerben</u>, welche der Hauptkerbe benachbart sind.
- <u>Derartige Entlastungskerben</u> können zwar eine bedeutende Spannungsverminderung an der gefährdeten Stelle ergeben, an den Entlastungskerben entstehen jedoch neue Spannungsspitzen, die sich u. U. ungünstig auswirken.

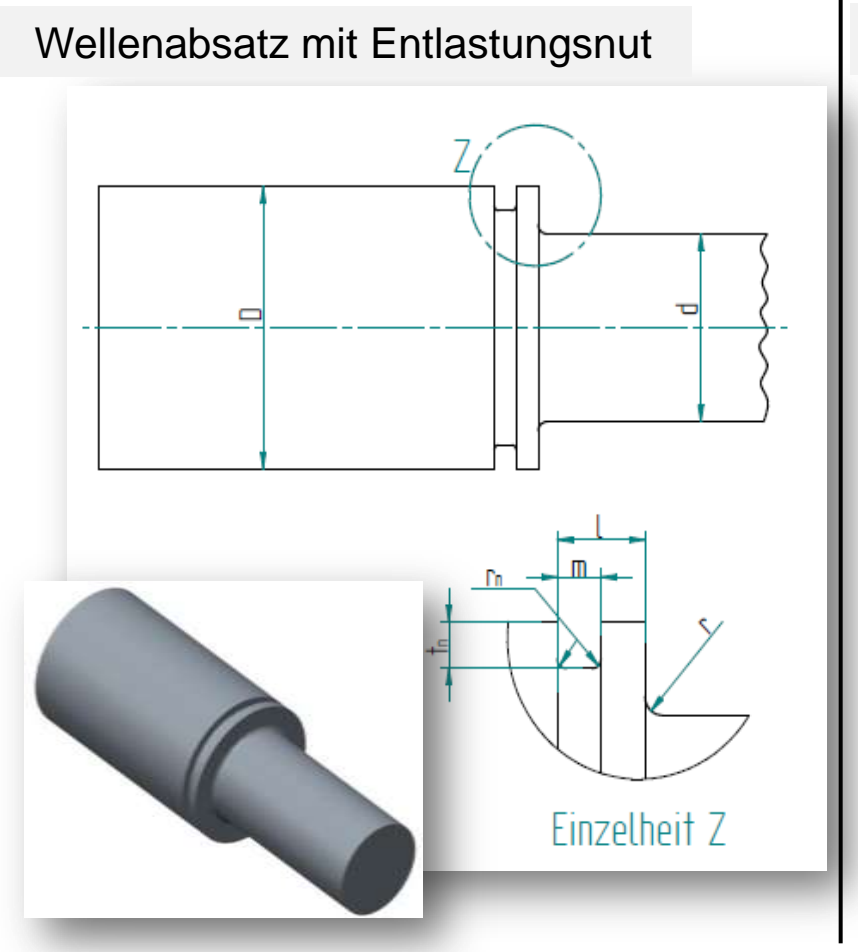
Für eine gezielte Entlastung müssen dabei folgende Voraussetzungen nach *Judt* gegeben sein:

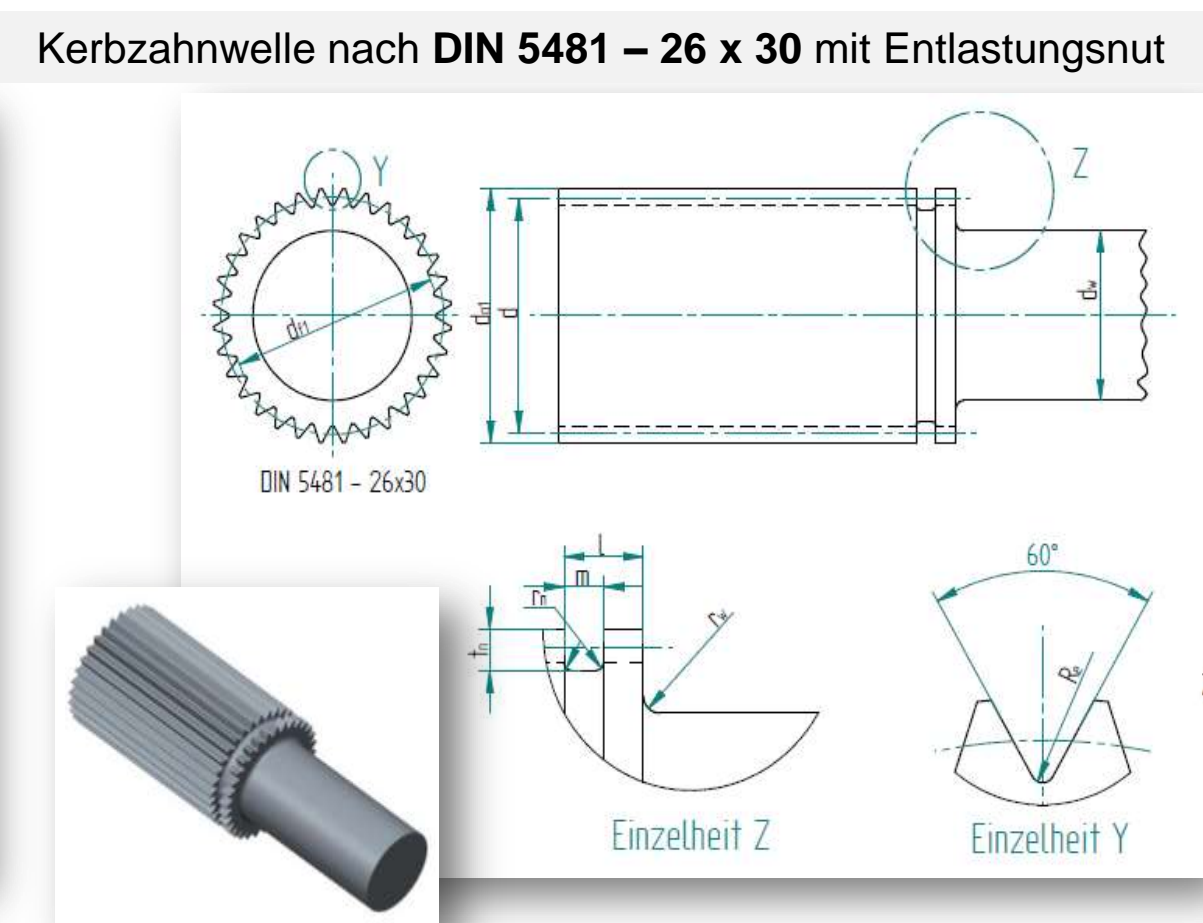
- Entlastungskerbe muss möglichst nahe an Hauptkerbe legen
- Entlastungskerbe muss im Gebiet niedriger Spannungen platziert werden
- Optimale Wirkung ist erreicht, wenn die Spannungsspitzen in beiden Kerben gleich sind.



Entlastungsnuten an abgesetzten Wellen und Profilwellen

Geometrische Größen an Wellenabsatz und Kerbzahnwelle mit Entlastungsnut







Entlastungsnuten an abgesetzten Wellen und Profilwellen

Geometrische Größen an Wellenabsatz und Kerbzahnwelle mit Entlastungsnut

D: Großer Durchmesser

D = 20 mm: Kleiner Durchmesser des Wellenabsatzes

Durchmesserverhältnis: D/d = 1.5

 $r/d = r_n/d = 1/30$; 1/80; 1/200

m/d = 0.1

I/d = 0.2; 0.3; 0.4

 $t_n/d = 0.067$; 0.1333; 0.167; 0.185; 0.200; 0.233; 0.250; 0.500

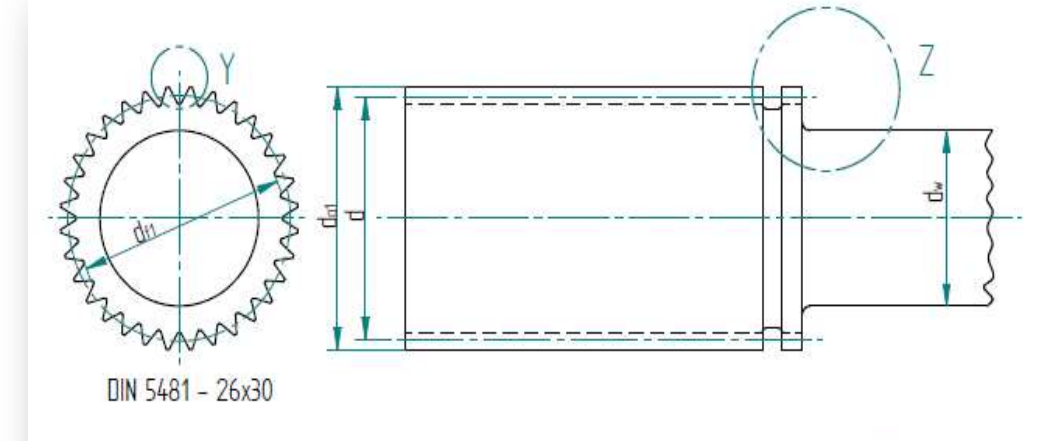
t, t_n: Absatztiefe, Nuttiefe

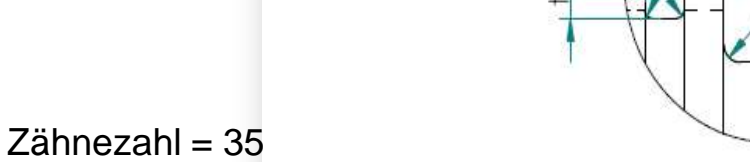
m: Nutbreite

I: Abstand Nutrand-Wellenabsatz

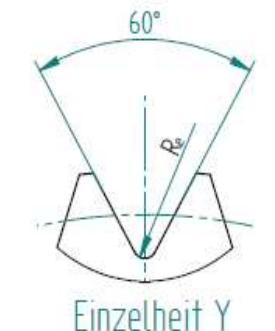
r: Absatzradius

r_n: Nutradius









- Lückenwinkel = 60°
- Fußkreisdurchmesser = 26 mm

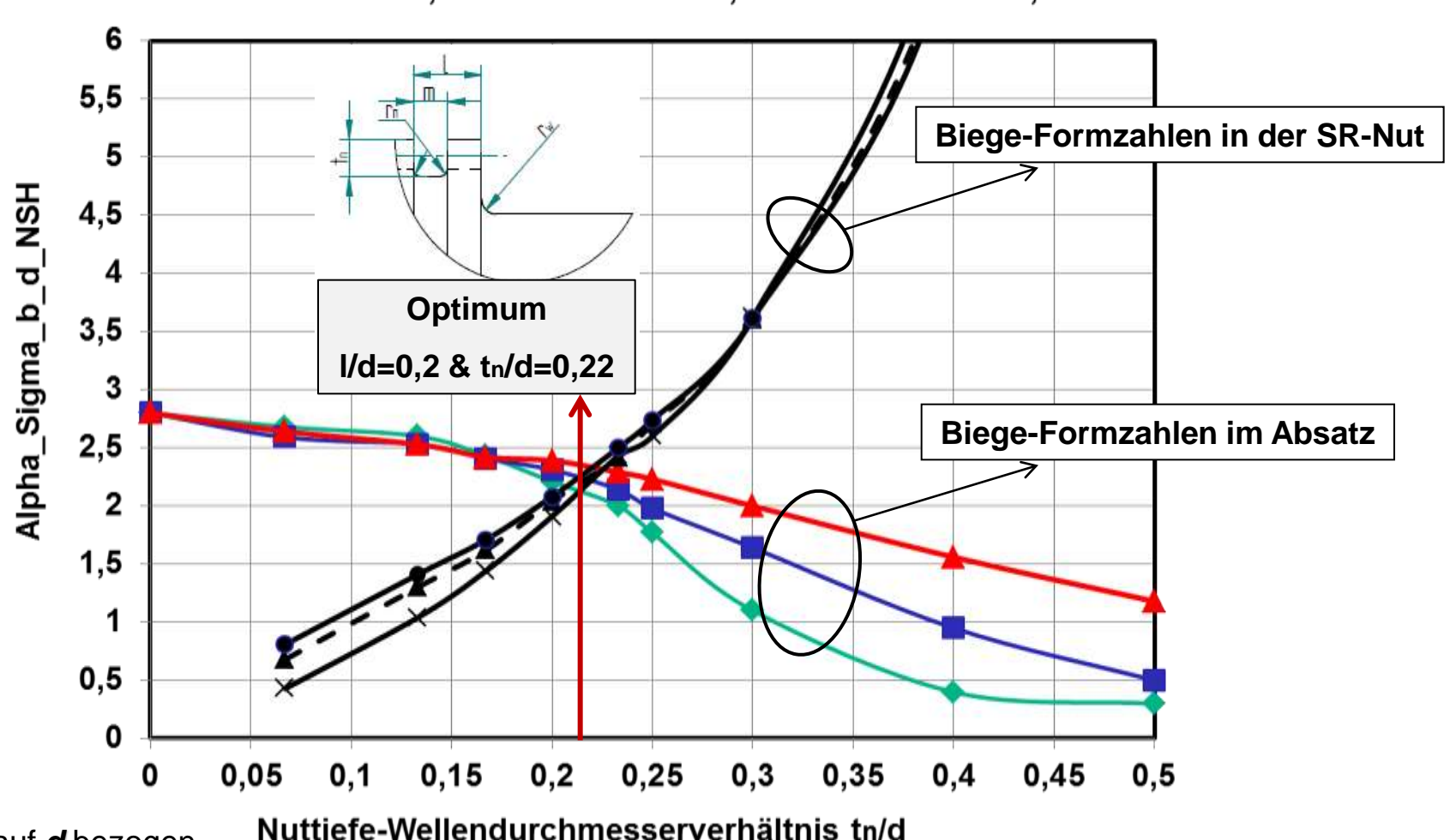
Fußradius: 0,25 mm bis 0,3 mm

- Kopfkreisdurchmesser = 30 mm
- Kleinster Wellendurchmesser = 20 mm



Einfluss von Entlastungsnuten auf die Biege-Formzahl an abgesetzten Wellen und Profilwellen

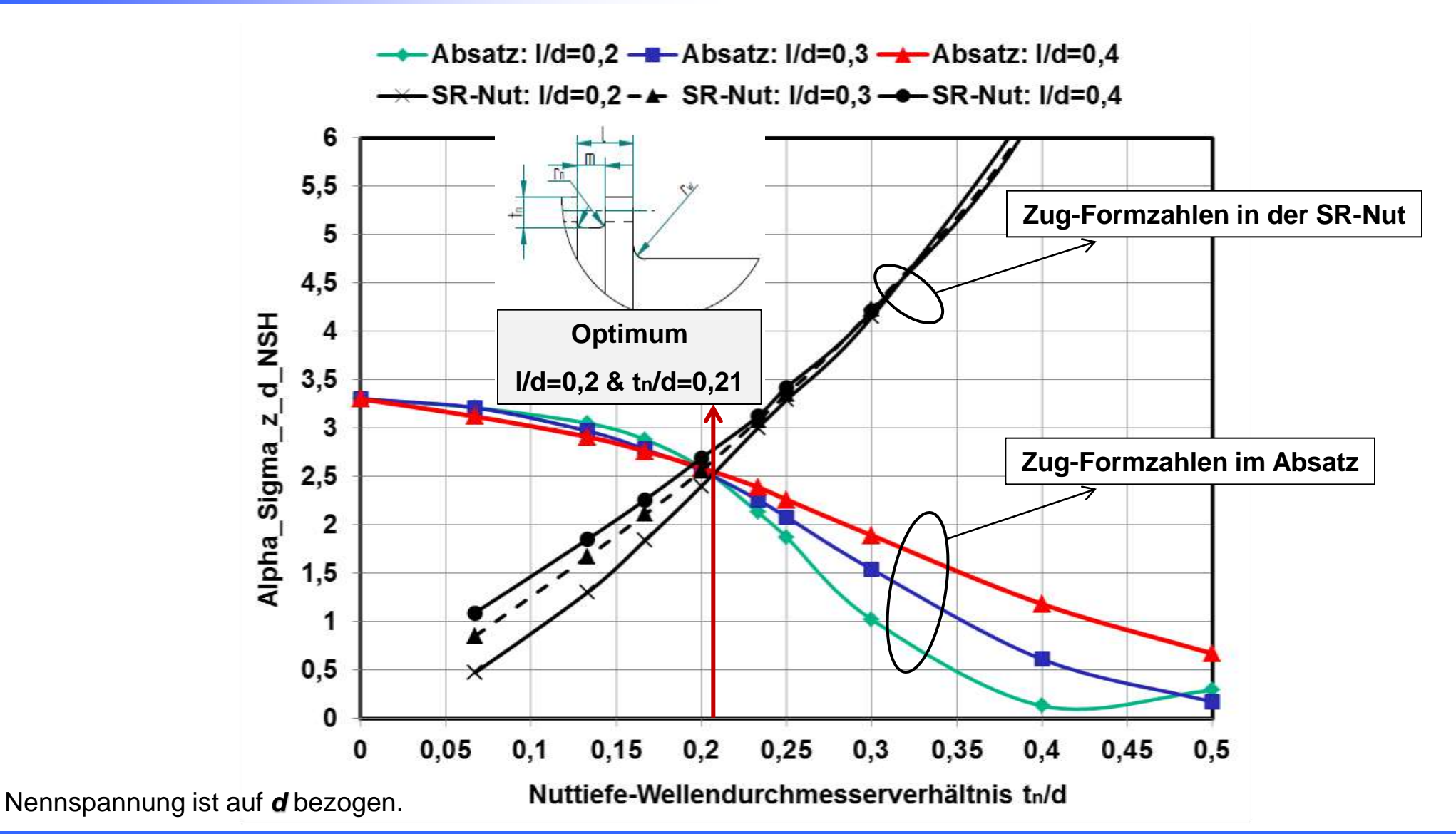
→ Absatz: I/d=0,2 → Absatz: I/d=0,3 → Absatz: I/d=0,4 → SR-Nut: I/d=0,2 → SR-Nut: I/d=0,4



Nennspannung ist auf **d** bezogen.



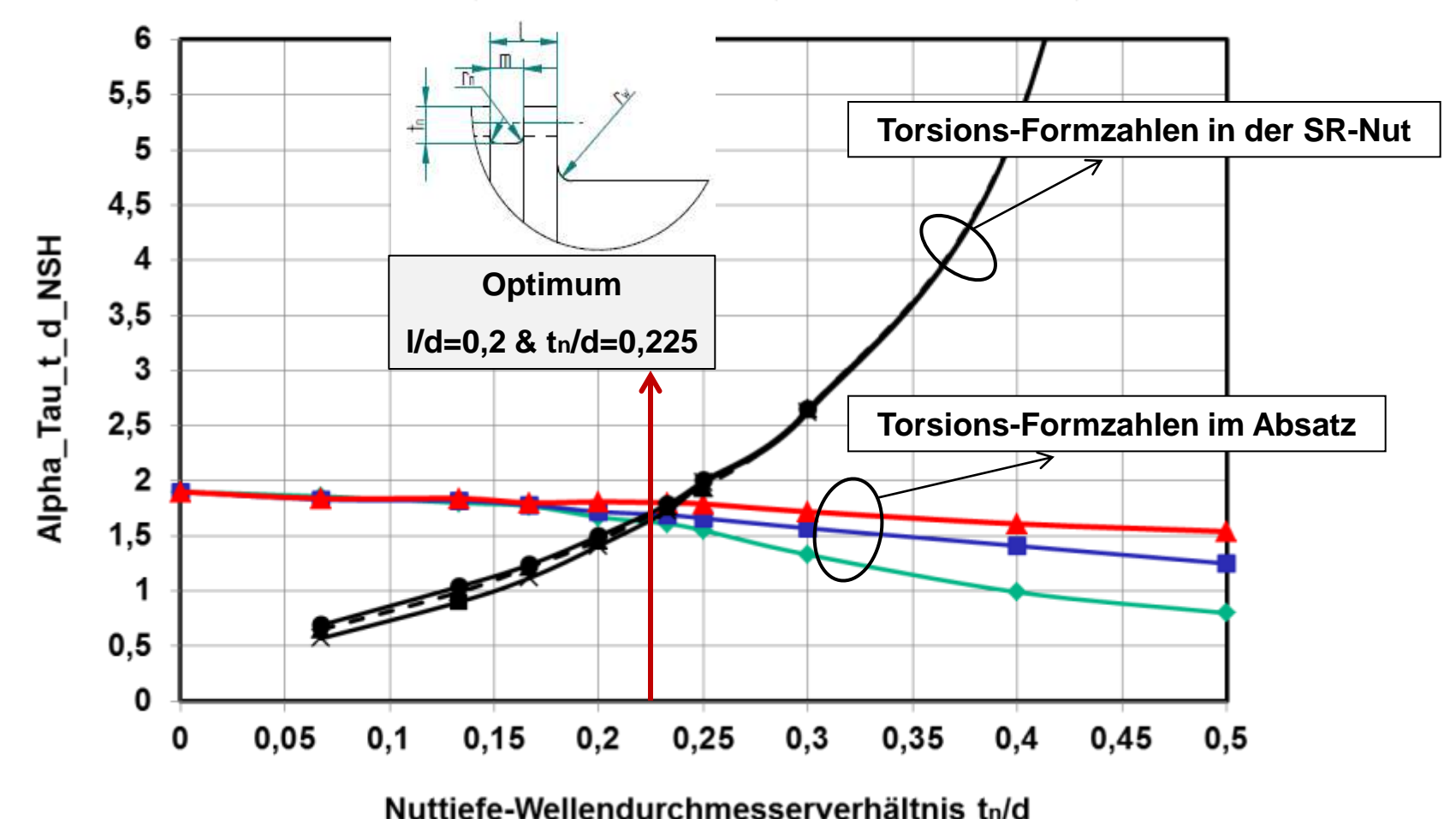
Einfluss von Entlastungsnuten auf die Zug-Formzahl an abgesetzten Wellen und Profilwellen





Einfluss von Entlastungsnuten auf die Torsions-Formzahl an abgesetzten Wellen und Profilwellen

→ Absatz: I/d=0,2 → Absatz: I/d=0,3 → Absatz: I/d=0,4 → SR-Nut: I/d=0,2 → SR-Nut: I/d=0,4



Nennspannung ist auf **d** bezogen.



Ergebnis-Kurzfassung zum Einfluss der Entlastungsnut

- Wenn sich die beiden Formzahlkurven α (Absatz) und α' (Entlastungsnut) schneiden erhält man das optimale Tiefenverhältnis tn/d(opt). In diesem Schnittpunkt ist die Spannung an der Entlastungsnut gleich der am Wellenabsatz.
- Optimum-Geometrieparameter als FEM-Ergebnis:

- bei Biegebelastung: I/d=0,2 und tn/d(opt) ≈0,22

- bei Zugbelastung: I/d=0,2 und tn/d(opt) ≈0,21

- bei Torsionsbelastung: I/d=0,2 und tn/d(opt) ≈0,225

Vergleich mit Literaturwerten nach Grekoussis und Panajotidis:

- bei Biegebelastung: I/d=0,2 und tn/d(opt) ≈0,222

- bei Torsionsbelastung: I/d=0,2 und tn/d(opt) ≈0,22

- bei Zugbelastung: l/d=0,2 und tn/d(opt) ≈0,213

➤ Die ermittelten Ergebnisse gelten sowohl bei der Berechnung nach *Ansys Workbench* als auch bei der Berechnung mit *Creo Simulate*

390

- > Die Ergebnisse haben ihre Gültigkeit sowohl für den Wellenabsatz als auch für die Kerbzahnwelle.
- ➤ Mit der Optimierung der rechteckigen Querschnittsform der untersuchten Entlastungsnut sind weitere für die Praxis interessante Ergebnisse zu erwarten.



Quelle: Grekoussis, R.; Panajotidis, K.: Entlastungsnuten

am Wellenabsatz. Konstruktion 35(1983) H. 10, S. 387-

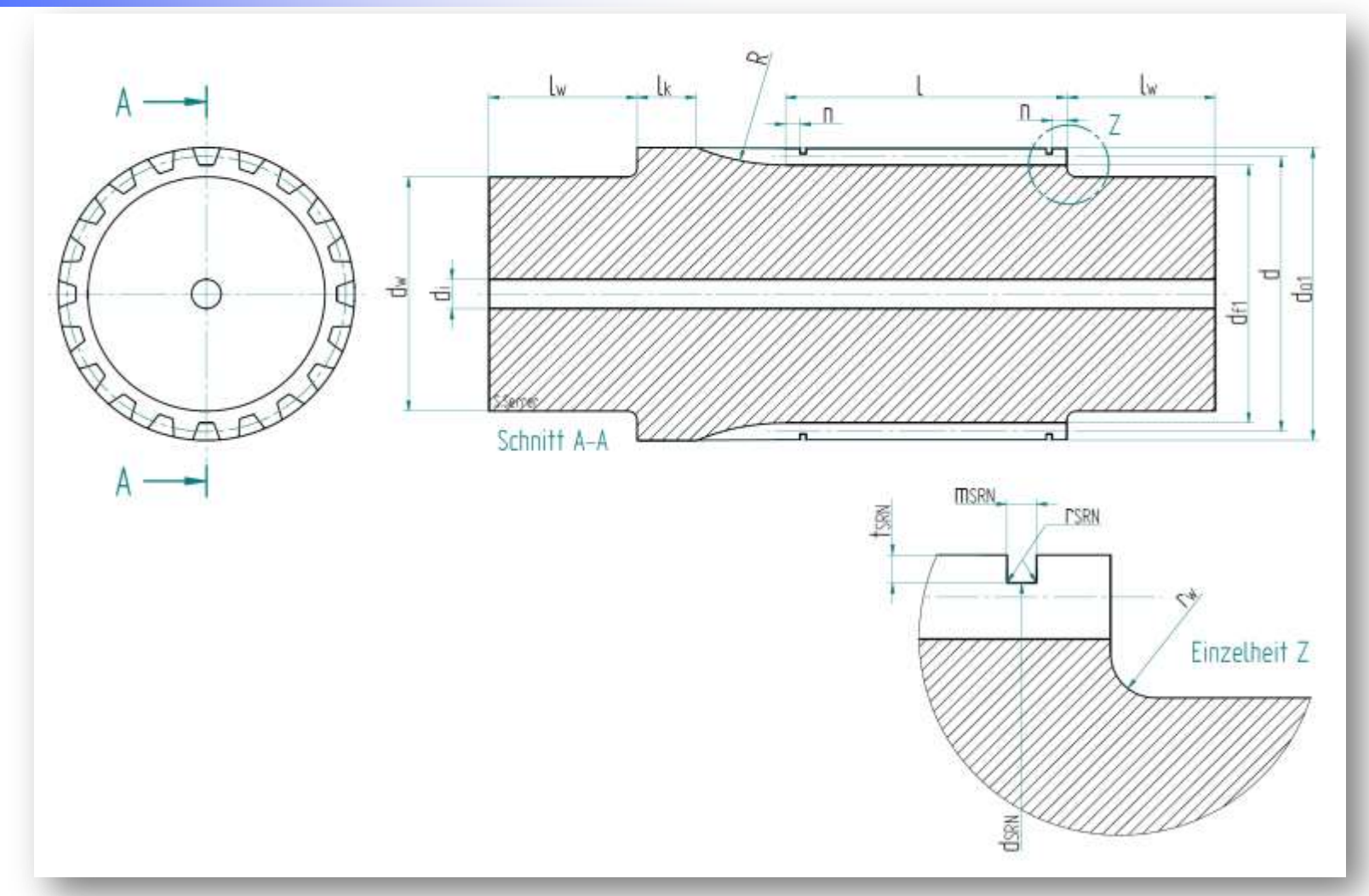
Zahnwellenverbindungen nach DIN 5480

Untersuchungen zur Kerbwirkungen an:

- > Evolventen-Zahnwellenverbindungen nach DIN 5480:
 - mit freiem Auslauf und Sicherungsringnut nach DIN 471
 - mit gebundenem Auslauf und Sicherungsringnut nach DIN 471
 - Geometrische Größen
 - CAD-Modellierung
 - Modellbildung (Randbedingungen + Krafteinleitung + Vernetzung)
 - Darstellung der Vergleichsspannungsverteilung
 - Darstellung der Formzahlergebnisse bei Torsion
 - Formzahlvergleich mit Heinrich



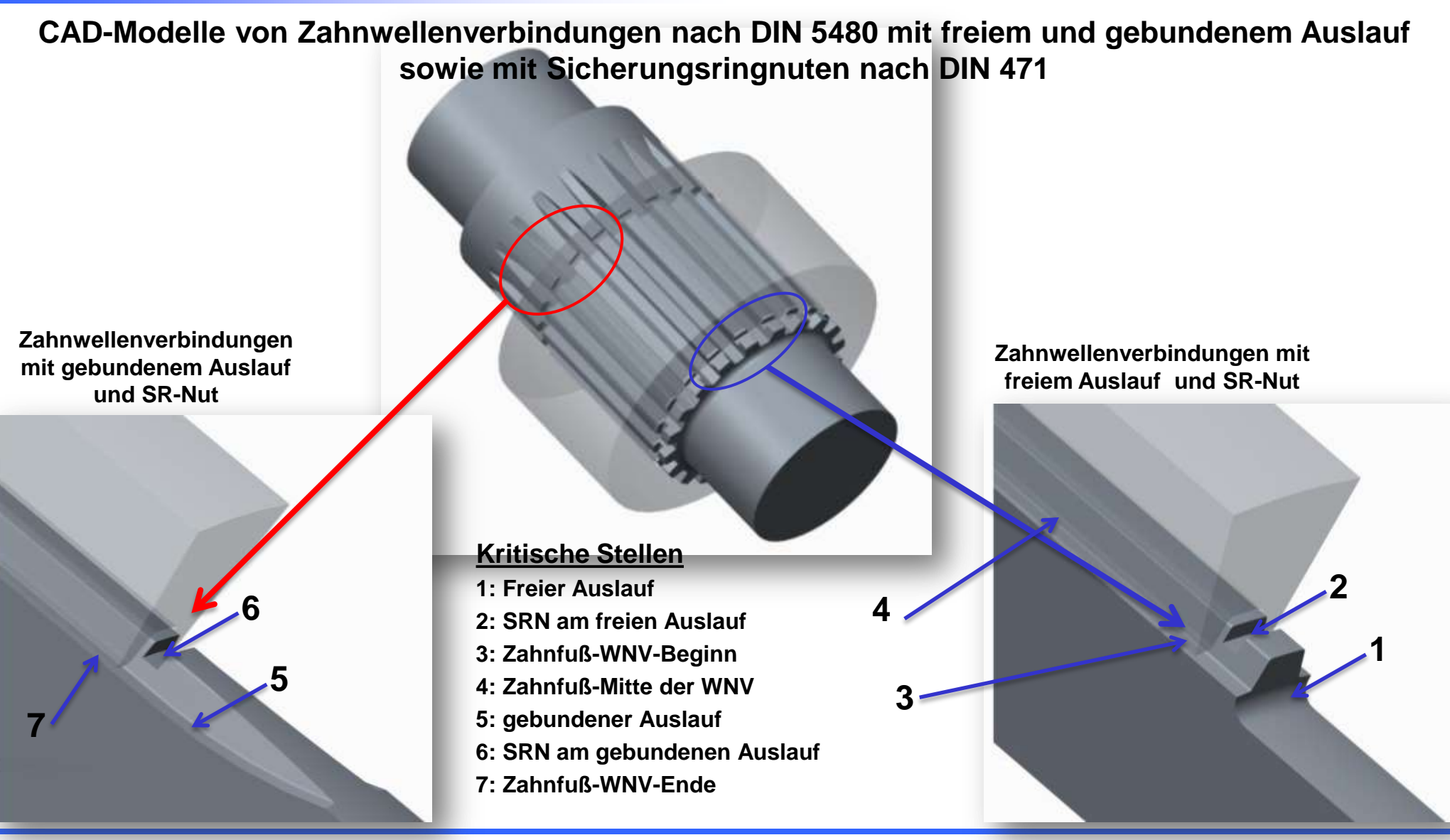
Geometrische Bezeichnungen der untersuchten Zahnwellen



Geometrische Bezeichnungen der Zahnwelle nach DIN 5480 mit freiem Auslauf (auf der rechten Seite) und gebundenem Auslauf (auf der linken Seite) sowie auch mit Sicherungsringnuten nach DIN 471



CAD-Modellierung von Evolventen-Zahnwellenverbindungen nach DIN 5480



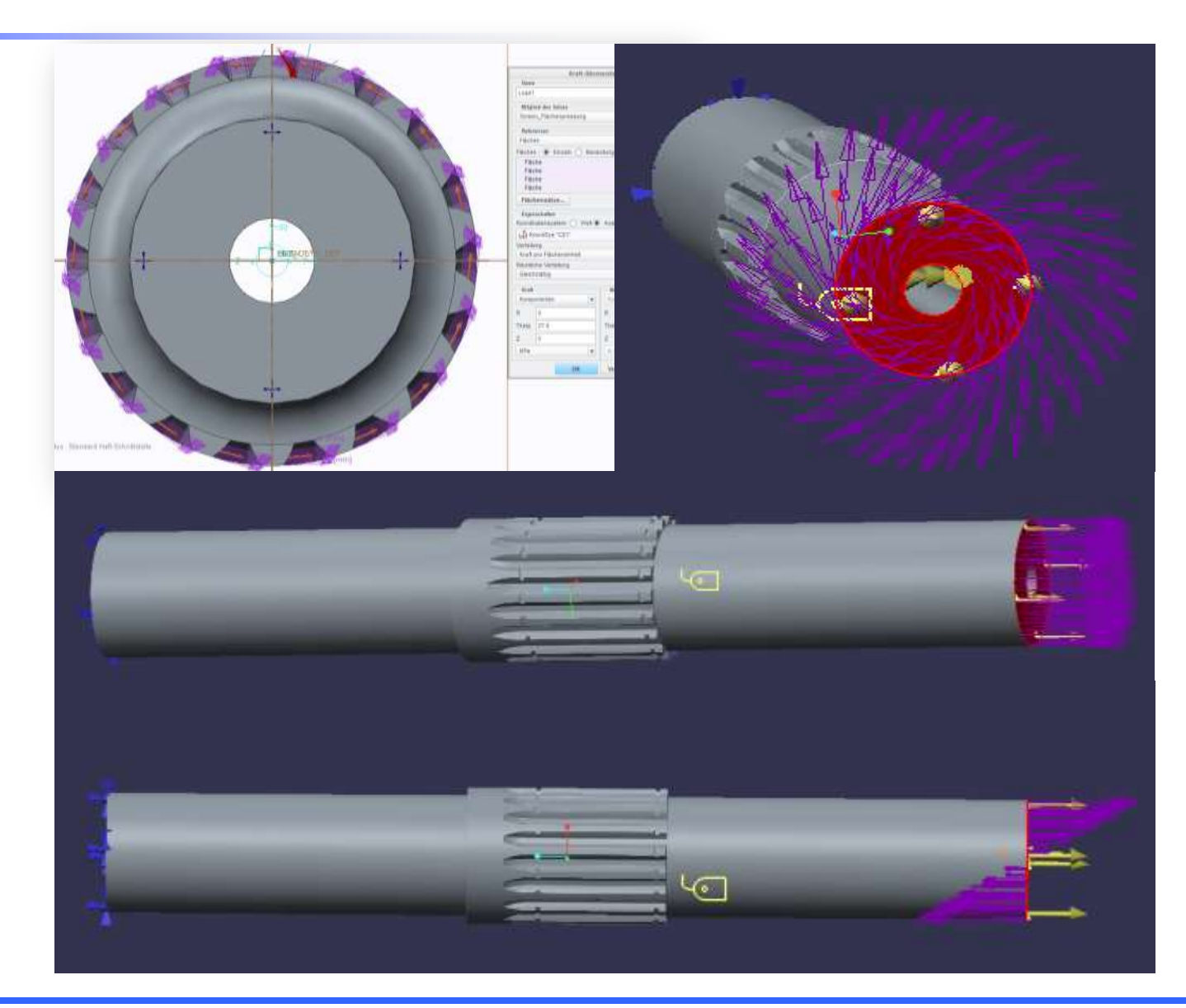


Randbedingungen

Torsion

Zug/Druck

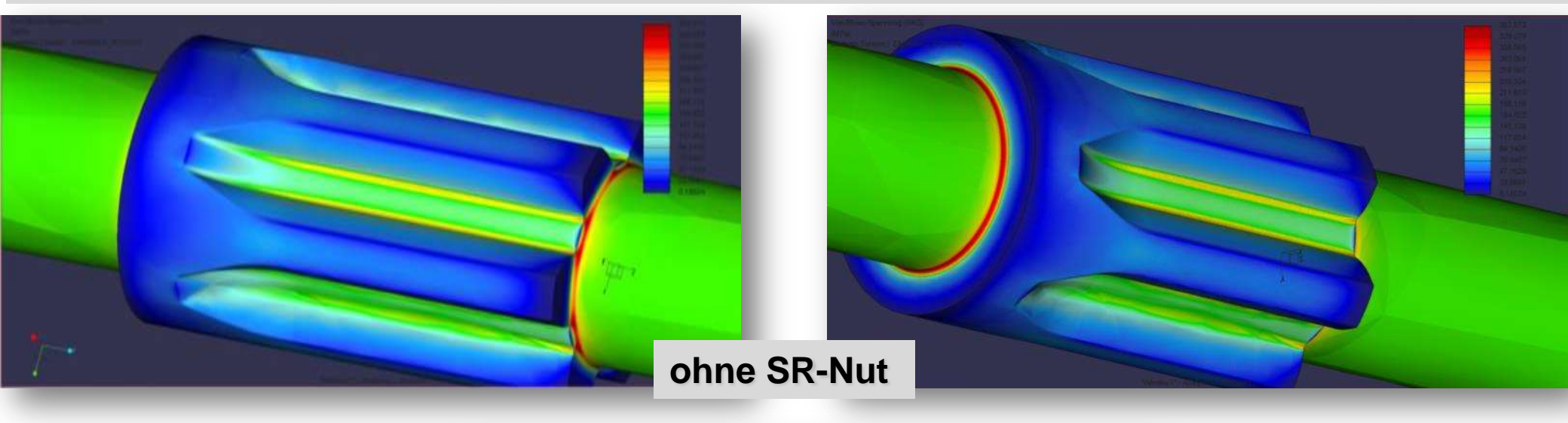
Biegung

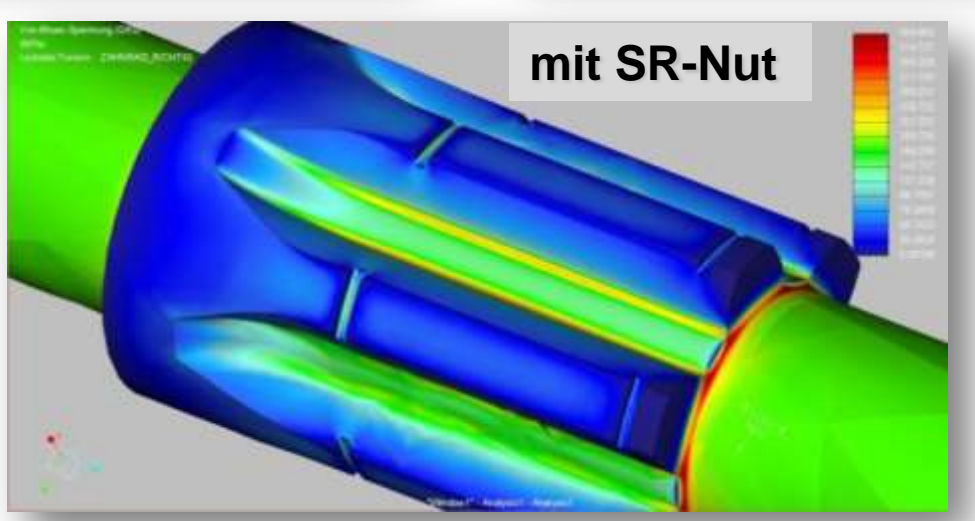




Vergleichsspannungsverteilung an Zahnwellen nach DIN 5480

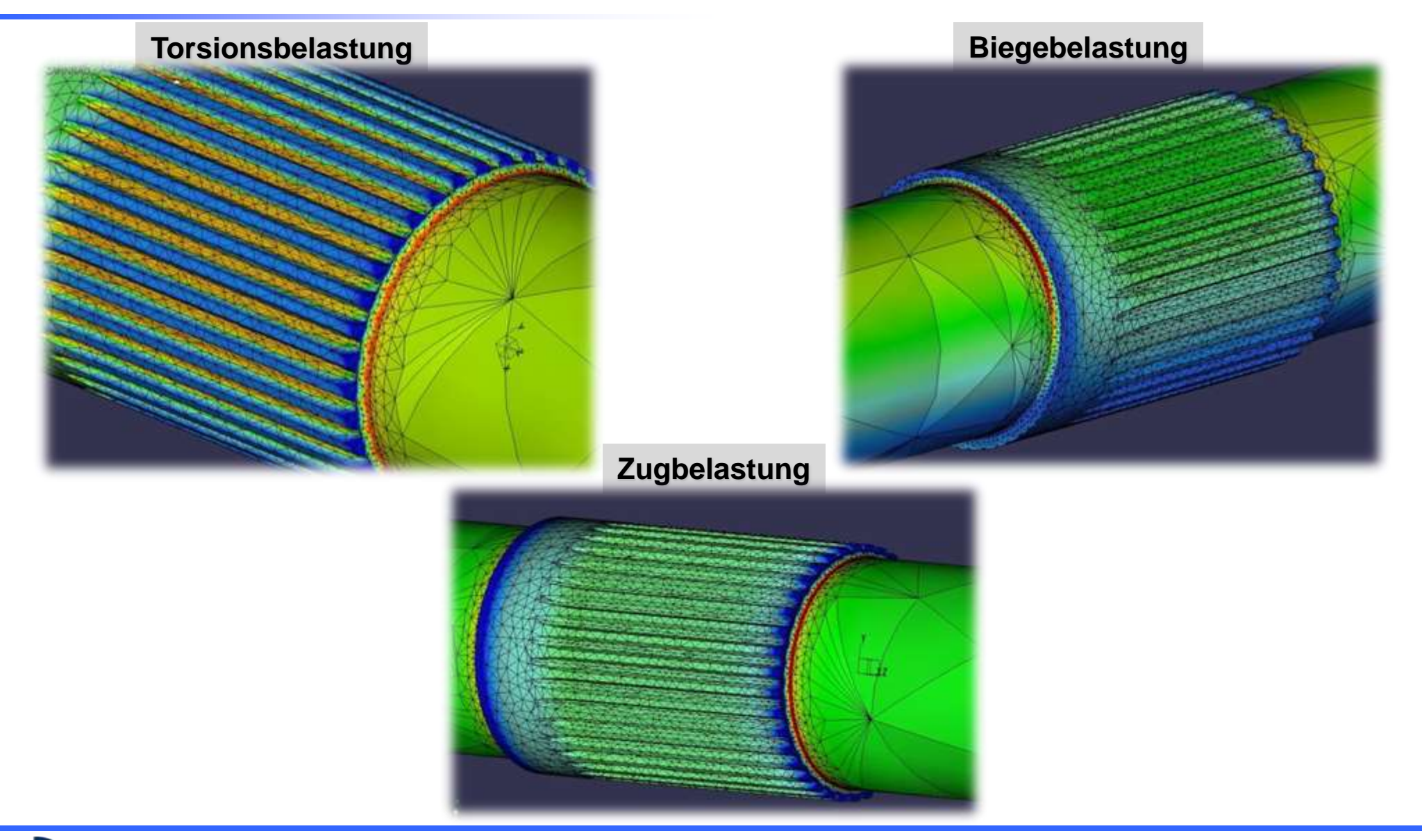
Vergleichsspannungsverteilung an der Zahnwelle DIN 5480 15x2x6 bei Torsionsbelastung nach GEH





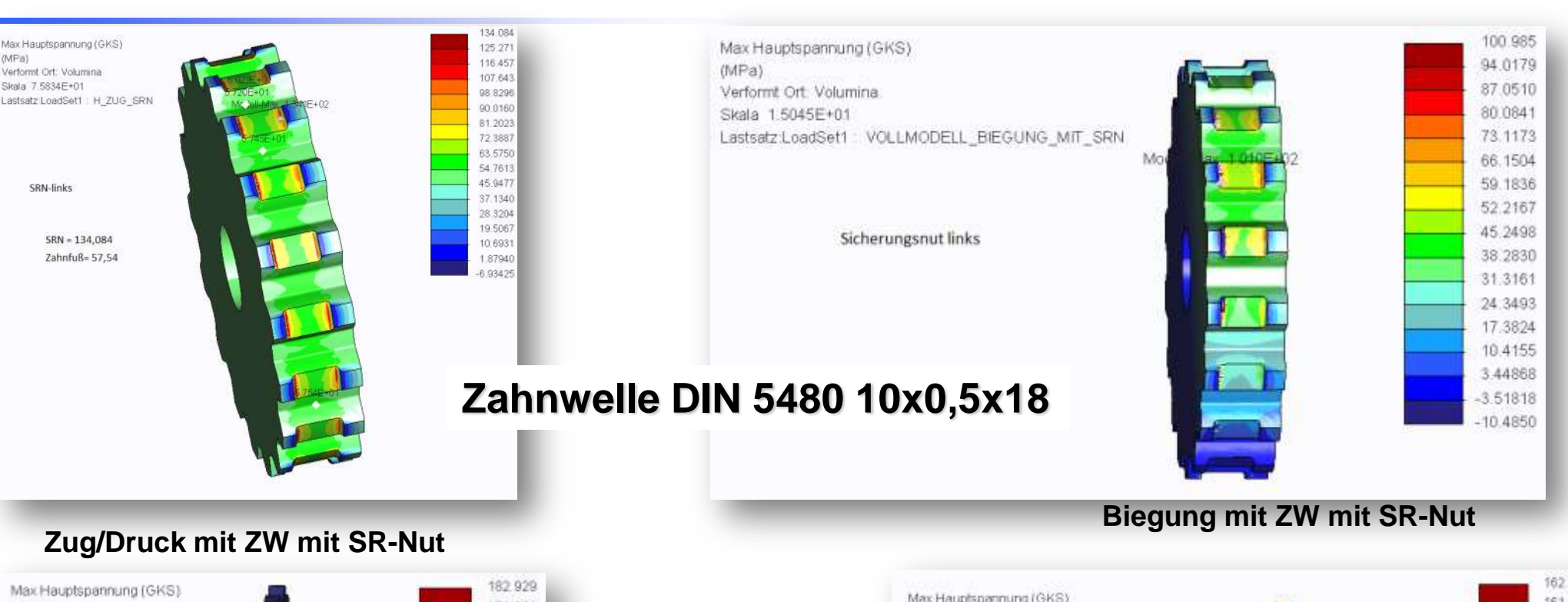


Vergleichsspannungsverteilung an Zahnwellen nach DIN 5480





Vergleichsspannungsverteilung an Zahnwellen mit SR-Nut





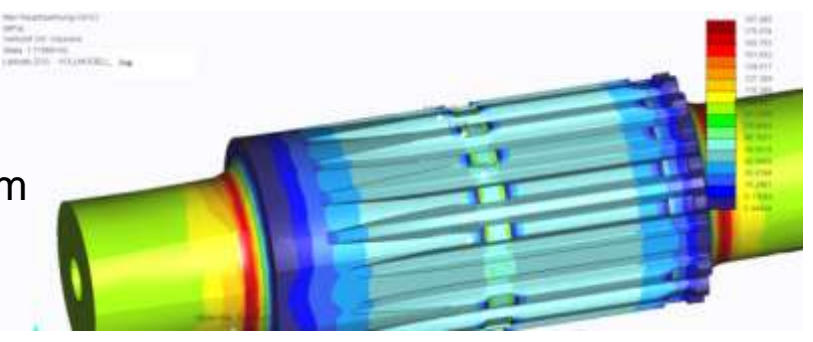
Formzahlergebnisse für die Zahnwelle DIN 5480 10x0,5x18 mit SR-Nut

Zug/Druck

 α_{col} _dsrn_srN = 2,60 (in der SR-Nut) bezogen auf dSRN = 9,6 mm

 $\alpha_{ccd_d_{hl_Fuß}} = 1,22$ (im Zahnfußbereich) bezogen auf dh1 = 10 mm

 α_{cd} = 1,83 (im freien Auslauf) bezogen auf dw = 6,9 mm



Biegung

 $\alpha_{ds_{-dsrn_SRN}} = 2,72$ (in der SR-Nut) bezogen auf dSRN = 9,6 mm

 $\alpha_{ob_d_{Al}_Fuß} = 1,25$ (im Zahnfußbereich) bezogen auf dh1 = 10 mm

 $\alpha_{de} = 1,63$ (im freien Auslauf) bezogen auf dw = 6,9 mm

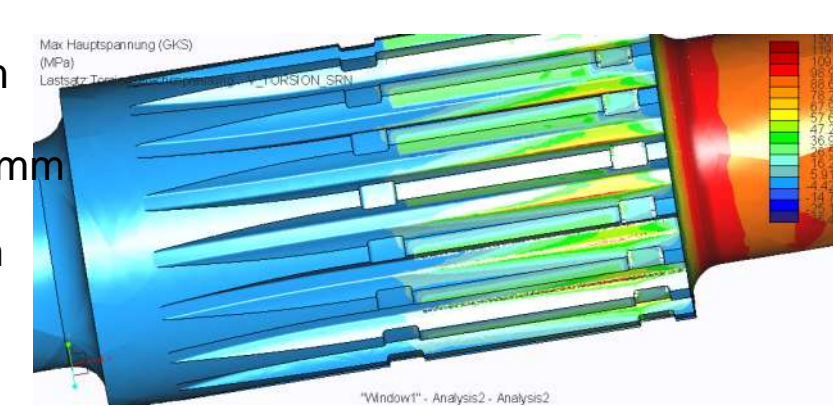


Torsion

 $\alpha_{\pi_{-}\text{dsrn_SRN}} = 1,54$ (in der SR-Nut) bezogen auf dSRN = 9,6 mm

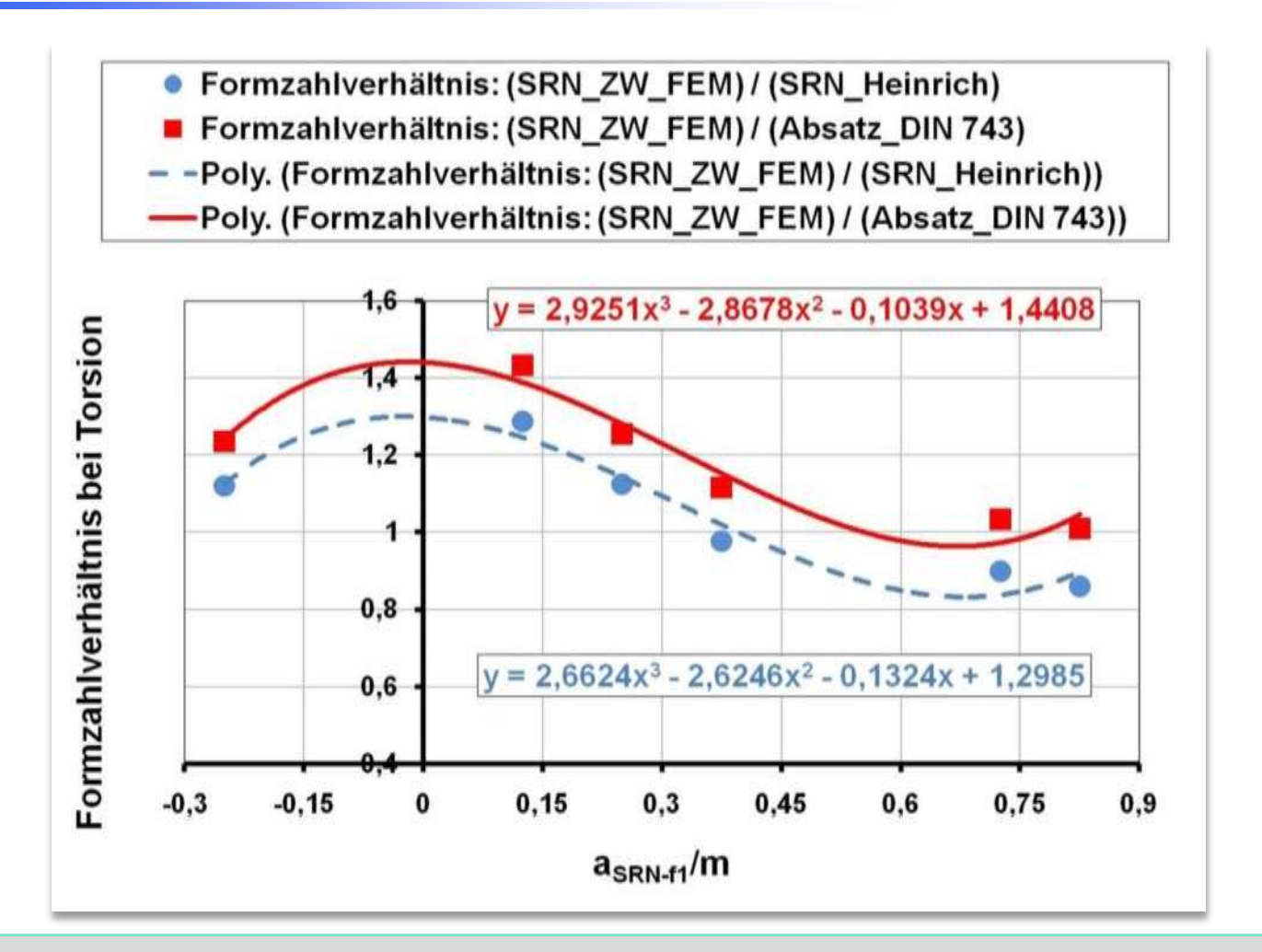
 $\alpha_{a_{-}d_{h1}}$ = 2,98 (im Zahnfußbereich) bezogen auf dh1 = 10 mm

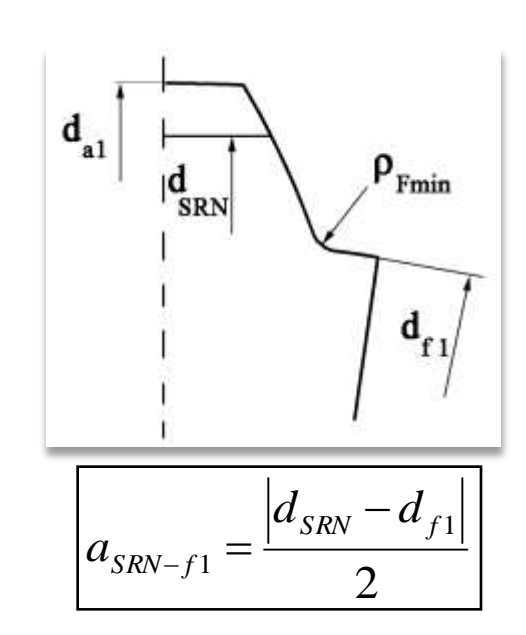
 $\alpha_{\text{m}} = 1,30$ (im freien Auslauf) bezogen auf dw = 6,9 mm





Formzahlverhältnisdarstellung bei Torsion

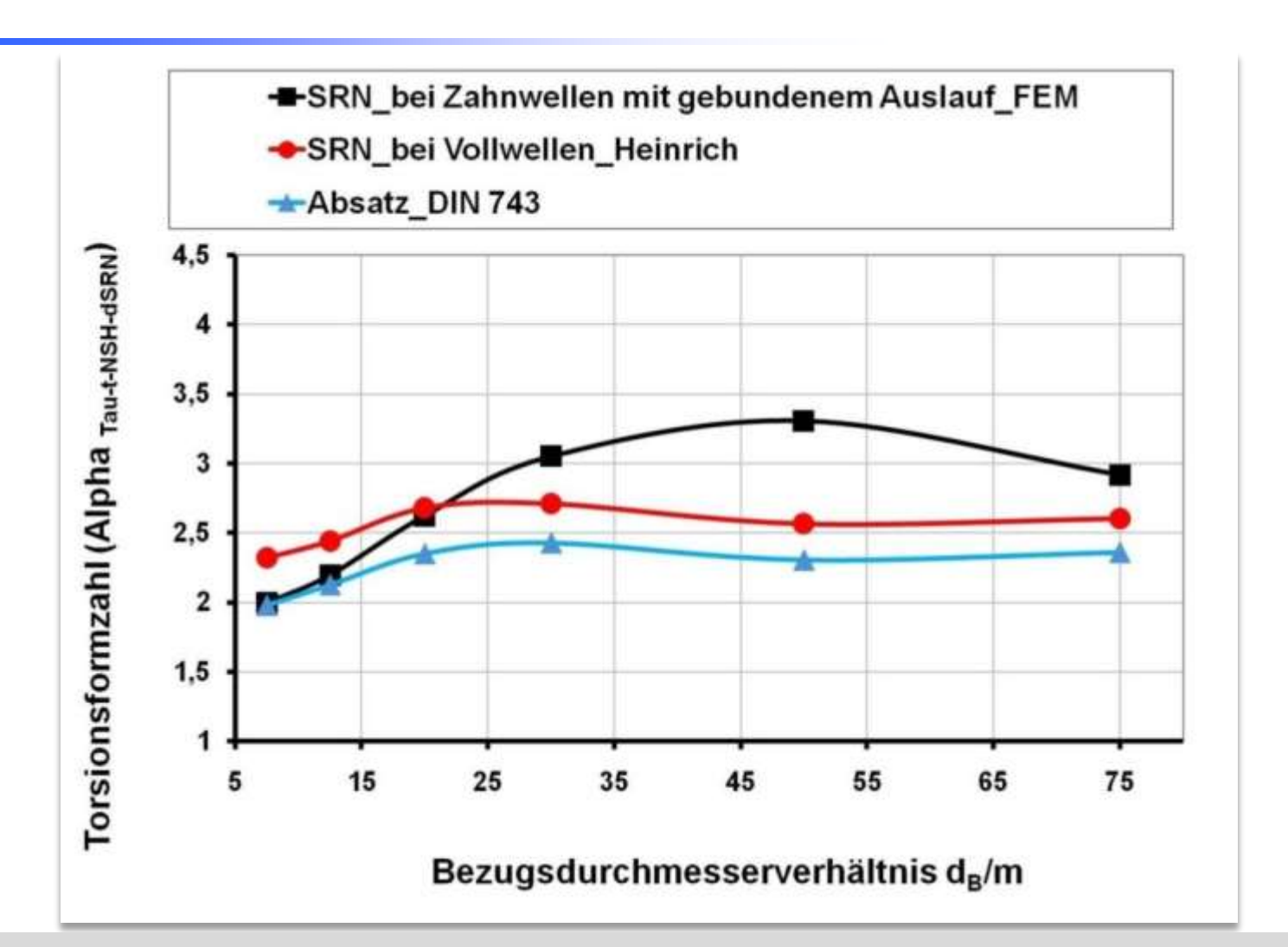


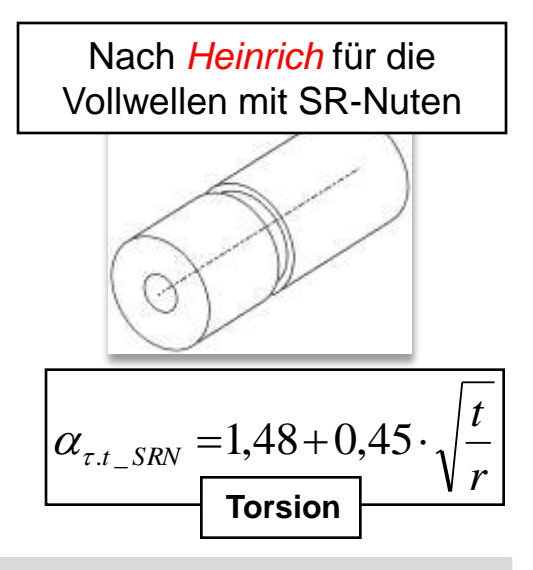


Darstellung des Verlaufs der Formzahlverhältnisse an den SR-Nuten in Zahnwellen über dem Verhältnis a_{SRN-f1}/m; Nennspannung ist auf den d_{SRN} bezogen.



Vergleich der Torsionsformzahlen





Vergleich der mit FEM- ermittelten Torsionsformzahlen an SR-Nuten bei Zahnwellen mit denen für die SR-Nuten bei Vollwellen nach Heinrich sowie für den äquivalenten Absatz nach DIN 743



Kerbspannungen an Planetenträger

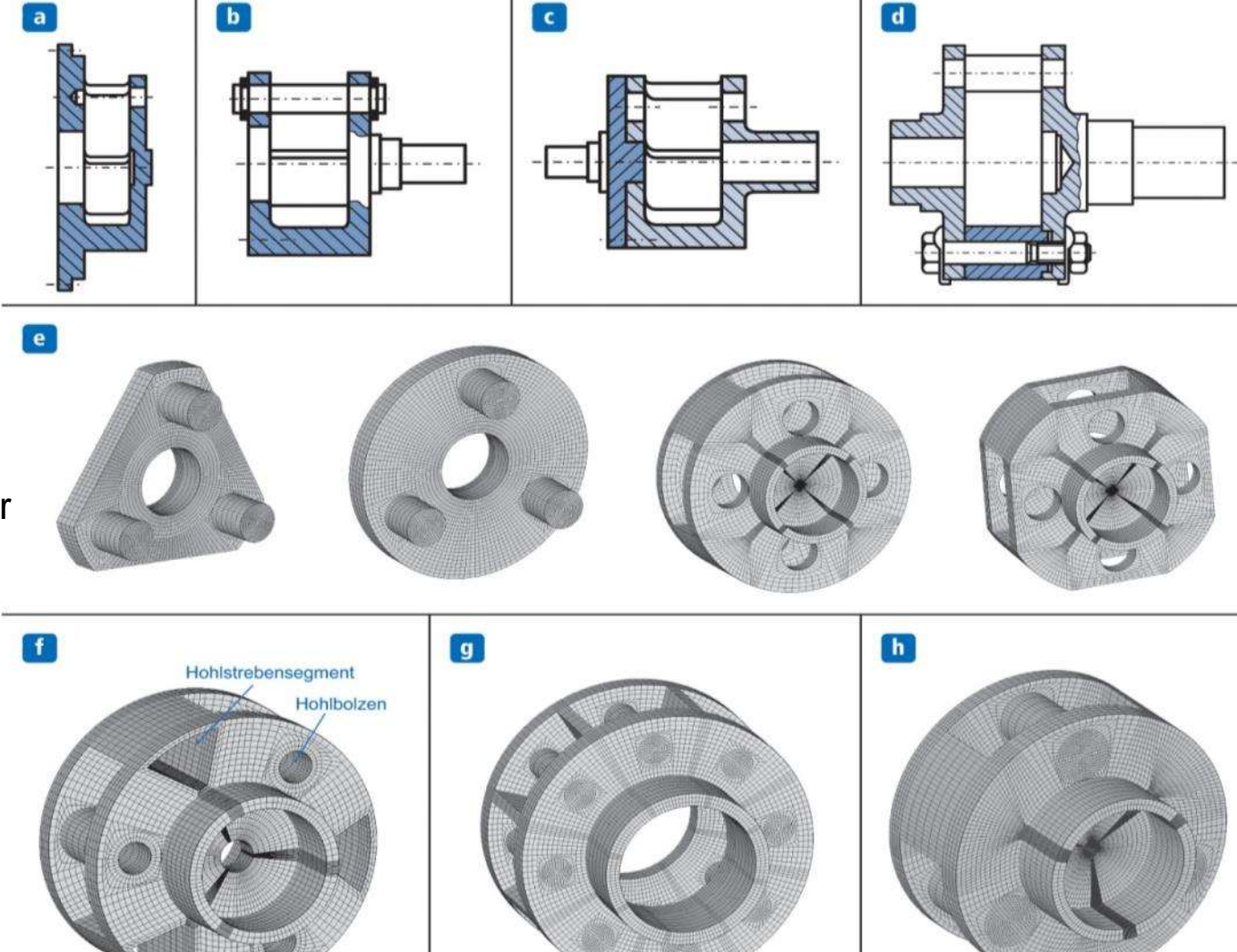
Untersuchungen zu den Spannungsüberhöhungen an Planetenträger für Wind-Getriebe

- Grober Entwurf eines Planetenträgers
- CAD-Modellierung
- Randbedingungen Planetenträgermodell Variante A
- Randbedingungen Planetenträgermodell Variante B
- Berechnung mit Simulate bei Torsionsbelastung
- > Berechnung mit Ansys Workbench bei Torsionsbelastung
- Ort der Spannungsmaxima
- Ergebnisvergleich "Creo Simulate/AnsysWorkbench"
- Sicherheitsberechnung



Beispiele für die Gestaltung des Umlaufträgers (Steges)

- a) feststehend;
- b) mit angegossener Welle;
- c) geteilt;
- d) geteilt;
- e) drei- und vierachsig;
- f) dreiachsig mit Hohlbolzen;
- g) achtachsig;
- h) dreiachsig mit abgeschossener Hohlwelle



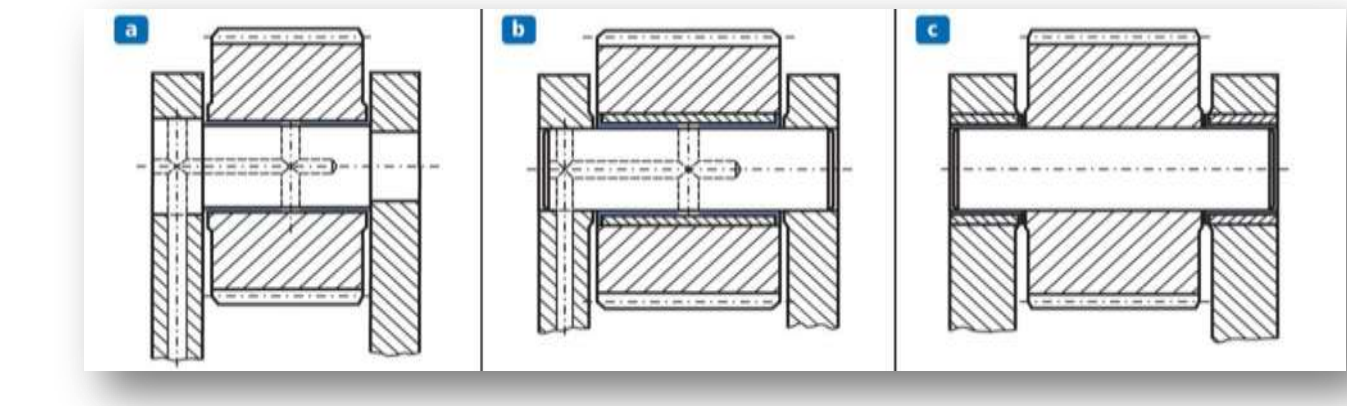
Quelle: B. Schlecht IMM TU Dresden

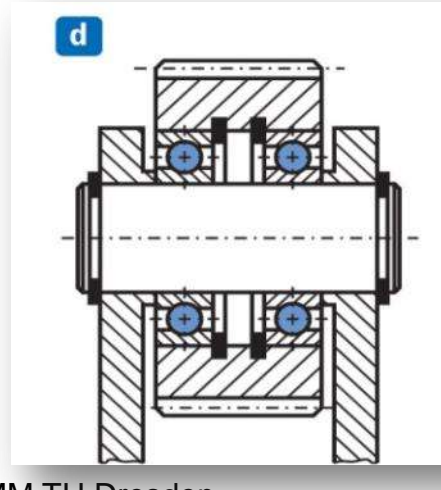
Lehrbuch Maschinenelemente

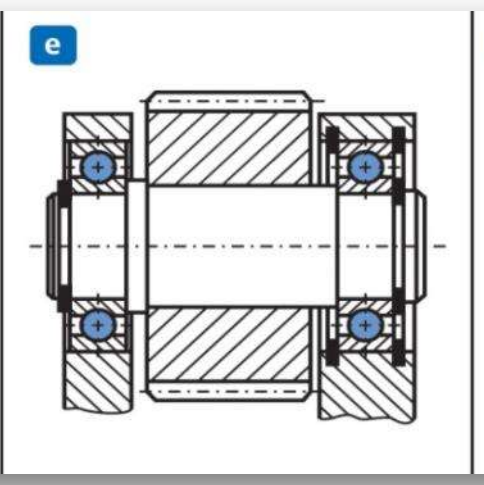


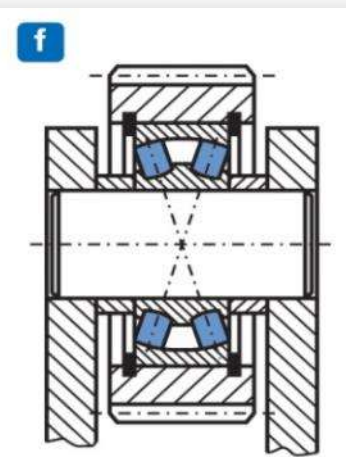
Ausführungsmöglichkeiten der Planetenradlagerung

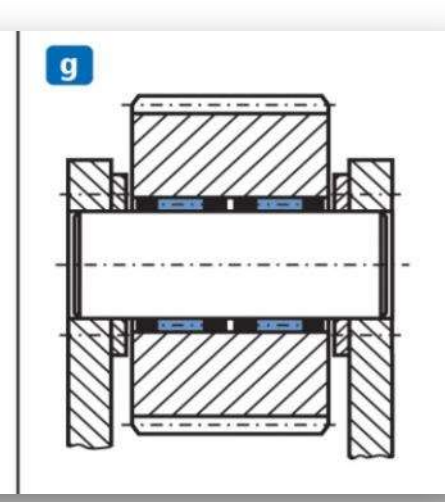
- a) Lagermetall auf Bolzen,
- b) Buchsenlagerung im Rad,
- c) Buchsenlagerung im Steg,
- d) Lagerung im Planetenrad,
- e) Lagerung im Planetenträger,
- f) Lagerung mit Pendelrollenlagern,
- g) Nadellagerung ohne Käfige











Quelle: B. Schlecht IMM TU Dresden

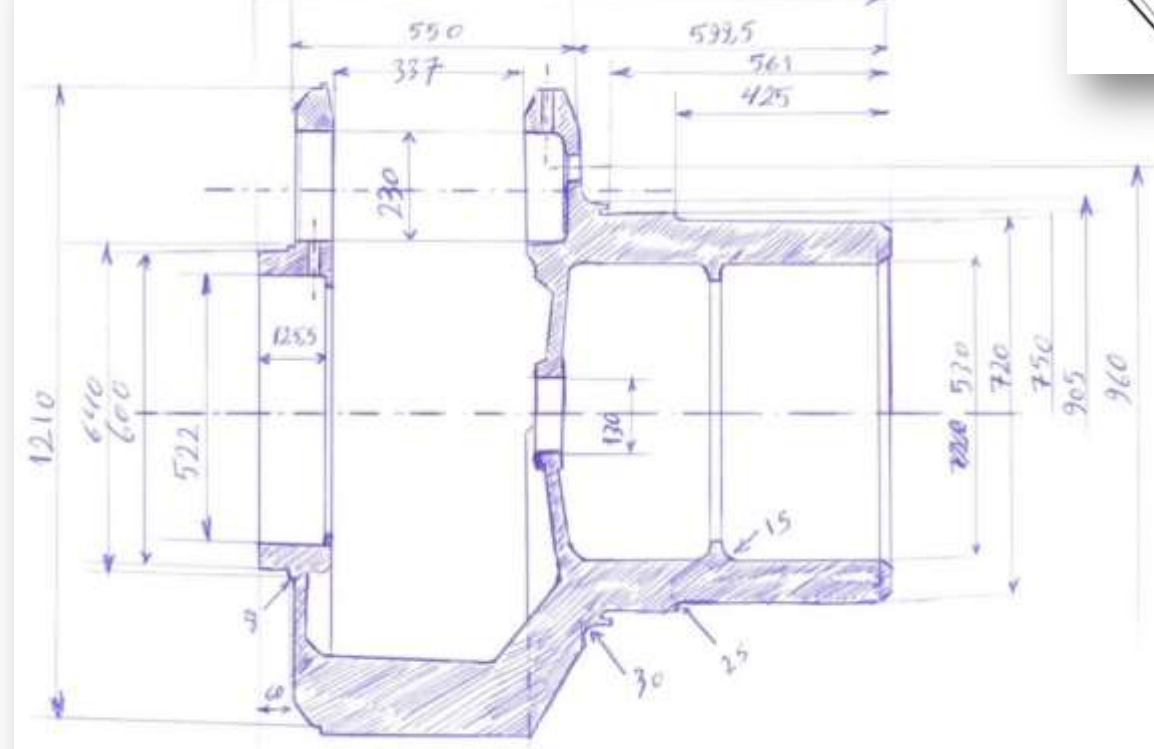
Lehrbuch Maschinenelemente

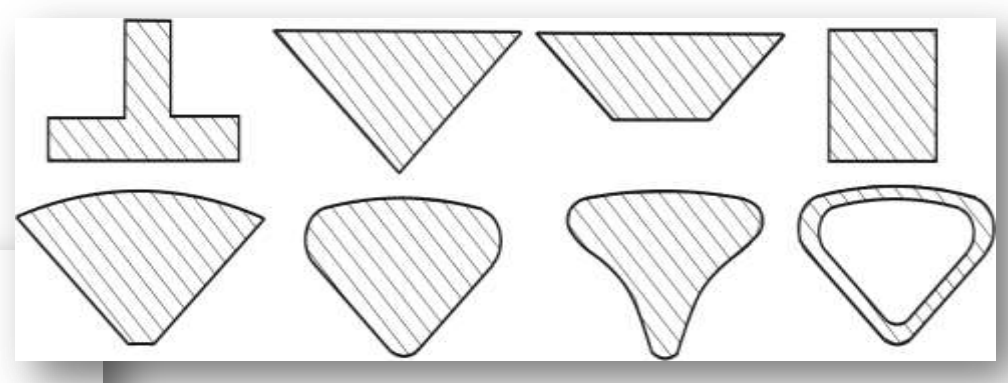


Grober Entwurf eines Planetenträgers

Hebelarm: r = 495 mm

Drehmoment-Belastung: Mt= 4100. kNm





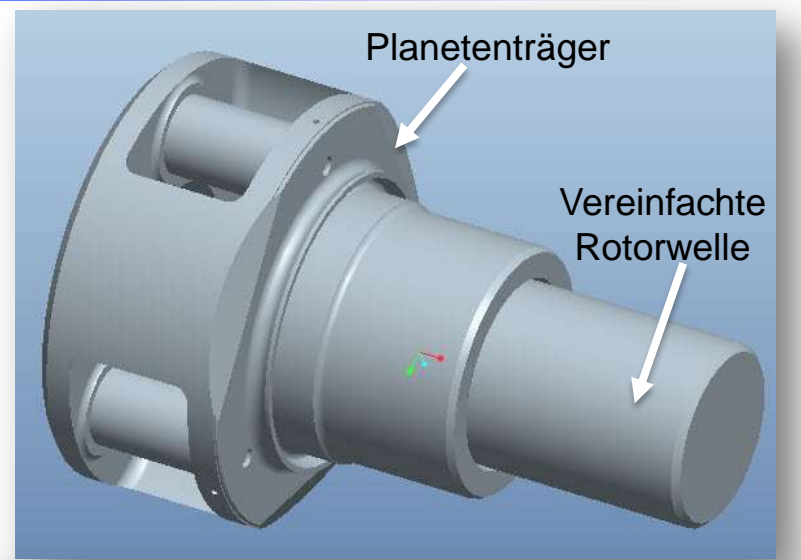
Form und Art der Streben (z.B. ovalförmige-, dreieckige Voll- und Hohlstreben)

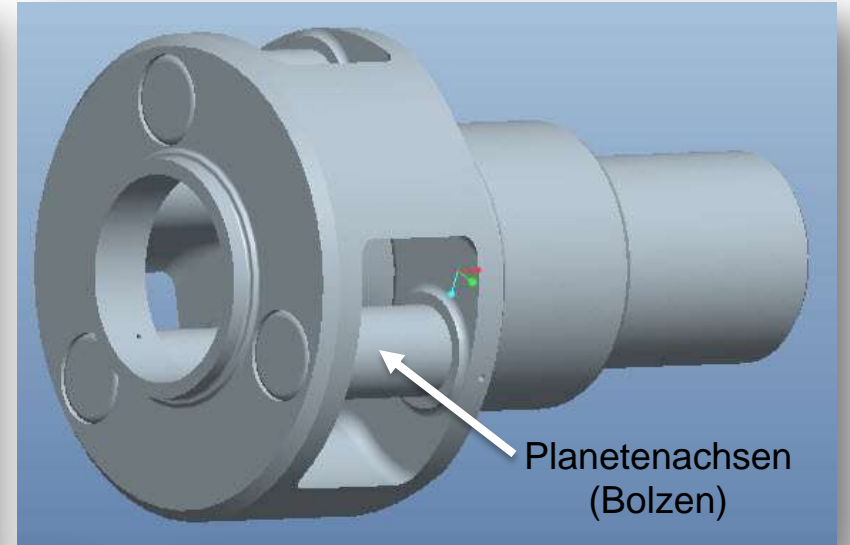
Planetenträger Werkstoff

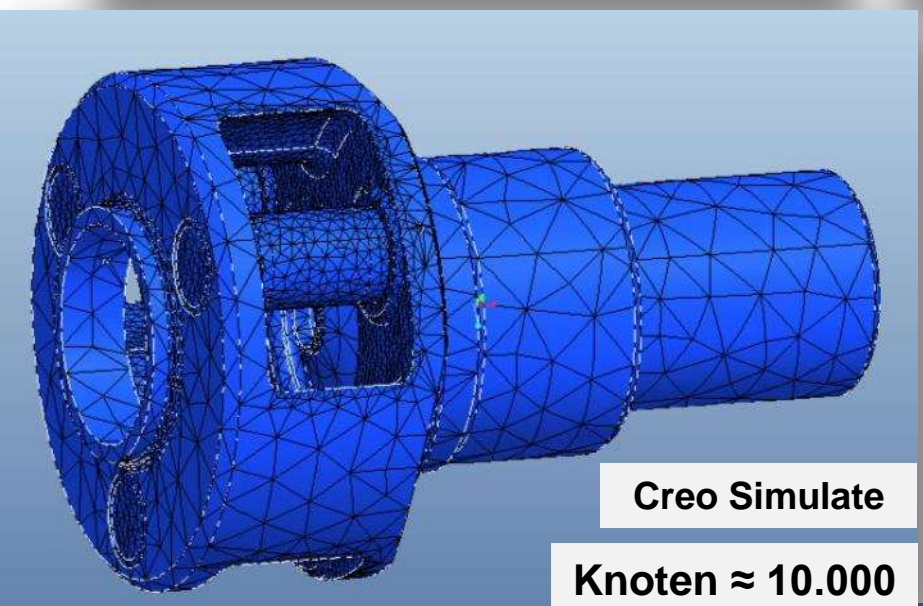
- EN-GJS-700-2 (Gusseisen mit Kugelgraphit) DIN EN 1563
- E-Modul: E = 1,76e5 [N/mm²]
- Querdehnzahl: v = 0,28
- Dichte: $\rho = 7,25e-9$ [t/mm³]
- Die Materialen der Bauteile sind isotrop und werden als homogen betrachtet und weisen keine Fehlstellen auf.
- Es wird nur das Drehmoment am Rotor eingeleitet, sonst keine weiteren Kräfte am Rotor.
- · Alle Planeten einer Planetenstufe übertragen die gleiche Last.
- Es werden nur statische Berechnungen bei Nennlast durchgeführt.

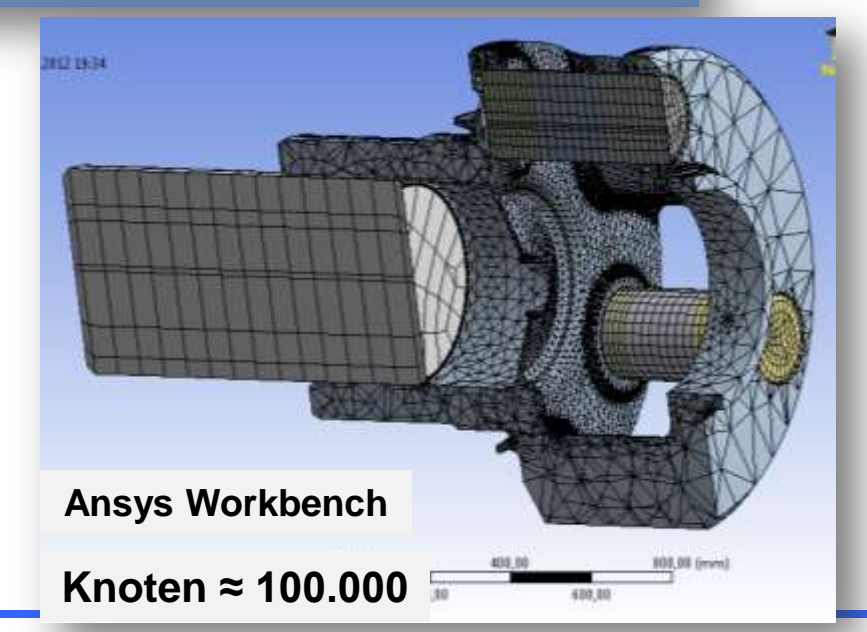


CAD/FEM-Modell – Konstruktionsvariante eines Planetenträgers



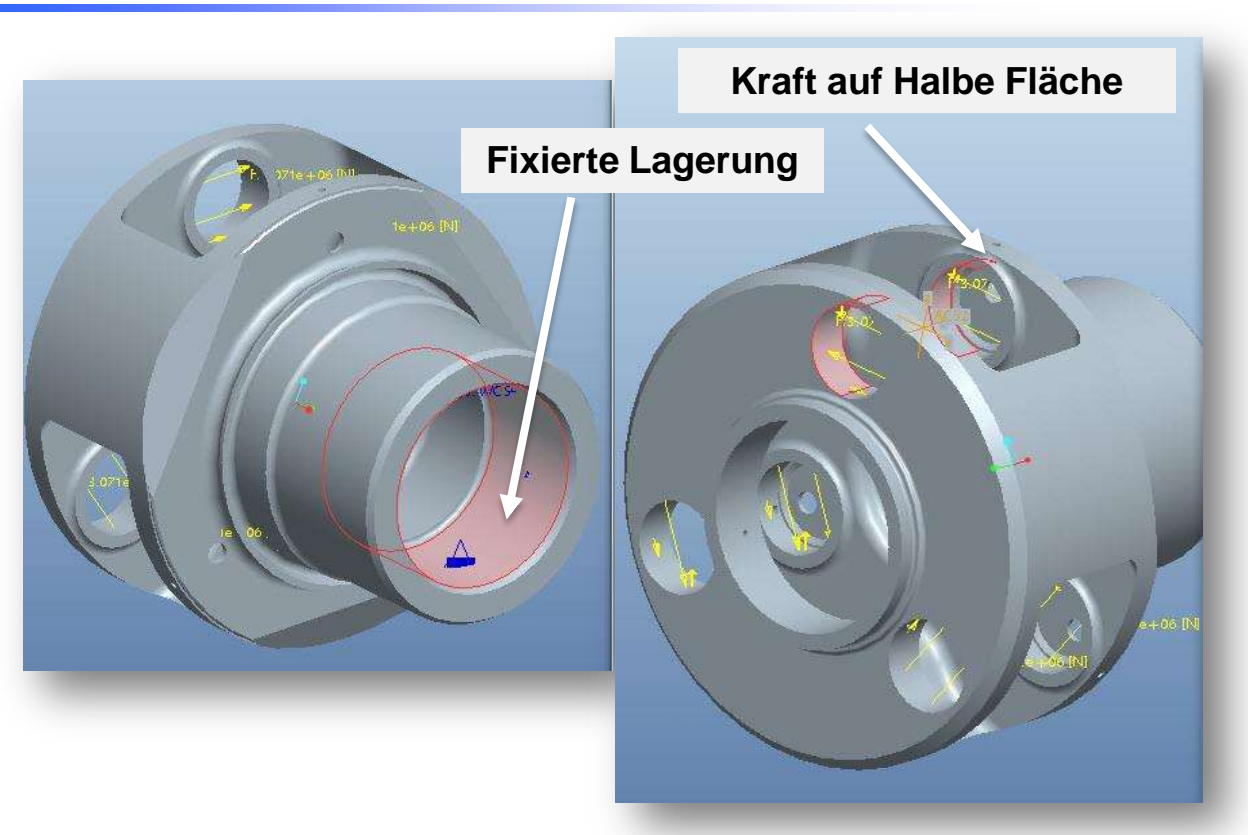








Randbedingungen – Planetenträgermodell – Variante A

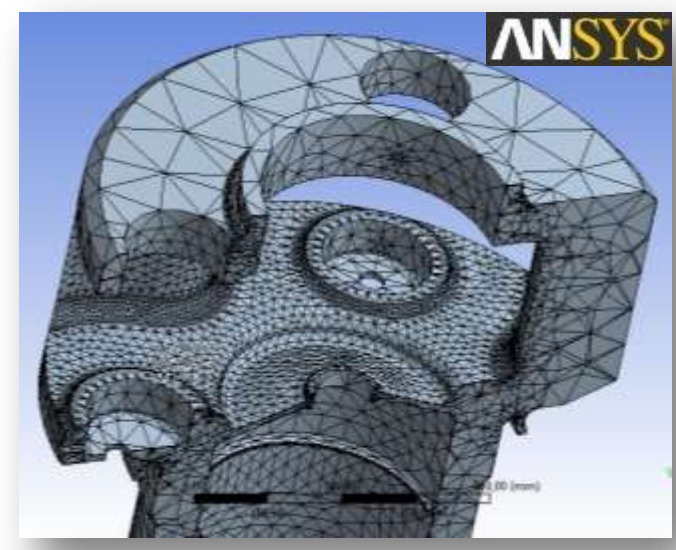


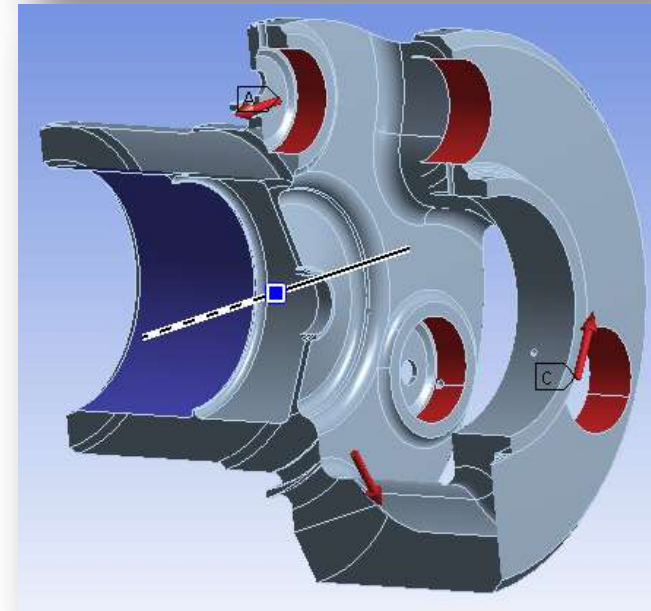
Torsionsbelastung: 4.100 kNm

→ Kraftangriff: Bolzenlast in Wangenaugen

→ Lagerung: Stegwellenbohrung (Innenseite)

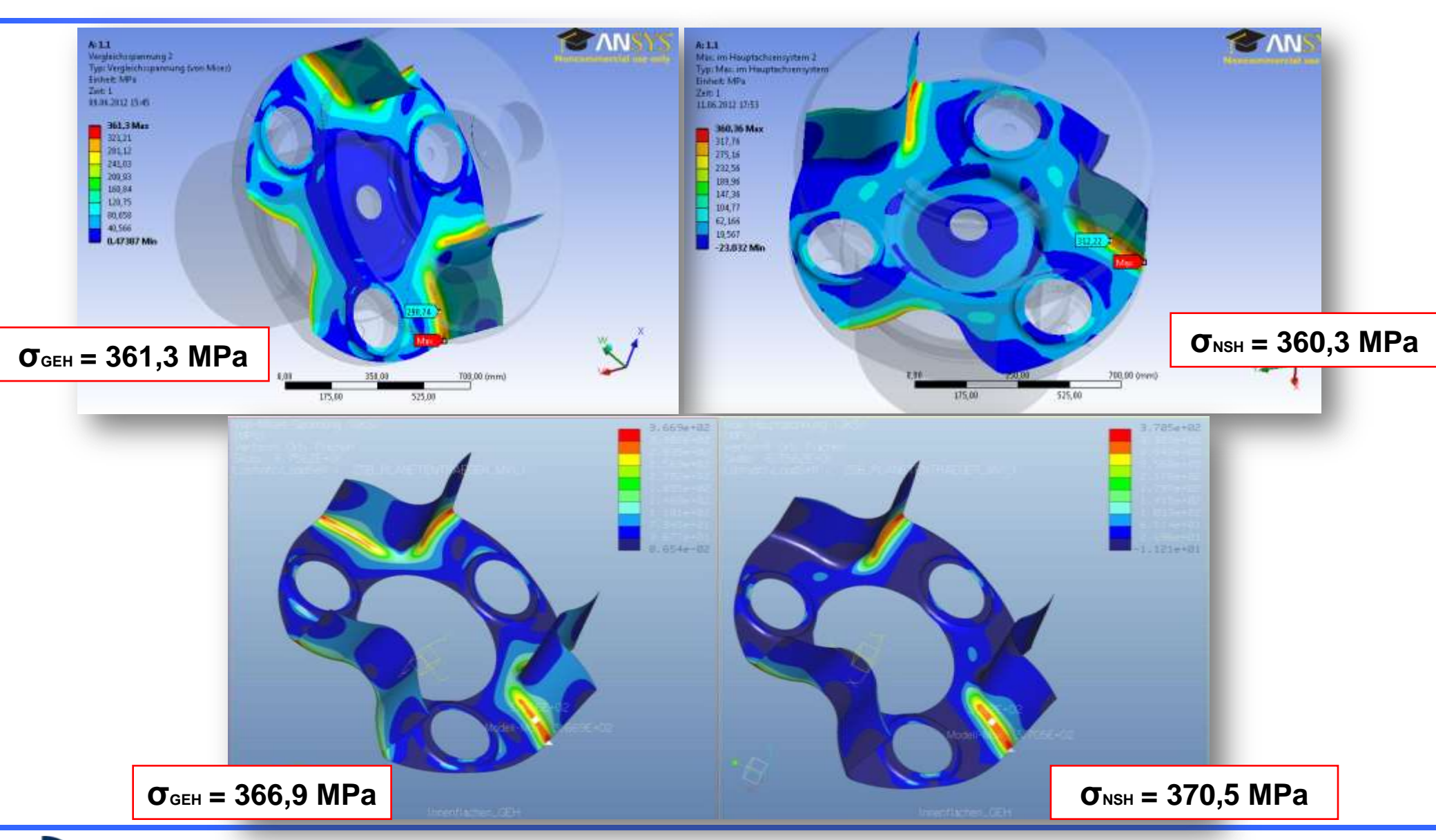
Netz: → Knoten: ≈ 100.000 (Ansys) bzw. ≈ 10.729 (Simulate)





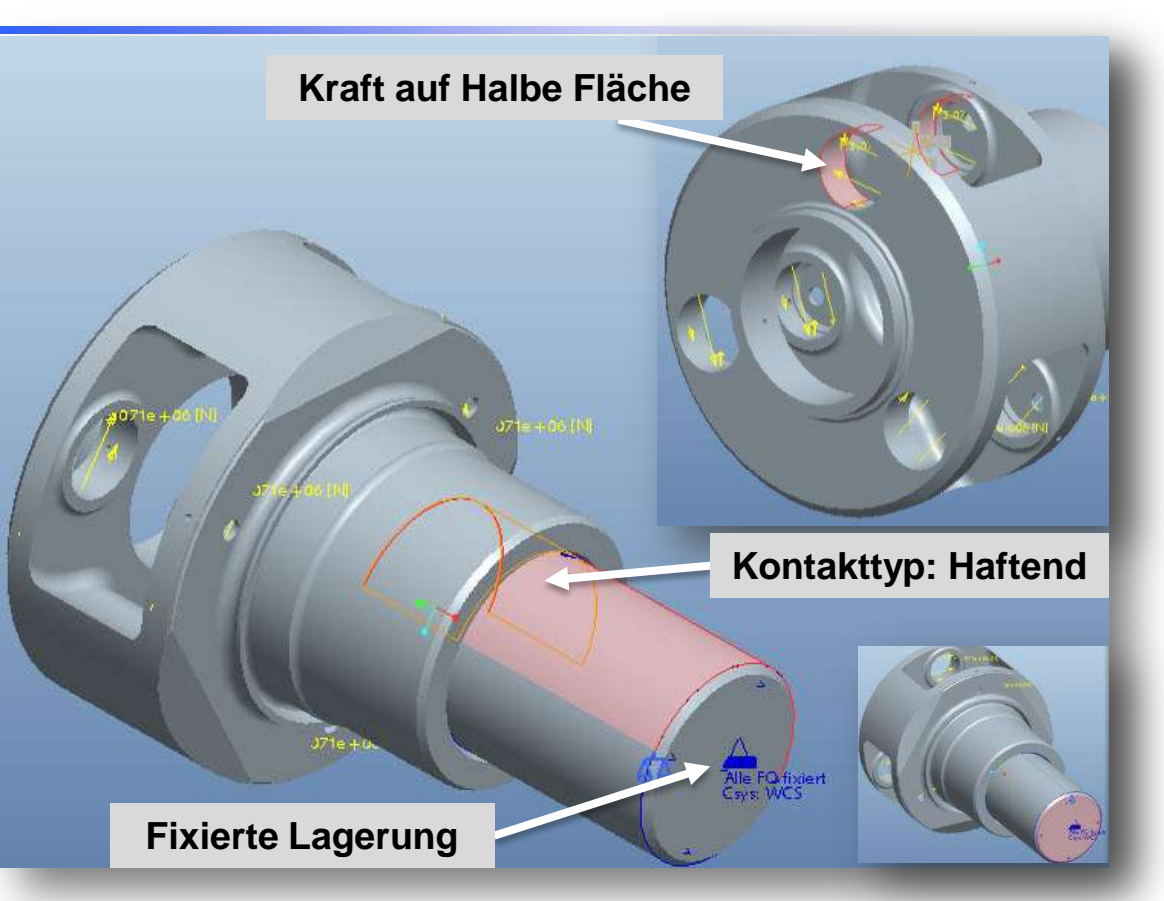


Spannungsmaxima Vergleich: Simulate & Ansys - Variante A





Randbedingungen – Planetenträgermodell – Variante B

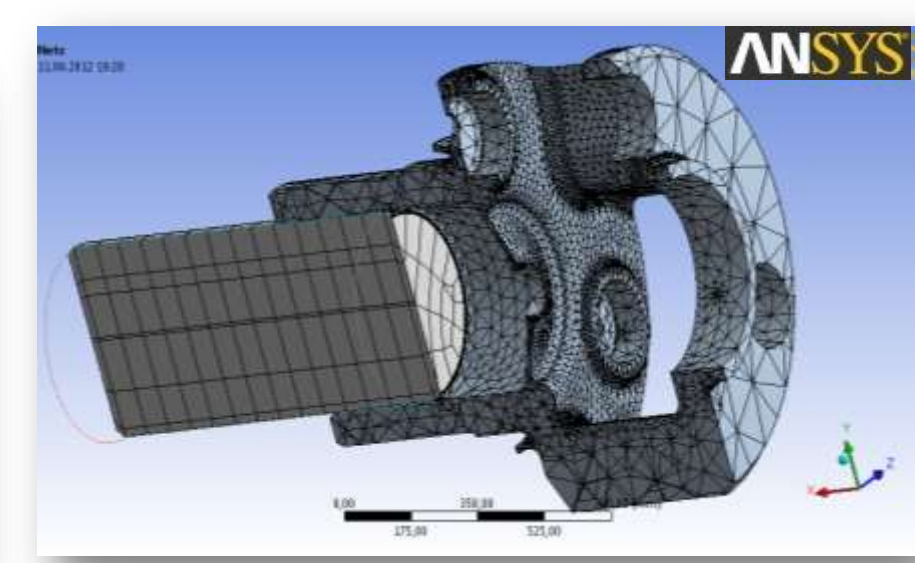


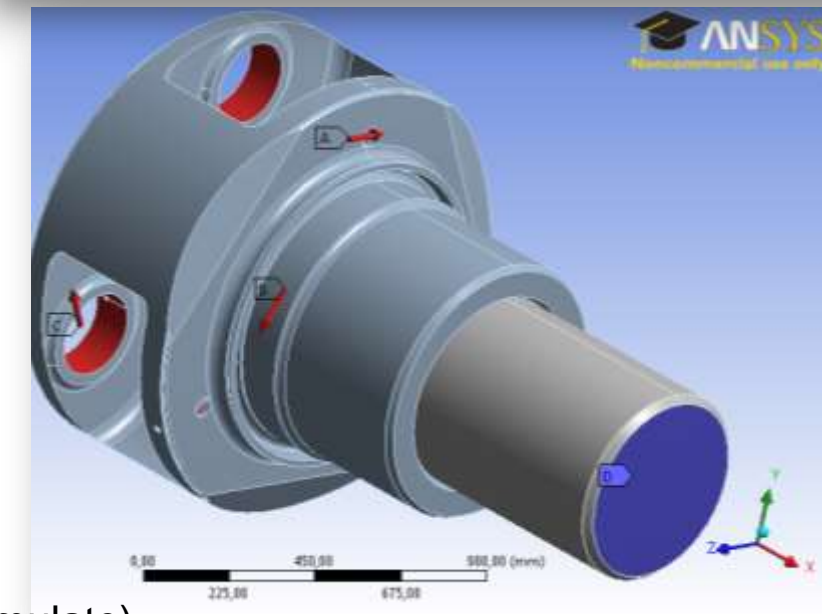
Torsionsbelastung: 4.100 kNm

→ Kraftangriff: Bolzenlast in Wangenaugen

→ Lagerung: <u>Stegwelle-Vorderseite</u>

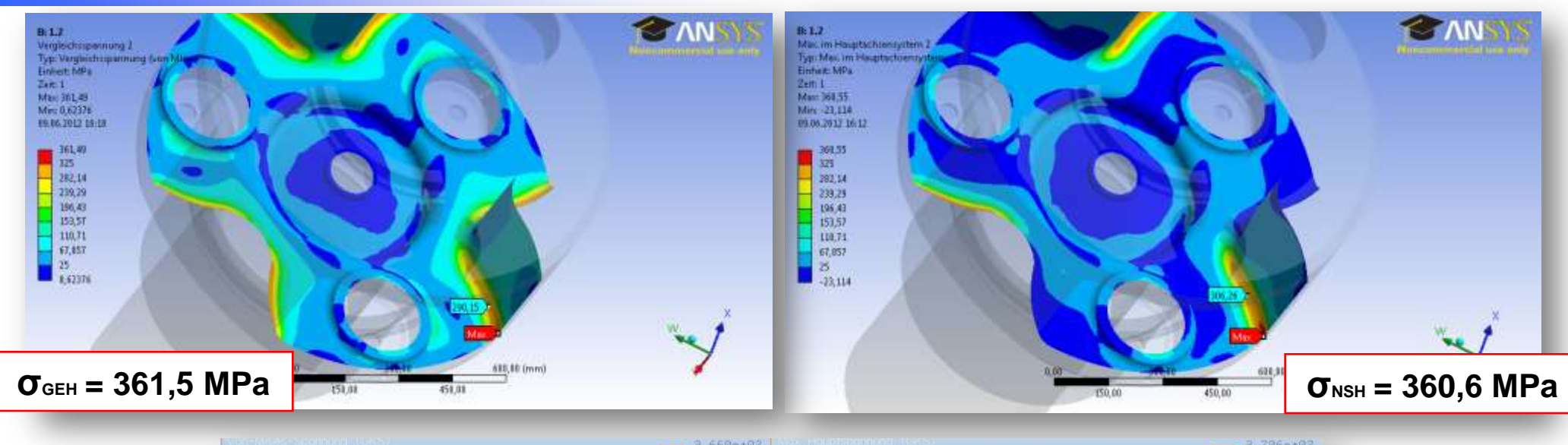
Netz: → Knoten: ≈ 100.000 (Ansys) bzw. ≈ 8.400 (Simulate)

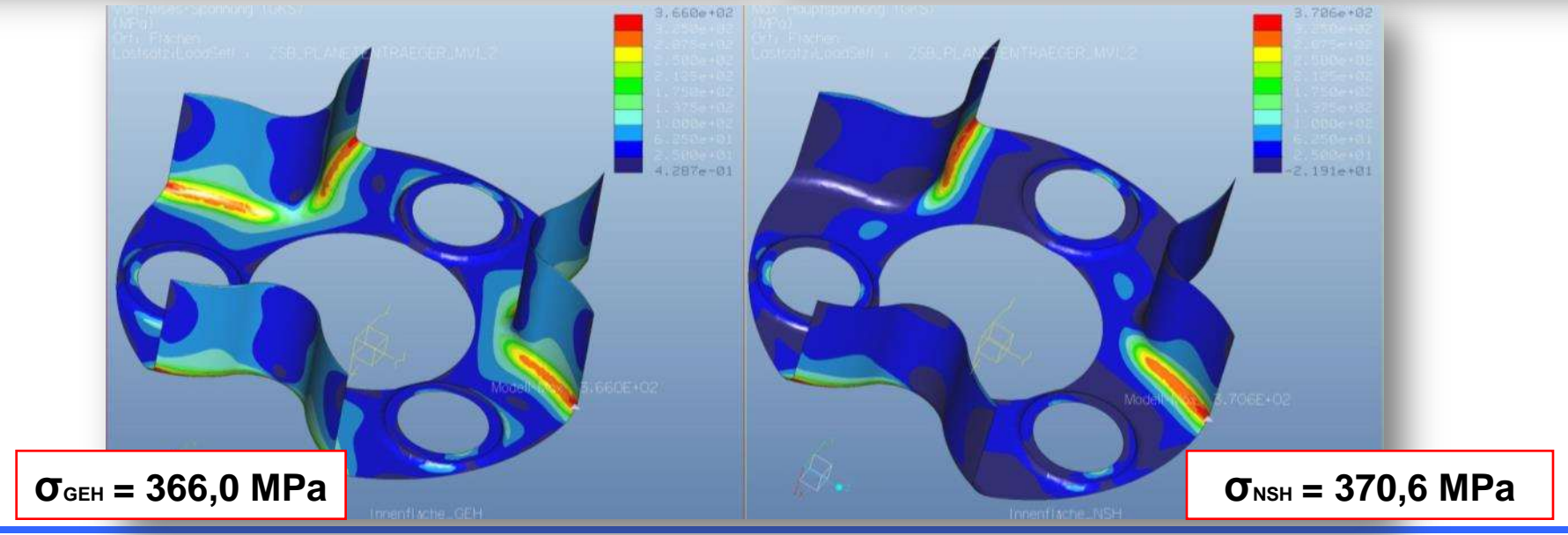






Spannungsmaxima Vergleich: Simulate & Ansys - Variante B







Näherungsweise Berechnung der statischen Sicherheiten

Gegen plastische Verformung:

$$S_{F} = \frac{R_{p0,2}}{1,1 \cdot \sigma_{v-max-FEM-GEH}}$$

Der kleinste statische Sicherheitsfaktor gegen plastische Verformung beträgt 1,2.

Gegen Gewaltbruch und Anrisse:

$$S_{B} = \frac{R_{m}}{1.3 \cdot \sigma_{v - max - FEM - NSH}}$$

Der kleinste statische Sicherheitsfaktor gegen Gewaltbruch und Anrisse ist 1,4.



Zusammenfassung und Ausblick

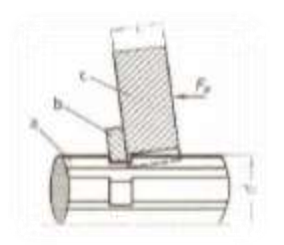
- Die Anwendung der FEM setzt Kompetenz und Erfahrung voraus, denn die FE-Programme rechnen alles, was formal richtig erscheint.
- Creo Simulate eignet sich sehr gut für die Lehre an Hochschulen.
- Vorteile sind kurze Einarbeitungsdauer und unkomplizierte Bedienung.
- Ansys Workbench und Simulate liefern sehr gut vergleichbare Ergebnisse.

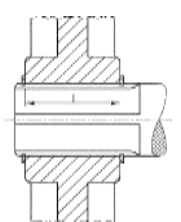
Als Ausblick können folgende Untersuchungen unterbreitet werden:

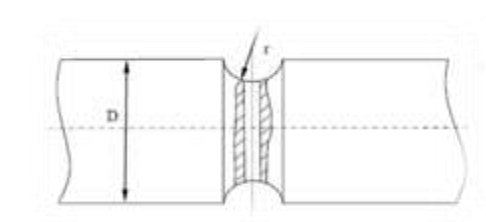
- ⇒ zur Geometrieoptimierung der Übergangskonturen zur Reduzierung der Kerbwirkung, (z.B. durch den Einsatz von Entlastungskerben).
- zum Einfluss kombinierter Torsions- und Biegebelastung auf die Formzahlen.
- ⇒ zur Mehrfachkerbwirkung an Getriebewellen, (z.B. Zusammentreffen Passfeder/freier Auslauf, FR-Nut/freier Auslauf, Keil- und Kerbzahnwellen).
- ⇒ zur Entwicklung eines geeigneten Konzepts zur Abschätzung der Stützwirkung an mehrfachgekerbten Getriebewellen mit sehr scharfen Kerben (r < 0,5 mm).

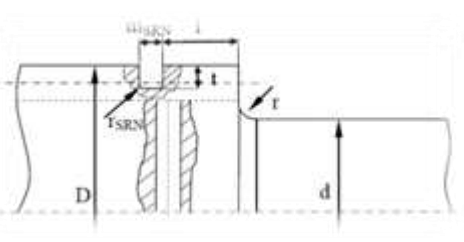












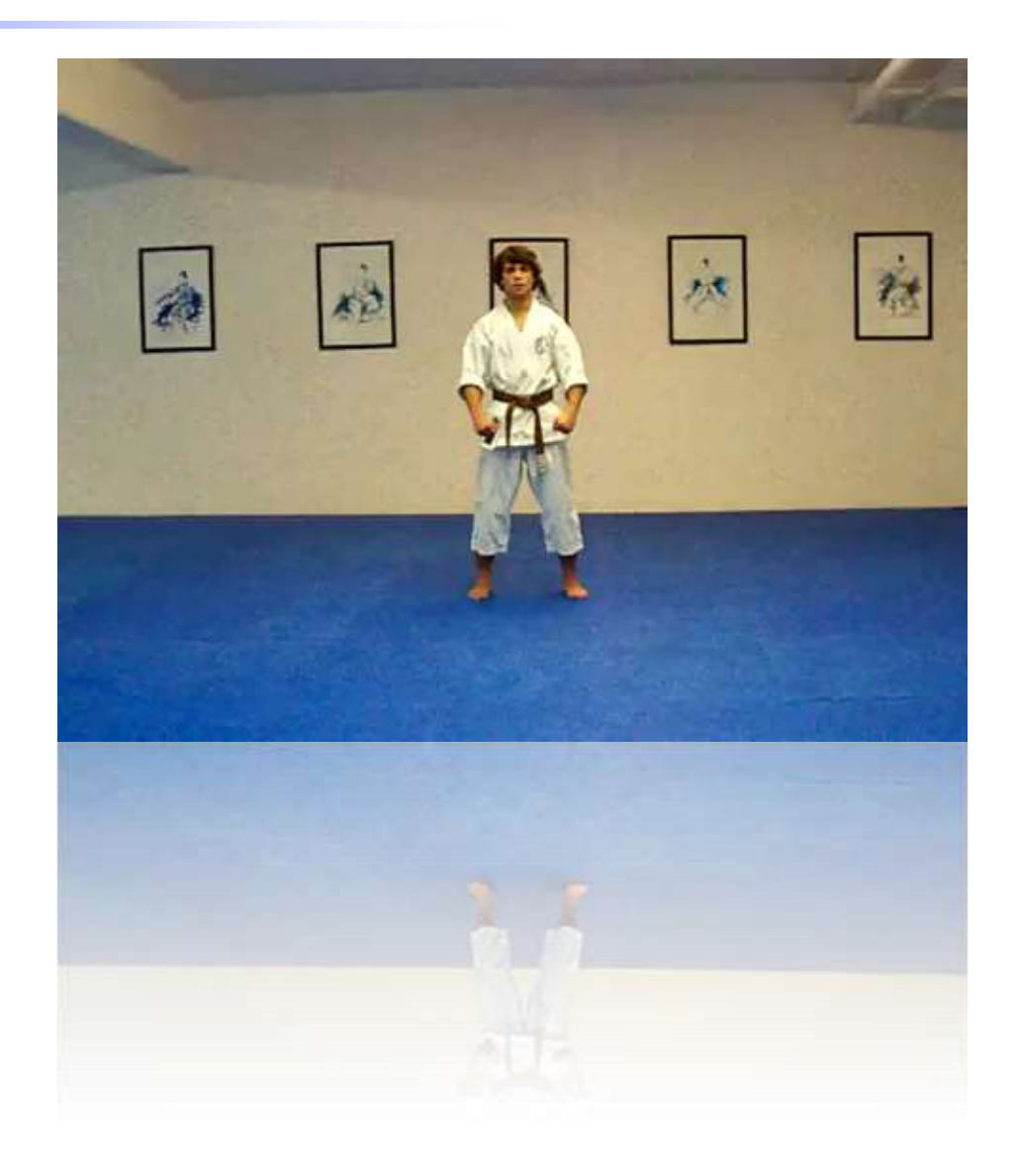


Didaktische Vermittlung in der CAD/CAE-Ausbildung - eine empirische Studie

- ➤ Die Lehre auf dem Gebiet der rechnerunterstützten Methoden in der Produktentwicklung verkörpert einen zentralen Schwerpunkt der Ingenieursausbildung. Dies bedingt eine kontinuierliche Weiterentwicklung der Inhalte und der didaktischen Unterrichtsmethoden.
- ➤ In diesem Vortrag wird die Entwicklung eines neuen didaktischen Konzepts für die Konstruktionsausbildung zur Verbesserung der **Präsentationskompetenz** und **Teamfähigkeit** der Studierenden kurz beschrieben und über erste Erfahrungen aus der Umsetzung in die Lehrveranstaltung "CAD/CAE" berichtet.
- ➤ Die Studierenden erarbeiten in nach der **Rundlitzenseilmethode** strukturierten Gruppen unter Berücksichtigung der heterogenen Umgebung numerische Lösungen zu Variantenrechnungen von Aufgaben.
- > Die Studierenden präsentieren ihre Ergebnisse in Form von 100-Sekunden-Vorträgen.
- > Bei der Entwicklung dieser Methode lässt man sich durch den Karatesport inspirieren.
- > Es wurden verschiedene Kriterien zur Bewertung der Micro-Präsentationen festgelegt und angewandt.
- > Erste Erfahrungen mit der Umsetzung dieser Methodenkombination sind erfolgsversprechend.
- ➤ Eine detaillierte statistisch-psychologische Evaluation dieses didaktischen Konzepts ist Ziel weiterführender Untersuchungen.



Didaktische Vermittlung in der CAD/CAE-Ausbildung



Analogien und Leitideen

Analogie Kampfkunst (Karate):

Kata = Bewegungsabfolge im Kampf gegen imaginären Gegner

Wir sehen:

- Entschlossenheit und Stärke
- hohe Konzentration
- klare Basis-Techniken
- angemessene Geschwindigkeit
- Behalten des roten Fadens



Leitidee Martin Luther:

"Tritt fest auf!"

selbstbewusst, entschlossen, Vortragender steht hinter seinem Vortrag

"Mach's Maul auf!"

deutliche Sprache, klare Formulierung

"Hör' bald auf!"

beanspruche Zeit der Hörer nicht übermäßig



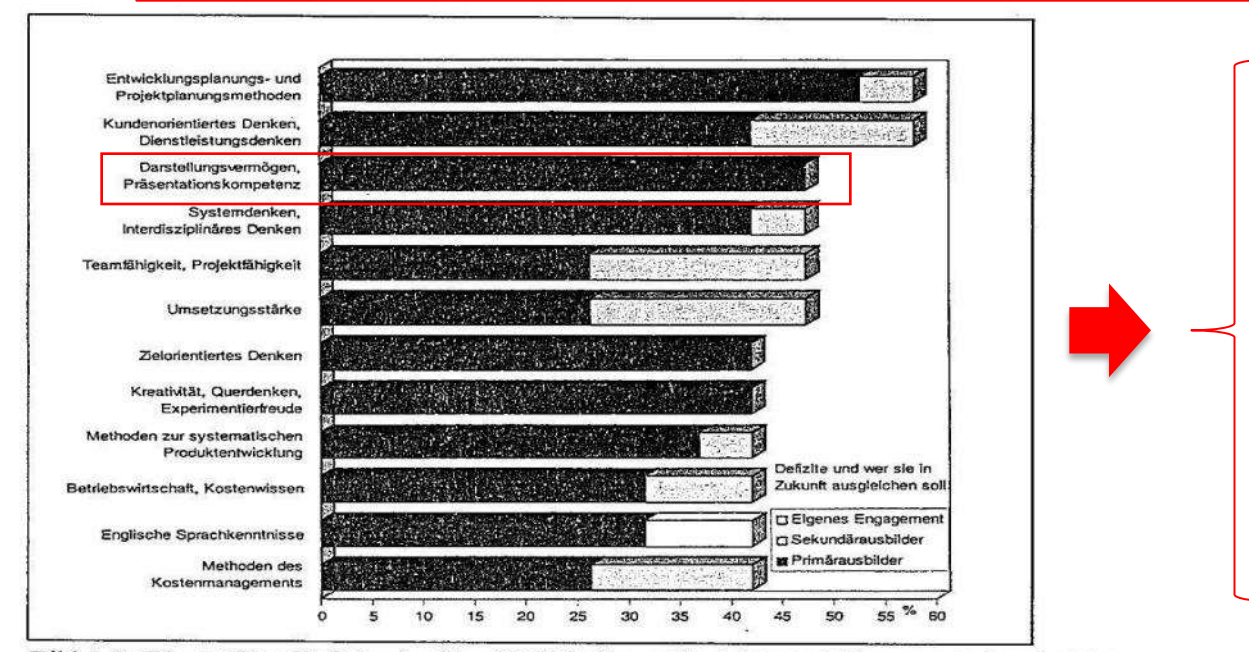
Martin Luther, 1529 Quelle: Wikipedia



100-Sekunden-Vorträge

Hauptgrund: Wandel des Ingenieurberufs Richtung Managementtätigkeiten + Simultaneous Engineering

Ist-Zustand: Defizite in der Präsentationskompetenz der Studierenden



 Präsentationskompetenz von enormem Wert

- sozialer und fachlicher
 Kompetenzgewinn bei
 Referenten und Hörerschaft
- Erfüllung der Erwartungen aus Industrie und Wissenschaft

Bild 1-2: Die größten Defizite der Berufsfähigkeit von Produktentwicklern aus Industriesicht nach Beitz und Helbig

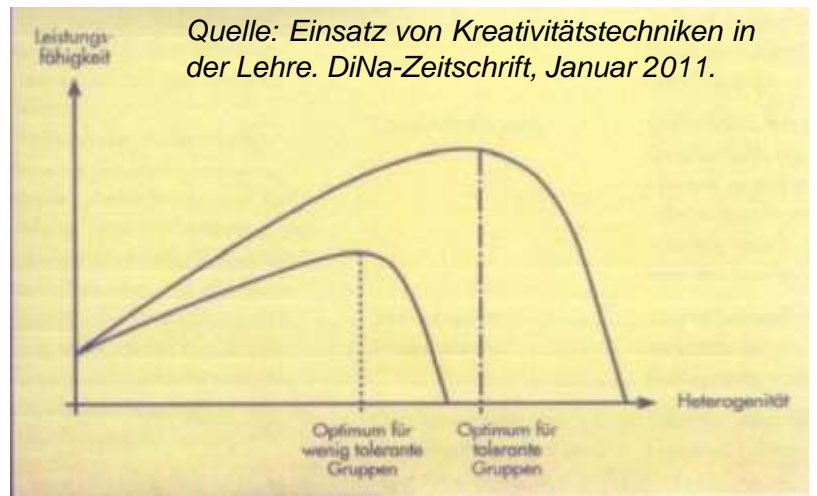
Ziel: Verbesserung der Präsentationskompetenz

Lösung: 100-Sek.-Vorträge in der CAD/CAE-Lehre



Gruppeneinteilung

Grundmaß an **Heterogenität** (unterschiedl. Charaktere, Alter, Herkunft) wünschenswert, denn:



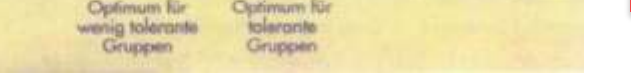
<u>Heterogenität zu gering:</u>

"Schnelle" Lösung, aber schwache Qualität

Heterogenität zu groß:

"Langsame" Lösung, zu hohe Gruppendynamik

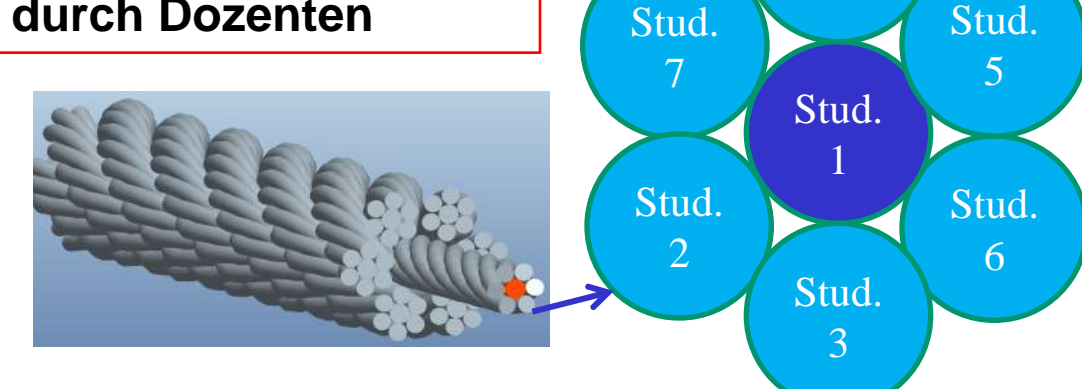
Ziel: Heterogenitäts-Optimum (Kreativität)





Rundlitzenseilmodell:

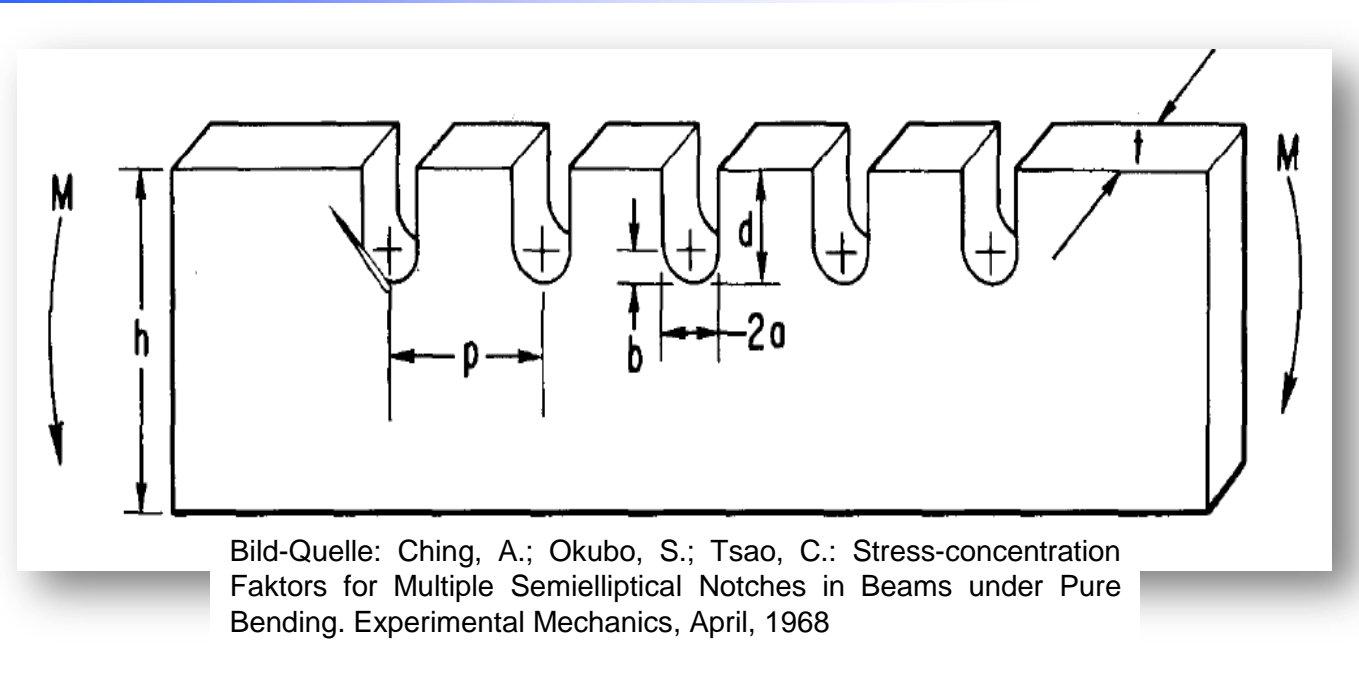
- 1 Kerngruppe (1+6 Studierende)
- 6 Außengruppen (je 1+6 Studierende)





Stud.

Beispiel einer FEM-Aufgabe: mehrfachgenuteter Balken

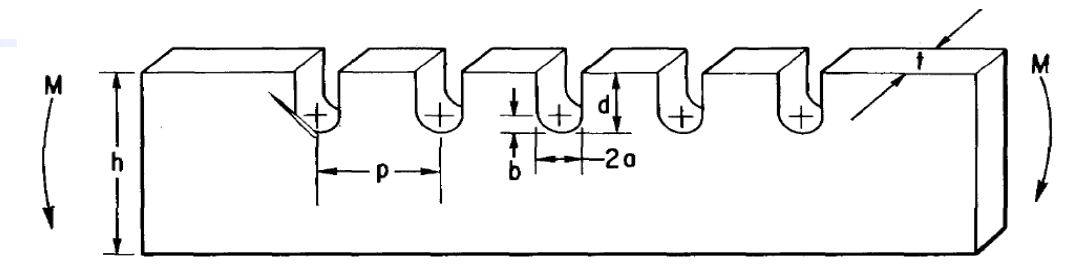


Ziel: Ermittlung der Formzahlen α (mit Creo Simulate)

- 3 Belastungsarten: Zug/Druck, Biegung und Torsion
- <u>Variationsparameter:</u> Nut- und Balkentiefe, Nutbreite, Nutabstand, kleine Ellipsen-Halbachsen
- jede Gruppe modelliert CAD-Geometrie und
- simuliert Randwertproblem mit verschiedenen Parameterkombinationen



Beispiel einer FEM-Aufgabe: mehrfachgenuteter Balken



	d/h															
2a/h = 0.15	0.1			0.2		0.3		0.4		0.5						
		p/h														
	0.3	0.6	0.9	0.3	0.6	0.9	0.3	0.6	0.9	0.3	0.6	0.9	0.3	0.6	0.9	
a/b	Ermittelte Formzahlen α nach der NSH mit Creo Simulate															
1.0																
1.4																
1.8																
2.2																
2.6																
3.0				_			_	_			_	_				
3.4																



Bewertungsvorschlag

<u>jede nichtvortragende Gruppe und der Betreuer/Dozent fällen ein Urteil:</u>

- Geheime (für übrige Gruppen nicht sichtbare) Bewertung
- Bewertung erst im Anschluss an alle Vorträge
- Bewertung auf einer Skala von 1 bis 10 Punkten

Vorteile und Möglichkeiten dieser Bewertungsart:

- Studierende bewerten "ihresgleichen"
- Verminderung der Hemmungen kritisch zu bewerten
- Betreuer/Dozent beeinflussen nach gewünschtem Gewicht
- Diskussionen im Anschluss erleichtern Meinungsbildung



Stärkung des Zusammengehörigkeitsgefühls



Bewertung, die Spaß macht





Evaluation und Analyse

Statistische Auswertung:

Geplant sind

- empirische Untersuchungen: Test- und Fragebogenkonstruktionen
- Auswertung mit Methoden der mathematischen Statistik





Informationen über Potenziale, Schwierigkeiten, Analyse des Lerneffektes

Empirische Forschung in der didaktischen Konstruktionsausbildung

Vortragsvideografierung und Vortragsanalyse:

Geplant sind ferner

- Videografierung von Vorträgen
- Bewertung anhand psychologischer Kriterien.





Reflexion und Feedback der eigenen Stärken und Schwächen

Beratung der Studierenden und Verbesserung der Vorträge



Vielen Dank für Ihre Aufmerksamkeit



